

**INSTITUT TEKNOLOGI NASIONAL MALANG
FAKULTAS TEKNOLOGI INDUSTRI
JURUSAN TEKNIK ELEKTRO S-1
KONSENTRASI TEKNIK ELEKTRONIKA**



SKRIPSI

**PERANCANGAN DAN PEMBUATAN SISTEM
OTOMATISASI PENENTUAN GOLONGAN KENDARAAN
PADA PINTU MASUK JALAN TOL**

Disusun Oleh :

Nama : Rizal Prakoso

N I M : 02.17.005

**MARET
2007**



LEMBAR PERSETUJUAN



**PERANCANGAN DAN PEMBUATAN SISTEM
OTOMATISASI PENENTUAN GOLONGAN KENDARAAN
PADA PINTU MASUK JALAN TOL**

SKRIPSI

*Disusun dan Diajukan Sebagai Salah Satu Syarat Untuk Memperoleh
Gelara Sarjana Teknik Elektronika Strata Satu (S-1)*

Disusun Oleh :

RIZAL PRAKOSO

NIM : 0217005

Diperiksa dan Disetujui

Dosen Pembimbing

Joseph Dedy Irawan, ST, MT.

NIP. 132 315178

Mengetahui

Ketua Jurusan Teknik Elektro S-1

Dr. F. Yudi Limpraptono, MT)

NIP.P 1039500274

**JURUSAN TEKNIK ELEKTRO S-1
KONSENTRASI T. ELEKTRONIKA
FAKULTAS TEKNOLOGI INDUSTRI
INSTITUT TEKNOLOGI NASIONAL MALANG
2007**



**BERITA ACARA UJIAN SKRIPSI
FAKULTAS TEKNOLOGI INDUSTRI**

Nama Mahasiswa : Rizal Prakoso
NIM : 02.17.005
Jurusan : Teknik Elektro S-1
Konsentrasi : Teknik Elektronika
Judul Skripsi : Perancangan dan Pembuatan Sistem Otomatisasi
Penentuan Golongan Kendaraan Pada Pintu Masuk
Jalan Tol

Dipertahankan dihadapan team penguji Skripsi jenjang Sarjana (S-1) pada :

Hari : Jum'at
Tanggal : 16 Maret 2007
Dengan Nilai : A (84,6) *84*



Ketua

Ir. Mochtar Asroni, MSME
NIP. Y. 1018100036

PANITIA UJIAN SKRIPSI

Sekretaris

Ir. F. Yudi Limpraptono, MT.
NIP. Y. 1039500274

ANGGOTA PENGUJI

Penguji I

Ir. Widodo Pudji Mulyanto, MT.
NIP. Y. 1028700171

Penguji II

DR. Cahyo Chrysdian, Msc.
NIP. 1030400412

**PERANCANGAN DAN PEMBUATAN SISTEM OTOMATISASI
PENENTUAN GOLONGAN KENDARAAN PADA PINTU MASUK
JALAN TOL**

Rizal Prakoso

Konsentrasi Teknik Elektronika, Jurusan Teknik Elektro S1, Fakultas Teknologi
Industri, Institut Teknologi Nasional Malang

Abstrak:

Perkembangan pembangunan dalam bidang transportasi saat ini mengalami kemajuan yang sangat pesat khususnya pada jalan tol. Jalan ini banyak sekali dilewati oleh pengendara yang tidak ingin terjebak oleh kemacetan dan ingin cepat sampai pada tujuan. Tarif untuk melewati jalan tol pun relatif murah sehingga pengendara cenderung memilih jalan tol sebagai jalan alternatif. Seperti yang kita ketahui untuk memasuki jalan tol, biasanya pengendara diberikan kartu golongan kendaraan oleh operator dipintu masuk jalan tol. Dan perlu diketahui pada kartu golongan kendaraan ini ada tiga jenis yaitu golongan I untuk jenis mobil sedan, jip, truk3/4, dan jenis kendaraan pribadi lainnya, golongan II untuk jenis bus kecil dan truk kecil dan untuk golongan III yaitu jenis bus besar, truk besar dan truk gandeng. Kesemua kartu golongan tersebut harus diberikan oleh operator kepada pengendara sesuai dengan jenis kendaraanya. Dari permasalahan tersebut maka dibuat sebuah alat yang dapat mempermudah kerja operator, yaitu dengan membuat sistem penentuan golongan kendaraan secara otomatis.

Dengan memanfaatkan mikrokontroler AT89S51 sebagai pengontrol utama, infra merah sebagai sensor, buzzer sebagai media pendeteksian kartu yang akan segera habis, opto coupler sebagai pendeteksi apakah kartu yang keluar sudah diambil oleh pengendara atau belum, motor DC sebagai penggerak portal dan dot matrik sebagai penampil pesan kepada pengendara, ini diharapkan mampu untuk lebih mempermudah kerja dari operator.

Kata Kunci: *Infra Merah, Mikrokontroler, buzzer, Opto Coupler, motor DC, Dot Matrik*

KATA PENGANTAR

Atas Berkat Rahmat Allah Yang Maha Kuasa, sehingga penulis dapat menyelesaikan laporan Skripsi dengan judul :

“PERANCANGAN DAN PEMBUATAN SISTEM OTOMATISASI PENENTUAN GOLONGAN KENDARAAN PADA PINTU MASUK JALAN TOL”

Pembuatan Skripsi ini disusun guna memenuhi syarat akhir kelulusan pendidikan jenjang Strata-1 di Institut Teknologi Nasional Malang. Laporan Skripsi ini merupakan tanggung jawab tertulis atas ilmu pengetahuan yang didapat selama penyusun mengikuti kuliah.

Atas terselesaikannya Skripsi ini, penulis mengucapkan terima kasih kepada :

- Bapak Dr. Ir. Abraham Lomi, MSEE selaku Rektor Institut Teknologi Nasional Malang.
- Bapak Ir. Mochtar Asroni, MSME selaku Dekan Fakultas Teknologi Industri Institut Teknologi Nasional Malang
- Bapak Ir.F.Yudi Limpraptono, MT selaku Ketua Jurusan Teknik Elektro S1 / Elektronika.
- Bapak Joseph Dedy Irawan, ST, MT selaku Dosen Pembimbing yang telah memberikan bimbingan, pengarahan, serta ilmu-ilmu yang sangat berharga sehingga Skripsi ini dapat terselesaikan.

- Bapak Ir. Yusuf Ismail Nahkoda, MT. selaku Sekretaris Jurusan Teknik Elektro S1 / Elektronika.
- Bapak dan Ibu yang telah memberikan semangat dan doa.

Penulis menyadari bahwa laporan ini masih banyak yang perlu disempurnakan. Oleh sebab itu kritik dan saran yang membangun sangat diharapkan.

Akhir kata, penulis mohon maaf kepada semua pihak bilamana selama penyusunan Skripsi ini penyusun membuat kesalahan secara tidak sengaja dan semoga Skripsi ini dapat bermanfaat bagi kita semua.

Malang, 2007

Penulis

DAFTAR ISI

	Halaman
HALAMAN JUDUL	i
LEMBAR PENGESAHAN	ii
BERITA ACARA UJIAN SKRIPSI	iii
ABSTRAK	iv
KATA PENGANTAR	v
DAFTAR ISI	vii
DAFTAR GAMBAR	xi
DAFTAR TABEL	xiv
 BAB I. PENDAHULUAN	
1.1 Latar Belakang	1
1.2 Rumusan Masalah	2
1.3 Tujuan	2
1.4 Batasan Masalah	3
1.5 Metodologi	3
1.6 Sistematika	4
 BAB II. LANDASAN TEORI	
2.1 Mikrokontroler AT89S51	6
2.1.1 Struktur Memori AT89S51	10
2.1.2 RAM Internal AT89S51	11

2.1.3 Register Fungsi Khusus (Special Function Register)	13
2.1.4 Timer dan Counter dalam MCS51	16
2.1.5 Komunikasi Data Serial	18
2.2 Komponen Pendukung Tampilan Dot Matrik	19
2.2.1 Dot Matrik	19
2.2.2 Dekoder Matrik LED	21
2.2.3 Register Geser 8 Bit Serial In Parallel Out (SIPO)	21
2.3 Sensor Infra Merah	25
2.3.1 (Light Emitting Dioda) Infra Merah	27
2.3.2 Photodiode.....	28
2.4 Transistor	29
2.4.1 Daerah Kerja Transistor	29
2.5 Motor DC	32
2.5.1 Cara Kerja Motor DC.....	33
2.5.2 Pengendali Arah Putaran Motor DC	35
2.6 H-Bridge	36
2.7 IC LM567.....	37
2.8 Optocoupler.....	39
2.9 Buzzer.....	42

BAB III. METODOLOGI PERANCANGAN

3.1 Perencanaan Blok Diagram Alat	43
3.1.1 Blok Diagram Alat Pada Mikrokontroler I	43
3.1.2 Blok Diagram Alat Pada Mikrokontroler II.....	45

3.2 Perencanaan Penempatan Sensor Panjang Pada Jalan Tol	46
3.3 Perencanaan Box Kartu.....	48
3.4 Mikrokontroler	49
3.5 Rangkaian Sensor	52
3.5.1 Rangkaian Sensor Infra Merah.....	52
3.5.2 Rangkaian Optocoupler.....	53
3.6 Rangkaian Driver Motor DC.....	55
3.6.1 Rangkaian Driver Motor DC Pada Portal Masuk Dan Keluar	55
3.6.2 Rangkaiah Driver Motor DC Pada Box Kartu	57
3.7 Rangkaian Lampu Portal.....	59
3.8 Rangkaian Buzzer	60
3.9 Dot Matrik.....	61
3.10 Perancangan Perangkat Lunak	63
3.10.1 Flow Chart.....	63

BAB IV. PENGUJIAN ALAT

4.1 Pengujian Sistem	67
4.2 Pengujian Rangkaian Driver Motor DC Pada Portal	69
4.3 Pengujian Rangkaian Driver Motor DC Pada Box Kartu	71
4.4 Pengujian rangkaian Lampu Indikator Portal.....	73
4.5 Pengujian Rangkaian Infra Merah.....	74
4.6 Pengujian Rangkaian Driver Optocoupler	77
4.7 Pengujian Rangkaian Driver Buzzer	78
4.8 Pengujian Dot Matrik	80

4.9 Pengujian Perangkat Lunak.....	82
4.9.1 Pengujian Program Assembly	82
4.10 Foto Alat.....	83

BAB V. PENUTUP

5.1 Kesimpulan	84
5.2 Saran	85

DAFTAR GAMBAR

Gambar 2.1 Susunan Pin dari AT89S51	7
Gambar 2.2 Alamat RAM Internal dan Flash PEROM	11
Gambar 2.3 Peta Memori dan Special Function Register	13
Gambar 2.4 Konsep dasar Timer/Counter Sebagai Sarana Input	17
Gambar 2.5 Display Dot Matrik.....	20
Gambar 2.6 Diagram Detail Register Geser 8 Bit SN74HC164	22
Gambar 2.7 Konfigurasi Kaki-kaki SN74HC164	23
Gambar 2.8 Spektrum Cahaya dan Respon Mata Manusia.....	25
Gambar 2.9 Dioda Infra Merah.....	27
Gambar 2.10 Photodioda.....	28
Gambar 2.11 Simbol Transistor NPN dan PNP	29
Gambar 2.12 Rangkaian Bias Basis	30
Gambar 2.13 Karakteristik Transistor	31
Gambar 2.14 Garis-garis Medan Magnet Disekitar Arus Listrik Pada Kawat Lurus	32
Gambar 2.15 Kaidah Tangan Kanan	33
Gambar 2.16 Cara Kerja Motor DC	33
Gambar 2.17 Sebuah Motor DC.....	35
Gambar 2.18 Pengendali Arah Putaran Motor DC.....	35
Gambar 2.19 Rangkaian H-Bridge.....	36
Gambar 2.20 Konfigurasi Kaki-kaki LM567.....	37
Gambar 2.21 Rangkaian Infra Merah.....	38

Gambar 2.22 Optocoupler	40
Gambar 2.23 Optocoupler	41
Gambar 3.1 Diagram Alat Pada Mikrokontroler I	43
Gambar 3.2 Diagram Alat Pada Mikrokontroler II	45
Gambar 3.3 Kondisi Pintu Masuk Jalan Tol Ketika Tidak Dilalui Kendaraan	46
Gambar 3.4 Kondisi Pintu Masuk Jalan Tol Ketika Dilalui Mobil Pribadi	46
Gambar 3.5 Kondisi Pintu Masuk Jalan Tol Ketika Dilalui Bus	47
Gambar 3.6 Kondisi Pintu Masuk Jalan Tol Ketika Dilalui Truk	47
Gambar 3.7 Kondisi Pintu Masuk Jalan Tol Ketika Dilalui Truk Gandeng	47
Gambar 3.8 Kondisi Box Kartu Ketika Belum Terisi Kartu	48
Gambar 3.9 Kondisi Box Ketika Telah Terisi Kartu	49
Gambar 3.10 Rangkaian Mikrokontroler AT89S51 I	50
Gambar 3.11 Rangkaian Mikrokontroler AT889S51 II	51
Gambar 3.12 Rangkaian Sensor Infra Merah	52
Gambar 3.13 Rangkaian Optocoupler	53
Gambar 3.14 Rangkaian Driver Motor DC Pada Portal Masuk Dan Keluar	55
Gambar 3.15 Rangkaian Driver Motor Pada Box Kartu	57
Gambar 3.16 Rangkaian lampu Portal	59
Gambar 3.17 Rangkaian Buzzer	60
Gambar 3.18 Rangkaian Driver Dot Matrik	62
Gambar 4.1. Pengukuran Tegangan Pada Motor Portal Masuk	69
Gambar 4.2a. Tegangan Output Mikrokontroler (Low)	70
Gambar 4.2b Tegangan Output Mikrokontroler (high)	70
Gambar 4.3. Rangkaian Pengukuran Tagangan Pada Box Kartu	71

Gambar 4.4a Tegangan Output Mikrokontroler (low).....	72
Gambar 4.4b Tegangan Output Mikrokontroler (high).....	72
Gambar 4.5. Rangkaian Pengukuran Tegangan Dan Arus Pada lampu Indikator Portal	73
Gambar 4.6. Tampilan Tegangan Output Pada rangkaian Lampu Portal	74
Gambar 4.7. Rangkaian Pengukuran Tegangan Pada Sensor Infra Merah	75
Gambar 4.8 Tampilan Tegangan Output pada Rangkaian Infra Merah Pada Saat Tidak Terhalangi	76
Gambar 4.9 Bentuk Gelombang Dari Rangkaian Driver Infra Merah.....	76
Gambar 4.10 Rangkaian Pengukuran Tegangan Pada Optocoupler	77
Gambar 4.11 Tampilan Tegangan Output Pada Saat Optocoupler Tidak Terhalang	78
Gambar 4.12 Rangkaian Pengukuran Tegangan pada Driver Buzzer.....	79
Gambar 4.13 Tampilan Tegangan Output Pada Saat Buzzer Berbunyi.....	80
Gambar 4.14 Rangkaian Pengujian Dot Matrik.....	81

DAFTAR TABEL

Tabel 2.1 Tabel Keluarga MCS51	7
Tabel 2.2 Fungsi – Fungsi Khusus Port 3	8
Tabel 2.3 Tabel Kebenaran IC SN74HC164.....	24
Tabel 2.4 Spektrum gelombang Elektromagnetik.....	26
Tabel 2.5 Cara Kerja Rangkaian H-Bridge	36
Tabel 4.1 Hasil Percobaan Sensor Penggolongan Kendaraan dan Motor Box Kartu	68
Tabel 4.2. Pengujian Rangkaian Driver Motor DC Pada Portal	70
Tabel 4.3. Hasil Pengujian Arus Pada Transistor.....	71
Tabel 4.4. Hasil Pengujian Rangkaian Driver Motor Pada Box Kartu	72
Tabel 4.5. Hasil Pengujian Arus.....	72
Tabel 4.6 Hasil Perbandingan Antara Pengukuran dan Perhitungan Rangkaian LED	74
Tabel 4.7 Hasil Pengujian Rangkaian Driver Infra Merah.....	75
Tabel 4.8 Hasil Pengujian Frekuensi	76
Tabel 4.9 Hasil Pengujian Rangkaian Driver Optocoupler.....	78
Tabel 4.10 Hasil Pengujian Rangkaian Driver Buzzer.....	79
Tabel 4.11 Hasil Pengujian Arus.....	80

BAB I

PENDAHULUAN

1.1 Latar Belakang

Perkembangan pembangunan dalam bidang transportasi sekarang ini mengalami kemajuan yang sangat pesat. Salah satunya adalah jalan tol, jalan ini banyak sekali dilalui oleh orang-orang yang tidak ingin terjebak oleh kemacetan dan ingin cepat sampai pada tempat tujuan. Tarif untuk melewati jalan tol pun relatif murah sehingga orang cenderung memilih jalan tol sebagai jalur alternatif.

Karena banyaknya pengguna jalan tol itulah menuntut pihak pengelola jalan tol untuk menerapkan sistem-sistem guna mempermudah kerja mereka, salah satunya adalah pengelompokan atau penggolongan kendaraan untuk membedakan jumlah pembayaran bagi kendaraan yang akan melewati jalan tol. Untuk membedakan jenis golongan kendaraan ini biasanya operator memberikan kartu golongan kendaraan di pintu masuk jalan tol. Misalnya golongan I untuk jenis mobil sedan, jip, truk 3/4 dan jenis kendaraan pribadi lainnya, golongan II untuk jenis kendaraan bus kecil dan truk kecil dan golongan III untuk jenis bus besar, truk besar dan truk gandeng.

Seiring dengan berkembangnya teknologi yang semakin maju dan daya kreativitas manusia, sistem tersebut dapat lebih dioptimalkan lagi dengan cara memperbaiki pada sistem loket yang biasanya dilakukan oleh operator. Dengan perkembangan mikrokontroller diharapkan penyerahan kartu golongan kendaraan pada loket jalan tol dapat digunakan secara maksimal.

1.2. Rumusan Masalah

Perkembangan teknologi menuntut adanya inovasi untuk menciptakan alat yang dapat mempermudah kerja manusia. Sistem pintu masuk jalan tol yang diketahui selama ini masih menggunakan operator untuk memberikan kartu golongan kendaraan kepada pengendara yang akan melewati jalan tol.

Berdasarkan uraian di atas, maka kami berpendapat bahwa sebaiknya penyerahan kartu golongan kendaraan dapat dilayani secara otomatis tanpa melibatkan operator.

Rumusan yang dapat diambil dari masalah di atas adalah:

1. Bagaimana cara membedakan jenis golongan kendaraan berdasarkan panjang kendaraan.
2. Bagaimana cara menyerahkan kartu golongan kendaraan kepada pengguna jalan tol secara otomatis

1.3. Tujuan

Tujuan dari pembuatan alat penyerah kartu golongan kendaraan pada pintu masuk jalan tol adalah:

1. Pengaplikasian atau penggunaan sensor sebagai alat pendeteksi kendaraan yang akan memasuki jalan tol.
2. Penggunaan mikrokontroler sebagai pengontrol atau pemroses data dari semua input yang menjadi intruksi-intruksi sebagai output dari system.
3. Mempermudah pelayanan petugas loket jalan tol untuk menyerahkan kartu golongan kendaraan pada pintu masuk jalan tol.

1.4. Batasan Masalah

Didalam penulisan laporan skripsi ini, agar pembahasan masalah sesuai dengan yang diinginkan dan tidak menyimpang dari apa yang semula dirumuskan, maka penulis menyertakan batasan masalah sebagai berikut :

1. Mikrokontoller AT89S51 sebagai unit utama proses pengolah data inputan dari sensor, selanjutnya data hasil pengolahan dapat dilihat dari keluarnya kartu secara otomatis.
2. Kartu yang keluar adalah kartu menurut jenis kendaraan yang lewat. Golongan I yaitu sedan, jip, truk $\frac{3}{4}$, mini bus, golongan II yaitu bus kecil dan truk kecil, golongan III yaitu bus besar, truk besar dan truk gandeng.
3. Alat ini hanya prototype.
4. Tidak membahas secara detail tentang motor dan catu daya.

1.5. Metodologi

Metode yang digunakan dalam perencanaan dan pembuatan laporan skripsi ini adalah :

1. *Study Literature*

Dengan mempelajari teori serta aplikasi dari sensor dan Mikrokontoler sebagai pendeteksi dan sebagai pengolah data sehingga dapat digunakan atau diaplikasikan dalam kehidupan manusia seperti dalam mempermudah pekerjaan petugas dalam pemberian kartu tanda masuk jalan tol.

2. *Field Research*

Melakukan percobaan dan membandingkan data hasil percobaan dengan kondisi sebenarnya di lapangan yang merupakan data primer sebagai pembuktian kebenaran dari data sekunder hasil studi literature.

3. Merancang dan membuat perangkat keras dan perangkat lunaknya.

- 1) Membuat gambaran umum
- 2) Analisa kebutuhan, baik kebutuhan perangkat keras maupun perangkat lunak.
- 3) Perancangan alat
 - a) Pembuatan diagram
 - b) Penentuan data flow diagram
 - c) Membuat blok diagram
 - d) Membuat rancangan fisik alat yang dibuat
 - e) Membuat rancangan software
- 4) Membuat alat sesuai dengan rancangan yang dibuat.

4. Ujicoba terhadap alat yang telah di buat.

5. Menyusun laporan skripsi.

1.6. Sistematika

Adapun sistematika dari penyusunan laporan skripsi ini adalah :

BAB I PENDAHULUAN

Berisi latar belakang belakang, rumusan masalah, tujuan, pembatasan masalah, metodologi penulisan, serta sistematika penyusunan dan pembuatan alat.

BAB II LANDASAN TEORI

Berisi tentang teori – teori dasar yang memiliki relevansi sebagai dasar perencanaan dan pembuatan.

BAB III PERENCANAAN DAN PEMBUATAN

Berisi tentang perencanaan hardware dan software.

BAB IV PENGUJIAN ALAT

Berisi tentang data hasil pengujian peralatan yang telah dibuat secara keseluruhan.

BAB V PENUTUP

Berisi kesimpulan dan saran dari tugas akhir ini

BAB II

LANDASAN TEORI

Untuk dapat memahami alat yang akan dirancang ini maka dalam bab II ini akan dijelaskan mengenai teori dasar yang berkaitan dengan sistem ini, diantaranya meliputi: Mikrokontroler AT89S51, sensor-sensor yang digunakan, display dot matrik, potensio motor dan komponen pendukung lainnya.

2.1. Mikrokontroler AT 89S51

Mikrokontroler AT89S51 merupakan salah satu rangkaian terintegrasi (*Intregated Circuits*) mikrokontroler yang tergabung dalam keluarga MCS-51. Beberapa fitur yang terdapat pada mikrokontroler ini ialah sebagai berikut :

1. 4 buah I/O (*input/output*) port 8 bit.
2. 4 Kbyte memori program (*Flash EEPROM*).
3. 128 byte RAM internal.
4. 2 buah *timer* 16 bit.
5. 64 kbyte maksimum eksternal *memory address*.
6. 210 bit *addressable memory location*.
7. Terdapat *interface* untuk komunikasi serial.

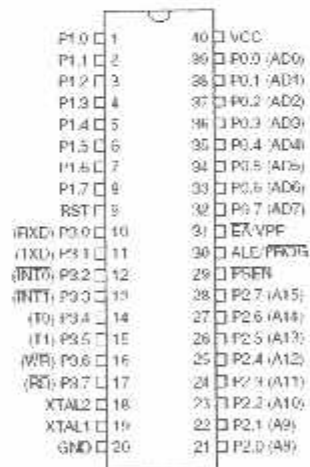
Keluarga IC MCS-51 memiliki beberapa jenis IC mikrokontroler seperti yang ditunjukkan pada tabel 2.1 berikut :

Tabel 2.1 Tabel Keluarga MCS-51

Nomor seri	Memori program internal(Flash EEPROM)	Memori data internal (RAM)	Timer
8051	4 k byte ROM	128 bytes	2
8031	-	128 bytes	2
8751	4 k byte EPROM	128 bytes	2
8052	8 kbyte Rom	256 bytes	3
8032	-	256 bytes	3
8752	8 kbyte EPROM	256 bytes	3
89c51	4 k byte EEPROM	128 bytes	2

Sumber : Tjatur , 2001

Susunan pin pada mikrokontroler AT89S51 adalah sebagai berikut :



Gambar . 2.1

Susunan pin dari AT89S51

Sumber: Tjatur, 2001

Keterangan Pin mikrokontroler AT89S51

1. Port 0 : Port dua fungsi.

Dalam perancangan konvensional Port ini hanya digunakan sebagai port I/O serbaguna, namun dalam sistem yang melibatkan memori eksternal port ini dapat digunakan secara bergantian sebagai port data maupun alamat (A0-A7).

2. Port 1 : Port I/O serba guna

3. Port 2 : Port dua fungsi.

Fungsinya sama dengan port 0, namun pada penggunaan memori eksternal, port ini digunakan untuk bus alamat *high* (A8-A15).

4. Port 3 : Port dua fungsi.

Selain dapat digunakan sebagai port I/O serbaguna dapat pula digunakan untuk fungsi-fungsi khusus lainnya seperti yang ditunjukkan pada tabel 2.1 berikut:

Tabel 2.2 Tabel Fungsi-fungsi khusus port 3

Bit	Nama pin	Alamat bit	Fungsi alternatif
P3.0	RXD	B0H	Comm serial receiver
P3.1	TXD	B1H	Comm serial tranceiver
P3.2	INT 0	B2H	Eksternal interrupt 0
P3.3	INT 1	B3H	Eksternal interrupt 1

P3.4	T 0	B4H	Eksternal Timer /Counter Input 0
P3.5	T 1	B5H	Eksternal Timer /Counter Input 1
P3.6	WR	B6H	Eksternal memori write enable
P3.7	RD	B7H	Eksternal memori read enable

Sumber : Tjatur , 2001

5. PSEN (*Program store enable*)

Merupakan sebuah sinyal *output* yang berfungsi sebagai kontrol dalam membaca program maupun kode dari memori eksternal. Biasanya pin ini dihubungkan dengan *output enable* dari EPROM. Jika program yang dieksekusi berasal dari memori internal maka Pin ini akan berada pada kondisi tidak aktif (*high*).

6. ALE (*Address Latch Enable*)

Sinyal *output* ALE berfungsi dalam memisahkan waktu pengiriman data dengan alamat dalam penggunaan memori eksternal. Sinyal ALE membangkitkan pulsa sebesar 1/6 frekuensi oscilator, ALE hanya akan aktif pada saat mengakses memori eksternal.

7. EA (Eksternal akses)

Jika Pin EA diberi logika rendah maka mikrokontroler akan mengakses memori program eksternal. Sebaliknya jika Pin EA diberi logika tinggi,

mikrokontroler akan mengakses memori program internal. Pin ini juga dipakai sebagai tegangan pemrograman EPROM atau *Flash Memori Internal*.

8. RST (Reset)

Pin ini berfungsi untuk mereset logika program dari awal. Biasanya untuk penggunaan *Power on reset*, sebuah resistor *pul-lup* ke VCC dan sebuah kapasitor yang terhubung ke *ground* dihubungkan pada pin ini.

9. Oscillator

Oscillator pada mikrokontroler ini diatur oleh besarnya nilai X'tal yang terhubung pada pin 18 dan pin 19. Besar nilai X'tal sekitar 12 Mhz.

10. Power

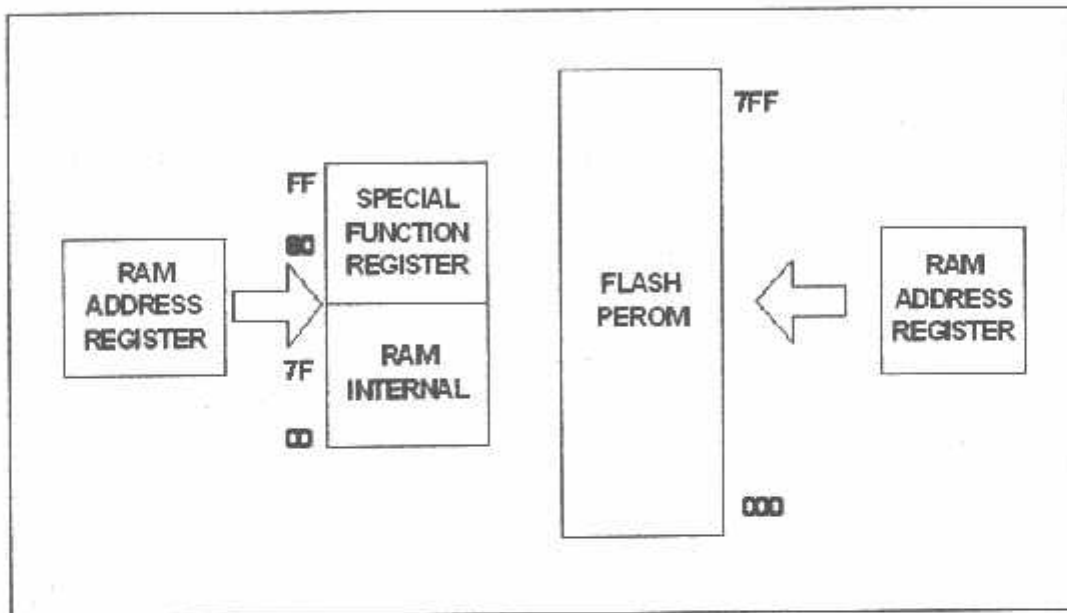
AT89S51 memerlukan tegangan catu sebesar 5 V DC pada pin 40 dan 0 V (*ground*) sebagai titik acuan pada pin 20.

2.1.1. Struktur Memory AT 89S51

Memori yang ada pada AT89S51 terdiri atas : (1) RAM Internal, memori sebesar 128 byte biasa difunakan untuk menyimpan variable atau data yang bersifat sementara. (2) *Special Function Register*(Register Fungsi Khusus), memori ini berisi register-register yang mempunyai fungsi-fungsi khusus yang disediakan oleh mikrokontroler tersebut seperti timer, serial dan lain-lain. (3) *Flash PEROM*, memori yang digunakan untuk menyimpan instruksi-instruksi dalam AT89S51.

Dalam bukunya Paulus Andi Nalwan (2003) menyatakan: "AT89S51 mempunyai struktur memori yang terpisah antara RAM internal dan *Flash PEROM*-nya". RAM Internal dialamat oleh *RAM Address Register* (Register Alamat RAM)

sedangkan *Flash PEROM* dialamati oleh *Program Address Register* (Register Alamat Program). Dengan adanya struktur memori yang terpisah tersebut, maka walaupun RAM Internal dan *Flash PEROM* memiliki alamat yang sama yaitu alamat 00, namun secara fisiknya kedua memori tersebut tidak saling berhubungan. Untuk lebih jelasnya dapat dilihat pada gambar 2.2.



Gambar. 2.2

Alamat RAM Internal dan *Flash PEROM*

Sumber : Natwan ; 2003

2.1.2. RAM Internal

RAM Internal pada AT89S51 terdiri atas :

1. Register Banks

AT89S51 mempunyai delapan buah register , terdiri dari R0-R7. Kedelapan buah register ini selalu terletak pada alamat 0011-07H saat sistem direset.

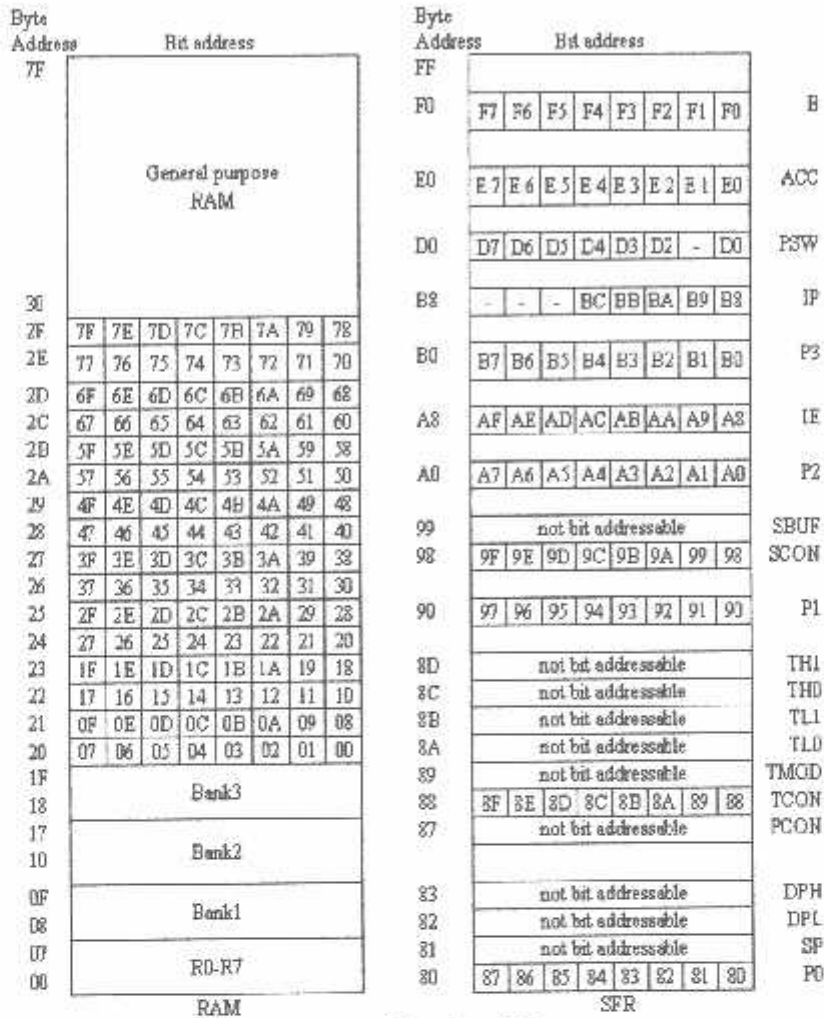
2. Bit Addressable RAM

RAM pada alamat 20H-2FH dapat diakses secara pengalamatan bit (*bit addressable*) sehingga hanya dengan sebuah instruksi saja setiap bit dalam area ini dapat diset, clear, AND dan OR.

3. *General purpose RAM* (RAM Keperluan Umum)

RAM ini dimulai pada alamat 30H-7FH yang dapat diakses dengan pengalamatan langsung maupun pengalamatan tak langsung. Pengalamatan langsung dilakukan ketika salah satu operand merupakan bilangan yang menunjukkan lokasi yang dialamati. Sedangkan pengalamatan secara tak langsung pada lokasi RAM Internal ini yaitu akses data dari memori ketika alamat memori tersebut tersimpan dalam suatu register R0 atau R1. Register R0 dan R1 merupakan dua buah register pada mikrokontroler AT89S51 yang dapat digunakan sebagai pointer dari sebuah lokasi memori pada RAM Internal.

Untuk gambar peta memori RAM dan *Special Function Register* dapat dilihat pada gambar 2.3.



Gambar 2.3

Peta memori dan special function register

Sumber : Nalwan ; 2003

2.1.3. Register Fungsi Khusus (*Special Function Register*)

AT89S51 memiliki 21 *Special Function Register* (Register Fungsi Khusus). Terletak pada alamat 80H-FFH (lihat Gambar 2.5). Beberapa dari register-register ini

dapat dialamati dengan pengalamatan bit. Berikut ini adalah register-register yang ada pada *Special Function Register*.

1. Akumulator

Register ini terletak pada alamat E0H, fungsinya yaitu untuk operasi aritmatik dan operasi logika serta untuk pengiriman data ke memori eksternal.

2. Port I/O

AT89S51 memiliki empat buah port, yaitu port 0, port 1, port 2 dan port 3 terletak pada alamat 80H, 90H, A0H dan B0H. Namun jika digunakan kita menggunakan eksternal memori ataupun fungsi-fungsi spesial seperti *external interrupt*, serial ataupun *external timer*, port 0, port 2 dan port 3 tidak dapat digunakan sebagai port dengan fungsi umum. Untuk itu disediakan port 1 yang dikhususkan untuk port dengan fungsi umum (Nalwan : 10).

3. PSW (Program Status Word)

Program Status Word atau PSW terletak pada alamat D0H (gambar 2.5).

4. Register B

Dipakai bersama-sama dengan akumulator untuk proses aritmatik, register ini berfungsi juga register biasa, sifatnya *bit addressable*.

5. Stack Pointer

Merupakan sebuah register 8 bit, terletak pada alamat 81H, berisi alamat dari data yang disimpan di-*stack*. *Stack pointer* dapat diedit atau dibiarkan saja mengikuti standar sesudah terjadi reset (Nalwan ; 14).

Instruksi-instruksi yang biasa dipakai adalah *push*, *POP*, *Acsll* dan *Lcall*.

6. Data Pointer

Data pointer (DPTR) merupakan register 16 bit dan terletak pada alamat 82H untuk DPL dan 83H untuk DPH. Berfungsi untuk mengakses *source code* ataupun data yang terletak di memori eksternal. Sebagai contoh lihat *listing* program dibawah ini :

```
Mov  A,#01H
Mov  DPTR,#2000H
Mov  @DPTR,A
```

Listing diatas berfungsi untuk menuliskan data 01H kealamat 2000H, langkahnya pertama data diisikan ke akumulator kemudian DPTR yang berfungsi untuk menunjukkan alamat penyimpanan data diisi dengan 2000H. kemudian isi data dari akumulator akan disimpan ke lokasi memori yang ditunjuk oleh DPTR.

7. Register Timer

AT89S51 terdiri dari dua buah 16 bit Timer/counter, yaitu Timer 0 dan Timer 1. Timer terletak di alamat 8AH untuk TL0 dan 8CH untuk TH0 dan Timer 1 terletak di alamat 8BH untuk TL1 dan 8DH untuk TH1.

8. Register Port Serial

Dalam AT89S51 terdapat sebuah *on chip serial port* (Port Serial di dalam *keeping*), berfungsi untuk berkomunikasi dengan peralatan lain yang menggunakan serial port juga seperti modem, *shift* register dan lain-lain.

Buffer (penyangga) dalam proses komunikasi terletak pada register SBUF di alamat 99H, sedangkan untuk mengatur mode serial dapat dilakukan dengan mengubah isi dari SCON yang terletak pada alamat 98H.

9. Register Interupsi

AT89S51 memiliki lima buah interupsi dengan dua level prioritas interupsi. Interupsi ini selalu nonaktif setiap sistem dalam AT89S51 di reset. Register-register yang berhubungan dengan *interrupti* adalah *interrupt enable register* (IE) atau register pengaktif interupsi terletak pada alamat A8H, berfungsi untuk mengatur aktifnya tiap-tiap *interrupt* dan yang terakhir adalah *interrupt priority register* (IP) atau register prioritas interupsi terletak pada alamat B8H.

10. Register Kontrol Power

Register ini terdiri atas SMOD, berfungsi untuk melipat dua *baud rate* dari port serial, dua buah bit untuk *flag* fungsi umum pada bit ketiga dan bit kedua, *power down* (PD) bit dan *Idle* (IDL) bit. pada *mode idle* hubungan antara CPU (*central processing unit*) dan internal *clock* terputus, tapi port tetap pada kondisi terakhir, ALE dan PSEN menjadi *high*, timer masih tetap bekerja. Mode *idle* berakhir padasaat terjadi interupsi, reset ataupun kondisi-konsisi lain yang me-reset IDL bit.

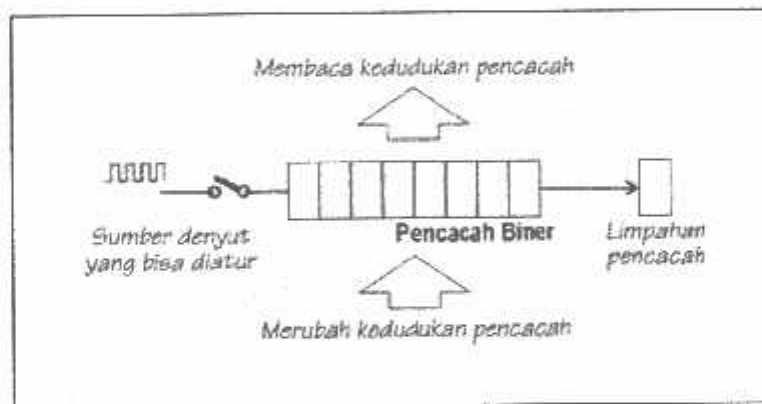
2.1.4 Timer dan Counter dalam MCS51

Timer dan *Counter* merupakan sarana *input* yang kurang dapat perhatian pemakai mikrokontroler, dengan sarana *input* ini mikrokontroler dengan mudah bisa dipakai untuk mengukur lebar pulsa, membangkitkan pulsa dengan lebar yang pasti, dipakai dalam pengendalian tegangan secara PWM (*Pulse Width Modulation*) dan sangat diperlukan untuk aplikasi *remote control* dengan infra merah. Dalam mikrokontroler AT89S51 terdapat dua buah timer yaitu Timer 0 dan Timer 1, keduanya berfungsi sebagai *counter* maupun *timer*.

Pada dasarnya sarana *input* yang satu ini merupakan seprangkat pencacah biner (*binary counter*) yang terhubung langsung ke saluran-data mikrokontroler, sehingga mikrokontroler bisa membaca kedudukan pancacah, bila diperlukan mikrokontroler dapat pula merubah kedudukan pencacah tersebut.

Seperti layaknya pencacah biner, bilamana sinyal *clock* (denyut) yang diumpankan sudah melebihi kapasitas pencacah, maka pada bagian akhir rangkaian pencacah akan timbul sinyal limpahan, sinyal ini merupakan suatu hal yang penting sekali dalam pemakaian pencacah. Terjadinya limpahan pencacah ini dicatat dalam sebuah *flip-flop* tersendiri.

Di samping itu, sinyal *clock* yang diumpankan ke pencacah harus bisa dikendalikan dengan mudah. Hal-hal di atas diringkas dalam Gambar 2.4



Gambar 2.4

Konsep dasar Timer/Counter sebagai sarana input

Sumber : Suthanto , 2001

Sinyal *clock* yang diumpankan ke pencacah bisa dibedakan menjadi 2 macam, yang pertama sinyal *clock* dengan frekuensi tetap yang sudah diketahui besarnya dan yang kedua adalah sinyal *clock* dengan frekuensi tidak tetap.

Jika sebuah pencacah bekerja dengan frekuensi tetap yang sudah diketahui besarnya, dikatakan pencacah tersebut bekerja sebagai *timer*, karena keadaan pencacah tersebut setara dengan waktu yang bisa ditentukan dengan pasti.

Jika sebuah pencacah bekerja dengan frekuensi yang tidak tetap, dikatakan pencacah tersebut bekerja sebagai *counter*, keadaan pencacah tersebut hanyalah menyatakan banyaknya pulsa yang sudah diterima pencacah.

Rangkaian pencacah biner yang dipakai, bisa merupakan pencacah maju (*up-counter*) ataupun pencacah mundur (*down-counter*).

Timer/counter sebagai sarana *input* banyak dijumpai dalam mikrokontroler, misalnya mikrokontroler keluarga MCS51, mikrokontroler ini memiliki *timer/counter* di dalam *chip* sebagai sarana *input*.

2.1.5 Komunikasi Data Serial

Untuk komunikasi data serial AT89S51 dilengkapi dengan *on chip serial port* (Port Serial di dalam *keeping*), sistemnya secara *full duplex* sehingga port serial ini masih dapat menerima data pada saat proses pengiriman data terjadi (Nalwan; 39). Saat proses pengiriman ataupun penerimaan data AT89S51 menggunakan SBUF sebagai penyangga (*buffer*), SBUF ini letaknya pada alamat 99H, sehingga jika AT89S51 sedang melakukan proses pembacaan data pertama sedangkan data yang kedua belum diterima secara penuh maka data ini tidak akan hilang.

SBUFF terdiri atas dua buah register yang terletak di alamat yang sama yaitu 99H, kedua register tersebut adalah *transmite register* sifatnya *write only* (hanya dapat ditulis) dan *receive register* sifatnya *read only* (hanya dapat dibaca).

Sistem kerjanya yaitu saat proses penerimaan data dari port serial, data yang masuk ke dalam port serial akan ditampung pada *receive register* dulu, kemudian diteruskan ke jalur *bus* internal pada saat pembacaan register SBUF. Sedangkan saat pengiriman data ke port serial data yang dituliskan dari *bus* internal ditampung pada *transmite register* dulu sebelum dikirim ke port serial.

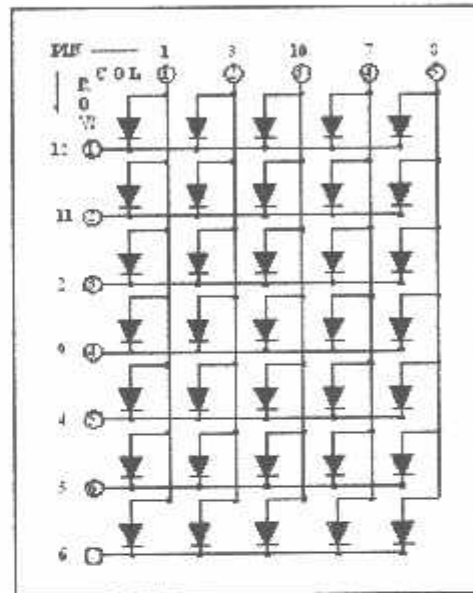
Komunikasi data serial dalam AT89S51 dibagi menjadi dua, yaitu (1) komunikasi sinkron dan (2) komunikasi data asinkron. Pada komunikasi data serial secara sinkron membutuhkan sinyal clock untuk sinkronisasi data, sinyal clock tersebut akan terpicu pada setiap bit pengiriman data. Sedangkan pada komunikasi data serial secara asinkron tidak memerlukan sinyal clock sebagai sinkronisasi data, tapi memakai *start bit* dan *stop bit* untuk menandai awal dan akhir dari pengiriman/penerimaan data dengan *baud rate* sebagai pemicunya. *Baud rate* ini dibangkitkan oleh bagian pengirim maupun penerima dengan frekuensi yang sama.

2.2. Komponen Pendukung Tampilan Dot Matrik

2.2.1. Dot matrik

Piranti dot matrik mempunyai sejumlah besar cahaya yang berbentuk seperti titik. Untuk menghidupkan sebuah LED dalam matrik ini, harus menerapkan tegangan dalam anodanya dan *groundkan* katodanya. Dengan menerapkan tegangan lebih dari sebuah kolom dan *groundkan* lebih dari satu baris, maka

dapat memperagakan setiap angka desimal, setiap huruf abjad, serta berbagai lambang lain. Tampilan matrik titik (*dot matrik*) terdiri dari sejumlah LED yang disusun pada baris dan kolom. Susunan yang terdapat di pasaran adalah matrik 5x7 titik, 5x8, dan 16x16 titik. Pada tampilan yang dipergunakan adalah tampilan 5x7 titik, seperti pada gambar dibawah ini.



Gambar 2.5

Display Dot Matrik

Sumber : www.sof-optoelectronic.com

Matrik 5x7 titik mampu menyajikan karakter alfanumerik yang lengkap. Proses pembangkitan karakter antara lain melibatkan proses *scanning* baris dan kolom, memilih LED yang tepat pada baris atau kolom, dan menyalakanya. Proses ini diulang untuk baris berikutnya. Setelah semua baris atau kolom yang dipilih dengan urutan tertentu, proses di atas akan diulangi mulai dari baris paling atas atau kolom pertama.

Jika frekuensi *scanning* cukup cepat (sekitar 100 Hz), maka akan diperoleh karakter bebas kedip. Jika matrik di-*scan* dari kiri ke kanan, kolom demi kolom, disebut *vertical scanning*. Jika dilakukan baris demi baris, disebut *horizontal scanning*.

2.2.2. Dekoder Matrik LED

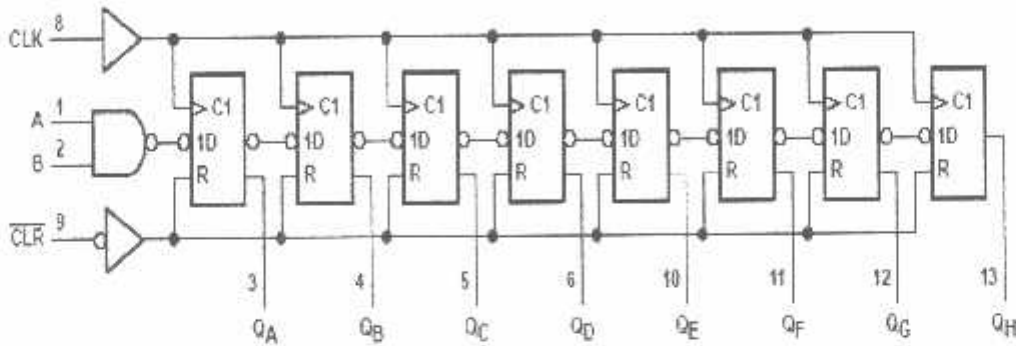
Untuk menyalakan huruf alfanumerik dengan pembacaan dot matrik, LED yang dibutuhkan tidak dinyalakan serentak. Sebagai contoh, pada gambar 2.5 dimulai dengan menggroundkan baris pertama dan memasang tegangan pada kolom vertikal yang sesuai. Setelah itu, baris LED kedua digroundkan dan tegangan dipasang pada kolom-kolom tertentu. Hal ini akan dilanjutkan pada baris-baris berikutnya dan akan diulang lagi. Bila proses ini diulang secara cepat suatu alfanumerik akan tampil tanpa kedipan.

Rangkaian yang menjalankan matrik LED cukup rumit karena harus melakukan proses *scanning* baris-baris horizontal dan pada saat yang sama memasang tegangan pada kolom yang sesuai. Secara umum pencacah lingkaran (*ring counter*) melakukan *scan* pada baris horizontal, sedangkan memori berisi data kolom LED yang nyala memberikan tegangan pada kolom-kolom vertikal.

2.2.3. Register Geser 8 Bit *Serial In Parallel Out (SIPO)*

Bagian ini akan merinci salah satu dari sekian banyak register geser, yaitu register yang masuknya seri dan keluarannya paralel 8 bit. IC yang digunakan adalah IC SN74HC164 yang merupakan register 8 bit yang terpicu sentuh dengan masukan

serial. Semua keluaran paralel tersedia atas setiap *flip-flop D internal*. Diagram rinci tersedia dalam Gambar 2.6, memperlihatkan penggunaan delapan *flip-flop D internal*, masing-masing dengan keluaran data paralelnya (QA sampai QB).



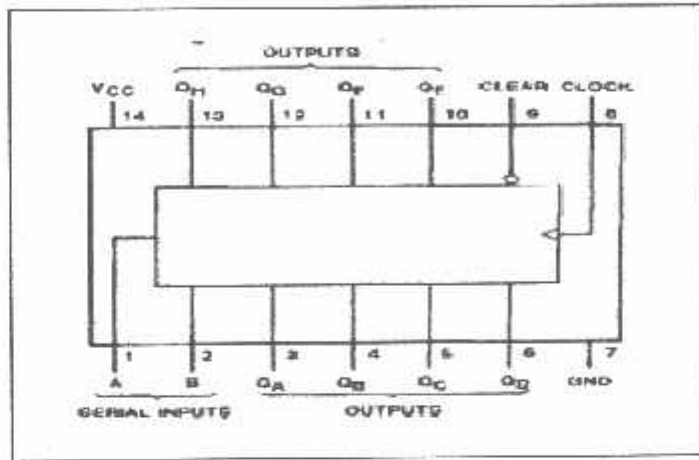
Gambar 2.6

Diagram Detail Register Geser 8 Bit SN74HC164

Sumber : Datasheet SN74HC164

IC SN74HC164 terlihat memiliki sebuah masukan serial. Data dimasukkan secara serial melalui salah satu dari dua masukan (A dan B). perhatikan dalam gambar 2.6, kedua masukan (A dan B) di NAND-kan. Kedua masukan ini bisa digabung menjadi satu masukan atau bisa juga salah satu ditentukan sebagai logika tinggi, sedangkan yang satu lagi untuk pemasukan data. Masukan data pengatur ulang utama *clear* untuk ICSN74HC164 merupakan input aktif rendah. Dalam tabel kebenaran (Tabel 2.3) memperlihatkan bahwa bila diaktifkan, masukan *clear* akan mematikan semua

input yang lainnya, dan mengembalikan semua *flip-flop* ke 0. IC SN74HC164 menggeser data satu tempat ke kanan dalam setiap peralihan rendah ke tinggi dalam masukan *clock*.



Gambar 2.7

Konfigurasi Kaki-kaki SN74HC164

Sumber : Datasheet SN74HC164

Untuk tabel kebenaran dari IC SN74HC164 dapat dilihat pada tabel berikut:

Tabel 2.3 Tabel Kebenaran IC SN74HC164

Masukan				Keluaran	
Clear	Clok	A	B	Q _A	Q _B - Q _H
L	X	X	X	L	L - L
H	L	X	X	Q _{A0}	Q _{B0} - Q _{H0}
H		H	H	H	Q _{An} - Q _{Gn}
H		L	X	L	Q _{An} - Q _{Gn}
H		X	L	L	Q _{An} - Q _{Gn}

Sumber : Datasheet SN74HC164

H = Logika Tinggi

L = Logika Rendah

X = Sembarang (sembarang masukan, termasuk transisi)

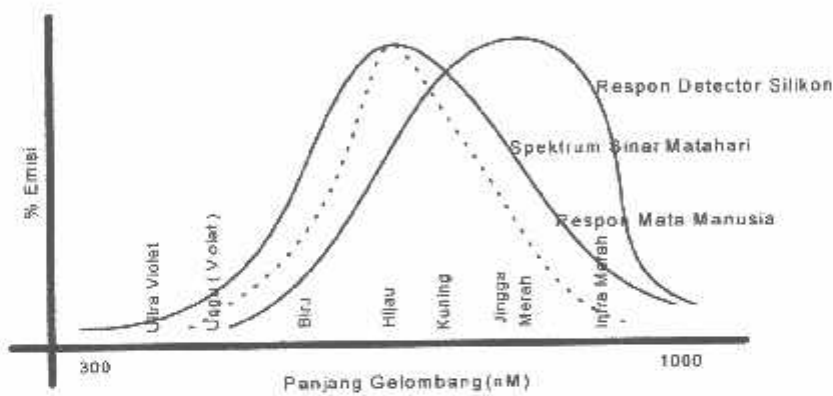
 = Transisi dari rendah ke tinggi

Q_{A0}, Q_{B0}, Q_{H0} = Masing-masing logika pada Q_A, Q_B, atau Q_H sebelum terjadi kondisi-kondisi jalan masuk stasioner yang ditunjukkan.

Q_{An}, Q_{Gn} = logika QA atau QG sebelum transisi  pada *clock* yang paling akhir, menunjukkan pergeseran satu bit.

2.3. Sensor Infra Merah

Spektrum cahaya juga termasuk gelombang elektromagnetik dan dapat dikelompokkan dalam beberapa macam, yaitu cahaya tampak dan cahaya tak tampak. Didalam cahaya kompleks, dua sifat itu menjadi satu, contohnya cahaya matahari yang didalamnya memiliki macam-macam cahaya yang biasa disebut pelangi. Infra merah termasuk golongan cahaya yang tidak tampak oleh mata kita. Yang memiliki panjang gelombang cahaya infra merah ini antara $0,7 \times 10^{-6} \text{m}$ sampai $100 \times 10^{-6} \text{m}$.



Gambar 2.8

Spektrum Cahaya dan Respon Mata Manusia

Sumber: Susanto Wibisono Koselan 2001

Gelombang elektromagnetik dapat dibagi dalam beberapa daerah, yaitu : gelombang radio, gelombang mikro, sinar infra merah, sinar ultraviolet, sinar X dan sinar gamma. Spektrum gelombang elektromagnetik diatas dapat dilihat dalam tabel berikut ini :

Tabel 2.4. Spektrum Gelombang Elektromagnetik

Panjang Gelombang (meter)	Frekuensi	Jenis Gelombang
$10^{-13} - 10^{-15}$	$10^{21} - 10^{23}$	Sinar Gamma
$10^{-9} - 10^{-12}$	$10^{17} - 10^{20}$	Sinar x
$10^{-7} - 10^{-9}$	$10^{15} - 10^{17}$	Ultra Violet
$10^{-6} - 10^{-7}$	$10^{14} - 10^{15}$	Cahaya Tampak
$10^{-3} - 10^{-6}$	$10^{11} - 10^{14}$	Infra Merah
$10^{-1} - 10^{-3}$	$10^9 - 10^{11}$	Gelombang Mikro
$10^5 - 10^{-1}$	$10^3 - 10^9$	Gelombang Radio

Sumber: Susanto Wibisono Koselan 2001

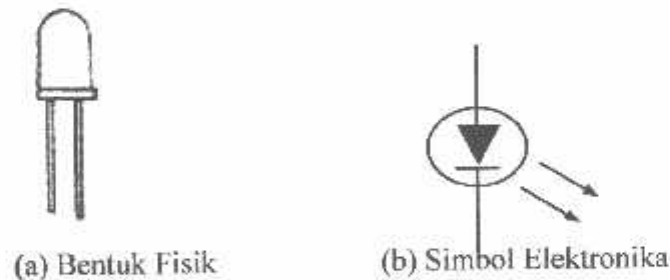
Sifat dari spektrum infra merah tidak berbeda jauh dengan cahaya tampak, diantaranya dapat memancarkan cahaya yang merupakan satu garis lurus dan dapat menembus benda-benda transparan, serta dapat pula dipantulkan oleh benda yang memantulkan cahaya, misalnya : cermin. Spektrum infra merah banyak digunakan untuk keperluan elektromagnet, terutama untuk alat yang menggunakan pengaturan dari jarak jauh atau system yang menggunakan remote controle. Beberapa keuntungan penggunaan spektrum infra red adalah :

- Infra merah mempunyai panjang gelombang yang relative pendek pada daerah frekuensi tertentu dengan panjang gelombang 0,7 sampai 10^{-6} m.

- Pemancar infra merah membutuhkan sumber tegangan kecil.
- Tidak mengganggu media transmisi lainnya untuk kepentingan umum, sehingga tidak memerlukan ijin khusus.
- Spektrum infra merah merupakan cahaya yang tidak tampak oleh mata, sehingga dapat digunakan untuk keperluan rahasia.

2.3.1. (Light Emiting Dioda) Infra Merah

Selain oleh matahari, cahaya jenis ini dapat dibangkitkan melalui teknologi difusi pada dioda semikonduktor yang biasa disebut LED (Light Emiting Dioda). Sedangkan dioda sendiri juga banyak jenisnya termasuk yang bisa memancarkan cahaya saat dialiri arus forward padanya, electron dari pita konduksi melewati junction dan jatuh kedalam hole pita valensi, sehingga electron-elektron tersebut memancarkan energi. Pada dioda biasa energi ini dipancarkan melalui panas dan dioda yang tidak memancarkan cahaya contohnya dioda zener maupun dioda penyearah. Lambang dan bentuk dari LED infra merah tersebut dapat dilihat pada gambar gambar di bawah ini :



Gambar 2.9

Dioda Infra Merah

Sumber: Elektronika Praktis, Barry G. Woollard

LED(light Emiting Diode) disini digunakan sebagai sumber cahaya yang mempunyai panjang gelombang sebesar 10^{-3} sampai 10^{-6} dengan frekwensi sebesar 10^{11} sampai 10^{14} Hz. Cahaya yang dipancarkan oleh infra merah tidak dapat dilihat oleh mata sedangkan kekuatan yang dihasilka oleh infra merah tergantung pada arus listrik yang masuk. Semakin dipenuhi kebutuhan akan arus maksimum maka semakin terang cahaya yang dihasilkan.

2.3.2. Photodioda

Photodioda ini memiliki sifat kebalikan dari LED infra red diatas, yang mana jenis dioda ini akan mengalirkan arus maju forward, saat dikenai cahaya infra merah padanya. Kuat arus yang mengalir juga tergantung dari kuatnya cahaya infra merah yang jatuh pada dioda tersebut. Bila cahaya lain mengenainya maka dioda ini berfungsi sebagai sumbatan yang memiliki impedansi sangat tinggi sekali. Prinsip kerja photodioda ini sama dengan phototransistor, yang membedakan antara keduanya adalah jika photodioda tidak memiliki penguatan arus pada anodanya, sedangkan pada phototransistor memiliki penguatan pada arus kolektornya sebesar hasil kali antara "hfe" dengan kuat cahaya yang jatuh pada basis phototransistor. Simbol pada photodioda sama dengan LED infra merah hanya tanda panah masuk menuju dioda. Berikut gambar dari photodioda tersebut.

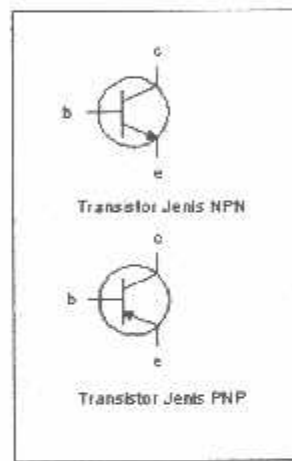


Gambar 2.10. Photodioda

Sumber: Elektronika Praktis, Barry G. Woollard

2.4. Transistor

Transistor merupakan komponen semikonduktor yang dapat digunakan untuk memperkuat sinyal listrik, sebagai saklar elektronik dan lain sebagainya. Pada dasarnya, sebuah transistor terbuat dari bahan germanium atau silikon yang terdiri dari tiga sisi, yaitu dua sisi tipe-P yang dipisah oleh sebuah tipe-N atau bisa juga dua buah sisi tipe-N yang dipisahkan oleh sebuah sisi tipe-P. jenis yang pertama disebut dengan transistor PNP, dan yang kedua disebut dengan transistor jenis NPN..



Gambar 2.11

Simbol Transistor NPN dan PNP

Sumber : Malvino, 1992 : 103

2.4.1. Daerah Kerja Transistor

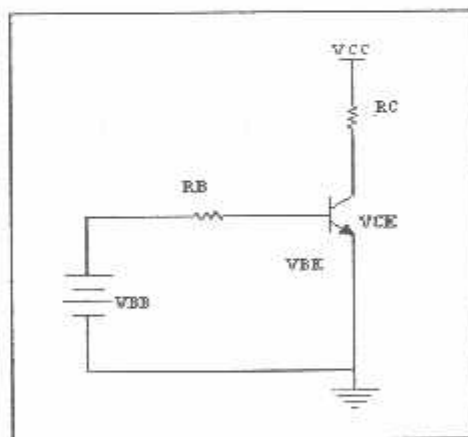
Transistor dapat dioperasikan dalam tiga operasi yaitu daerah penjumlahan (*saturation*), daerah titik sumbat (*cut off*) dan daerah aktif. Pada saat saturasi idealnya V_{CE} sama dengan nol tapi pada kenyataannya ada drop tegangan yang kecil ($V_{CE(Sat)}$).

Jika arus basis lebih besar dari pada $I_{B(Sat)}$, arus kolektor tidak dapat bertambah karena dioda kolektor tidak lagi dibias *reverse*. I_B saturasi merupakan nilai minimum yang dibutuhkan untuk menyebabkan transistor saturasi.

Transistor berada dalam daerah *cut off* jika ada arus yang mengalir ke basis atau arus yang keluar dari basis (I_B berharga nol atau negatif) maka arus kolektornya juga sama dengan nol, yang dimaksud disini adalah arus yang mengalir dari kolektor, tetapi sebenarnya terdapat arus bocor yang kecil.

Transistor dalam daerah aktif, jika ada arus yang mengalir dan jika V_{CE} lebih positif dari V_{BE} (kolektor lebih positif dari pada basis), maka perubahan kecil dalam arus basis akan menimbulkan perubahan yang besar dalam arus kolektor, sehingga memungkinkan penguatan masukan. Dalam daerah ini V_{BE} mendapat bias *forward*.

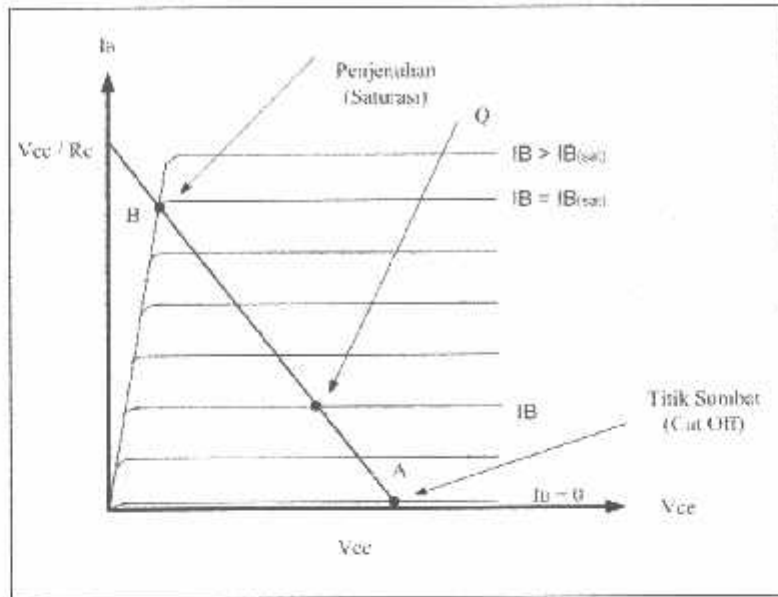
Gambar 2.12 merupakan salah satu rangkaian transistor dan diperoleh karakteristik transistor.



Gambar 2.12

Rangkaian Bias Basis

Sumber : Malvino, 1981 : 122



Gambar 2.13

Karakteristik Transistor

Sumber : Malvino, 1981 : 122

Untuk garis beban diperoleh dengan persamaan

$$V_{CC} = I_C \cdot R_C + V_{CE} \dots \dots \dots (2-9)$$

Saat *cut off* $I_B = 0$, sehingga :

$$I_C = \beta \cdot I_B \dots \dots \dots (2-10)$$

$$I_{C(Sat)} = V_{CC} \text{ (pada titik A)}$$

Saat saturasi, maka $I_B = I_{B(Sat)}$, sehingga :

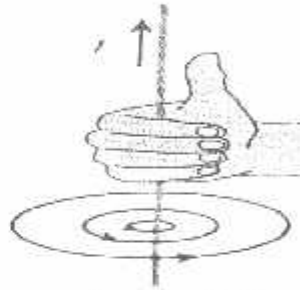
$$I_{C(Sat)} = \frac{V_{CC}}{R_{CC}} \text{ (titik B)} \dots \dots \dots (2-11)$$

Jika arus basis lebih besar atau sama dengan I_B saturasi, titik kerja Q berada dalam ujung atas dari garis beban, maka transiator seperti sebuah saklar tertutup.

Sebaliknya, jika arus basis nol, transistor bekerja dalam ujung bawah dari garis beban, dan transistor seperti sebagai saklar terbuka.

2.5. . Motor DC

Setiap arus yang mengalir melalui sebuah konduktor akan menimbulkan medan magnet. Arah medan magnet dapat ditentukan dengan kaidah tangan kanan. Ibu jari tangan menunjukkan arah aliran arus listrik sedangkan jari-jari yang lain menunjukkan arah medan magnet yang timbul, seperti yang ditunjukkan oleh gambar 2.14 berikut ini.



Gambar 2.14

Garis-Garis Medan Magnet disekitar Arus Listrik Pada Kawat Lurus

Sumber: Pengantar Tenaga Listrik, Ir. Hamzah Berahim

Kaidah tangan kanan untuk motor menunjukkan arah arus yang mengalir di dalam sebuah konduktor yang berada dalam medan magnet. Jari tengah menunjukkan arah arus yang mengalir pada konduktor, jari telunjuk menunjukkan arah medan magnet dan ibu jari menunjukkan arah gaya putar. Adapun besarnya gaya yang bekerja pada konduktor tersebut dapat dirumuskan dengan :

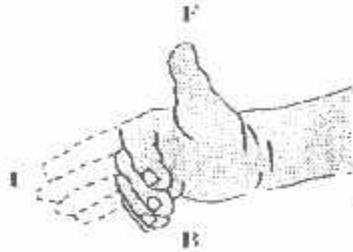
$$F = B.I.L \sin \theta \quad (\text{Newton})$$

Dimana : B = kerapatan fluks magnet (weber)

L = panjang konduktor (meter)

I = arus listrik (ampere)

$\sin \theta$ = sudut antara antara arus dengan garis-garis medan.



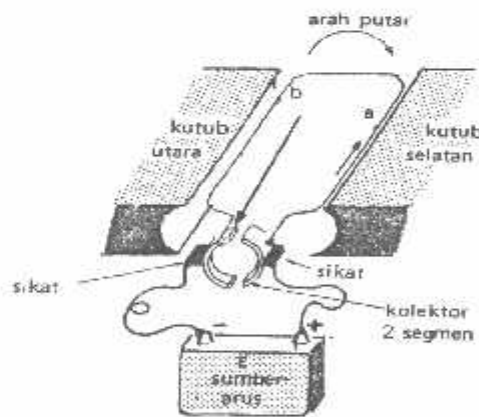
Gambar 2.15

Kaidah Tangan Kanan

Sumber: Pengantar Tenaga Listrik, Ir. Hamzah Berahim

2.5.1. Cara Kerja Motor DC

Adapun cara kerja motor dc dapat dilihat pada gambar dibawah ini:



Gambar 2.16

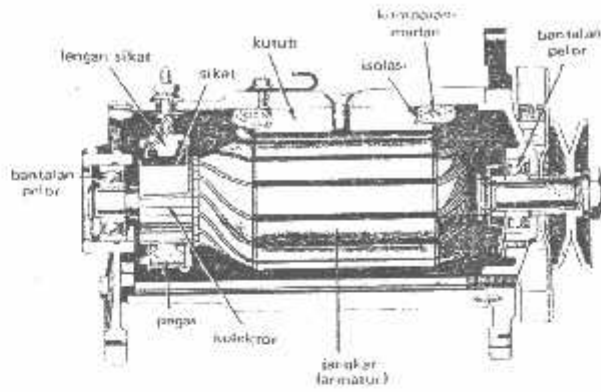
Cara Kerja Motor DC

Sumber: Pengantar Tenaga Listrik, Ir. Hamzah Berahim

Ada satu lilit kawat a – b berada di dalam medan magnet. Lilitan ini dapat berputar dengan bebas, lilitan ini bisasa disebut dengan jangkar (*armour*).

Pada jangkar dimasukkan arus yang berasal dari sumber (baterai) E. koneksi baterai dengan jangkar melalui sikat-sikat. Sikat-sikat ini terpasang pada sebuah cincin yang terbelah dua, yang disebut kolektir. Adapun tujuan dari kontruksi ini adalah agar lilitan kawat dapat berputar apabila ada arus listrik yang melewatinya.

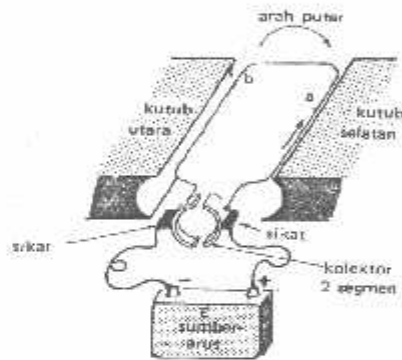
Pada kawat yang berada di kanan arus mengalir dari depan ke belakang . dalam kawat yang di kiri, arus mengalir dari belakang ke depan . kawat a dan b secara berganti-gantian berada di kiri dan kanan. Karena itu arah arus di a dan arah arus di b selalu membolak balik. Pembalikan arah arus itu terjadi pada saat lilitan kawat melintasi posisi vertikal. Disini kolektor berfungsi bagaikan penyearah mekanik. Flux magnet yang ditimbulkan magnet permanen disebut medan magnetnya motor. Dalam gambar arah fluk magnetik adalah dari kiri ke kanan. Adapun gaya yang bekerja pada penghantar b adalah ke atas, sementara gaya yang bekerja pada penghantar a adalah ke bawah . Gaya-gaya yang bekerja sama kuatnya, jadi ada kopel yang bekerja pada kawat sehingga lilitan pun dapat berputar. Setelah berputar 90° arah arus berbalik, pada saat itu penghantar a dan penghantar b bertukar tempat. Akibatnya arah gerak putaran tidak berubah.



Gambar 2.17

Sebuah Motor DC

2.5.2. Pengendalian Arah Putaran Motor DC



Gambar 2.18

Pengendalian Arah Putaran Motor DC

Sumber: Pengantar Tenaga Listrik, Ir. Hamzah Berahim

Dari gambar 2.18 di atas, agar arah putaran motor dc berubah, maka polaritas tegangan pada baterai harus dibalik.

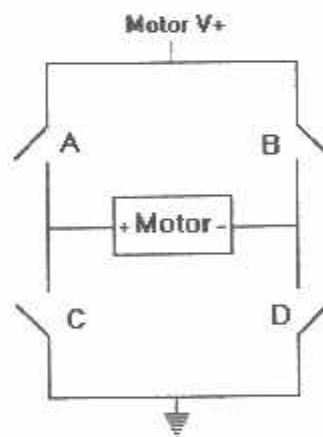
2.6. H – Bridge

H-Bridge merupakan suatu rangkaian yang fungsinya sama seperti saklar. H-Bridge terdiri dari beberapa susunan komponen yaitu transistor PNP dan NPN dan juga resistor. H-Bridge disini digunakan untuk mengatur arah putaran motor dc. Prinsip kerjanya sederhana seperti yang terlihat pada tabel berikut:

Tabel 2.5 Cara kerja rangkaian H-Bridge

A	B	C	D	OUTPUT
ON	OFF	OFF	ON	Motor putar kanan
OFF	ON	ON	OFF	Motor putar kiri
ON	ON	OFF	OFF	Tidak Boleh
OFF	OFF	ON	ON	Tidak Bolch

Sumber: Chuck McManis 2003

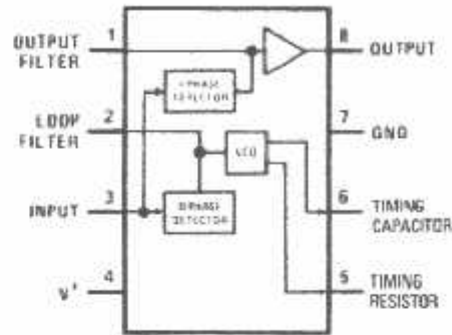


Gambar 2.19

Rangkaian H-Bridge

Sumber: Chuck McManis 2003

2.7. IC LM567



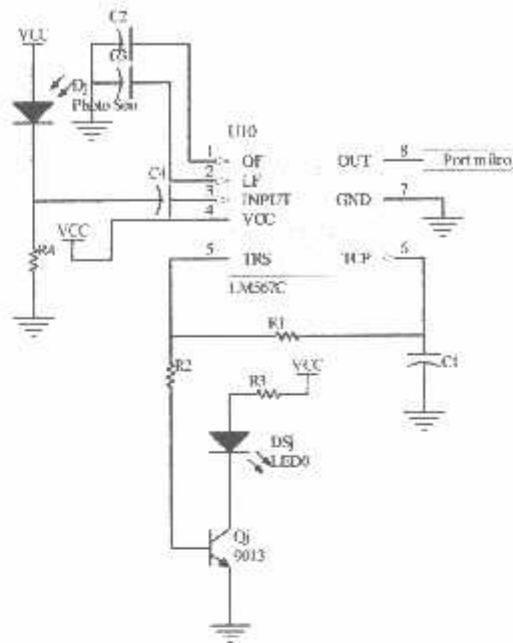
Gambar 2.20

Konfigurasi kaki-kaki LM567

Sumber: Datasheet LM567

IC LM 567 merupakan jenis PLL (Phase Locked Loop) dalam bentuk chip tunggal 8 pin, dimana salah satu kegunaannya adalah sebagai tone decoder (decoder nada). IC ini memiliki jangkauan frekuensi dari 0,001 Hz sampai dengan 500 KHz. Tegangan operasional memiliki jangkauan 5 V sampai dengan 9 V.

Sebagai tone decoder IC LM 567 mempunyai rangkaian driver infra merah seperti dibawah ini:



Gambar 2.21

Rangkaian infra merah

Fungsi masing-masing komponen eksternal pada rangkaian diatas adalah sebagai berikut:

R1, C1 :Untuk menentukan besarnya frekuensi kerja dari PLL (F_o) yang dinyatakan dengan

$$F_o = \frac{1}{1.1 * R1 * C1}$$

C2 : untuk menentukan bandwidth dari rangkaian decoder tersebut, dimana jangkauan antara 0-14% dari frekuensi kerja. Dan persamaannya adalah sebagai berikut:

$$BW = 1070 \sqrt{\frac{V_i}{f_c C_2}}$$

Dimana:

Bw: Lebar bidang frekuensi (%) terhadap f_0

V_i : Level sinyal input (Vrms)

C3: Sebagai penghalus sinyal output, bila C3 diperbesar akan memberikan suatu penundaan pada fungsi kerjanya saat sinyal diterima.

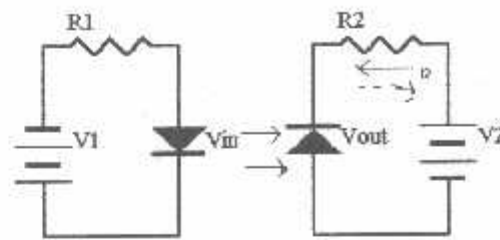
(*) Prinsip Kerja LM 567 adalah:

Membandingkan frekuensi sinyal input dengan frekuensi kerja dari PLL. itu sendiri. Bila memiliki frekuensi yang berlainan maka IC LM 567 akan berlogika 1 dan sebaliknya bila sinyal tadi memiliki frekuensi yang sama maka outputnya akan berlogika 0.

2.8. Optocoupler

Optocoupler merupakan gabungan dari kata *Opto* dan *coupler*. *Opto* berarti cahaya sedangkan *coupler* berarti alat yang menjembatani sebuah sistem dengan sistem lain. Dari sini terlihat jelas bahwa *Optocoupler* berarti sebuah komponen elektronik yang memanfaatkan energi cahaya dalam mengontrol sistem berikutnya.

Menurut Malvino (1984) menyatakan bahwa “ *optocoupler* (optoisolator atau isolator yang terdangeng optik) adalah rangkaian yang menggabungkan LED dan foto dioda dalam satu kemasan ”. LED disini berada pada masukan dari *optocoupler* dan foto dioda sebagai keluarannya, lihat Gambar 2.22



Gambar 2.22

Optocoupler

Sumber : Malvino , 1995

Pada Gambar 2.22 diatas V1 dan R1 menghasilkan arus melalui LED, arus ini pada LED berupa cahaya yang mengenai foto diode hal ini menyebabkan timbulnya arus balik I₂, sehingga dapat di cari V_{out} dari rangkaian ini:

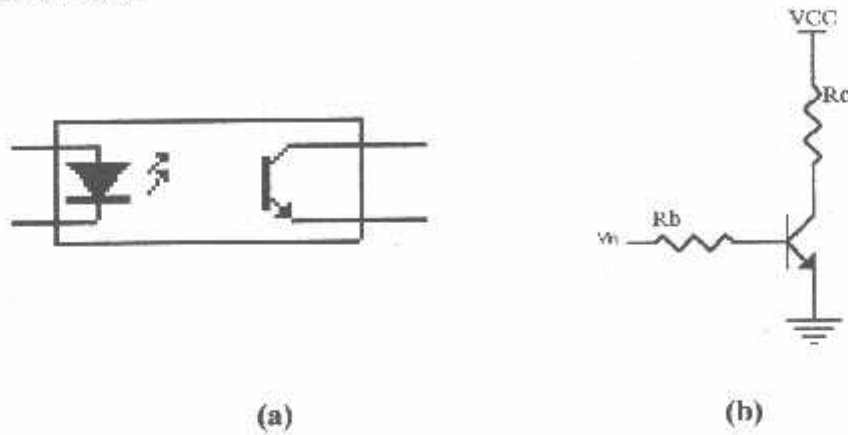
$$V_{out} - V_2 + I_2 R_2 = 0$$

$$V_{out} = V_2 - I_2 R_2$$

Sesuai dengan persamaan diatas V_{out} akan tergantung pada arus balik I₂, bila V₁ berubah maka jumlah cahaya dari LED juga berubah sehingga dapat dikatakan bahwa V_{out} akan berubah sejalan dengan perubahan V_{in}. Hubungan antara masukan dan keluaran hanya berupa seberkas cahaya sehingga kita dapat memperoleh resistansi penyekatan diantara ke dua rangkaian tadi.

Untuk keperluan proyek akhir ini, sistem penyekatan antara ke dua rangkaian tadi diambil sebagai dasar untuk membuat sebuah sistem *optocoupler* yang terpisah antara pemancar dan penerima dalam arti bukan dalam satu *chip* IC seperti ditunjukkan pada Gambar 2.22 di atas. Akan tetapi secara umum metode yang digunakan persis sama yaitu dengan memanfaatkan sebuah Led *Infra-red* dan sebuah *photo transistor* sebagai pengganti dari foto diode, sehingga dihasilkan pulsa akibat

terhalang atau tidaknya penerima dari pemancar yang dilewati oleh kartu. Gambar *optocoupler* yang terdiri dari LED *infra red* dan *photo transistor* dapat dilihat pada Gambar 2.23.



Gambar. 2.23

optocoupler

Sumber : Malvino , 1995

Prinsip dasar dari rangkaian pada Gambar 2.23 (a) diatas adalah sama dengan sebuah rangkaian transistor sebagai saklar pada Gambar 2.23 (b), dimana kaki basis dari *photo transistor* digantikan perannya oleh cahaya dari *infra-red*. Sehingga jika cahaya tadi terhalang transistor tidak akan terbias atau saklar dalam keadaan terbuka.

Berikut adalah keuntungan dari optocoupler:

1. Kecepatan operasi tinggi
2. Ukuranya kecil
3. Tahan terhadap getaran dan benturan
4. Tidak mempunyai bagian yang saling mengikat.

2.9. Buzzer

Buzzer mempunyai fungsi sebagai tanda atau isyarat dalam bentuk suara sehingga akan dengan cepat suatu peringatan akan dapat diketahui

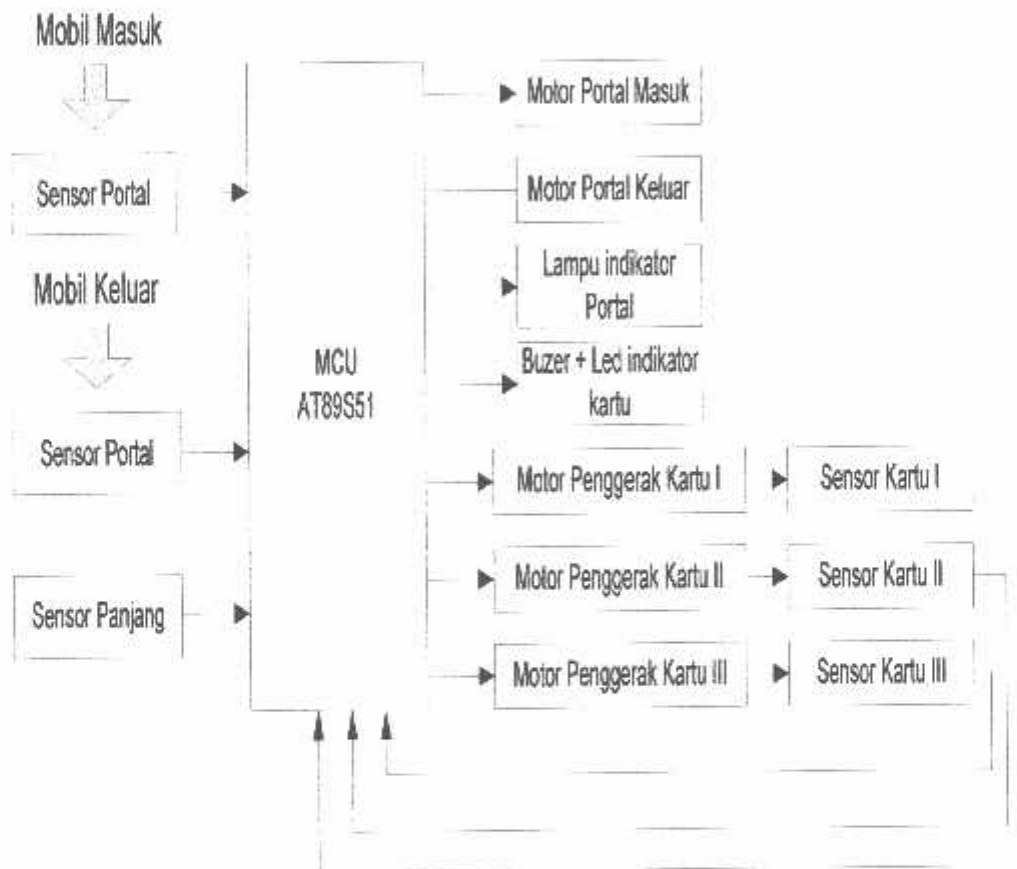
Buzzer yang dahulu dipakai adalah berupa koil yang apabila dialiri arus akan menarik pemukul logam dan menghasilkan bunyi. Tetapi saat ini buzzer sudah berupa kumparan yang menggunakan speaker kecil berupa dua lapisan elektroda yang biasa disebut piezoelektrik yang banyak dipakai untuk tweeter salon.

BAB III

METODOLOGI PERANCANGAN

3.1. Perencanaan Blok Diagram Alat

3.1.1. Blok Diagram Alat Pada Mikrokontroller I



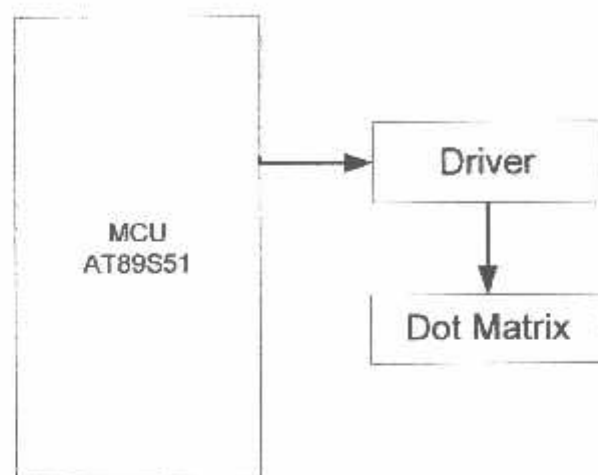
Gambar 3.1 Blok

Diagram Alat pada Mikrokontroller I

Fungsi dari blok-blok diatas adalah

1. Sensor Panjang terdiri dari sederetan infra merah yang berfungsi untuk mendeteksi panjang dari kendaraan yang akan memasuki jalan tol.
2. Sensor portal berfungsi untuk membuka dan menutup kembali portal jika ada kendaraan yang masuk dan keluar
3. Mikrokontroler AT89S51 berfungsi untuk mengolah data yang diperoleh dari sensor panjang kemudian membandingkannya dengan data yang telah tersimpan dalam memory.
4. Motor penggerak kartu berfungsi sebagai penggerak atau pendorong kartu yang tersimpan dalam kotak kartu. Dalam diagram blok diatas terdapat tiga motor penggerak kartu, itu sesuai dengan golongan kendaraan yang masuk jalan tol.
5. Sensor kartu berfungsi untuk mendeteksi keluarnya kartu dari kotak penyimpanan kartu yang kemudian sensor tersebut mengirimkan sinyal ke mikrokontroler. Sensor yang digunakan adalah sensor infra merah.
6. Lampu Indikator Portal berfungsi sebagai indikator terbuka dan tertutupnya portal
7. Buzer dan Led indikator kartu berfungsi untuk mendeteksi jika kartu didalam box kartu akan segera habis.

3.1.2. Blok Diagram Alat Pada Mikrokontroller II



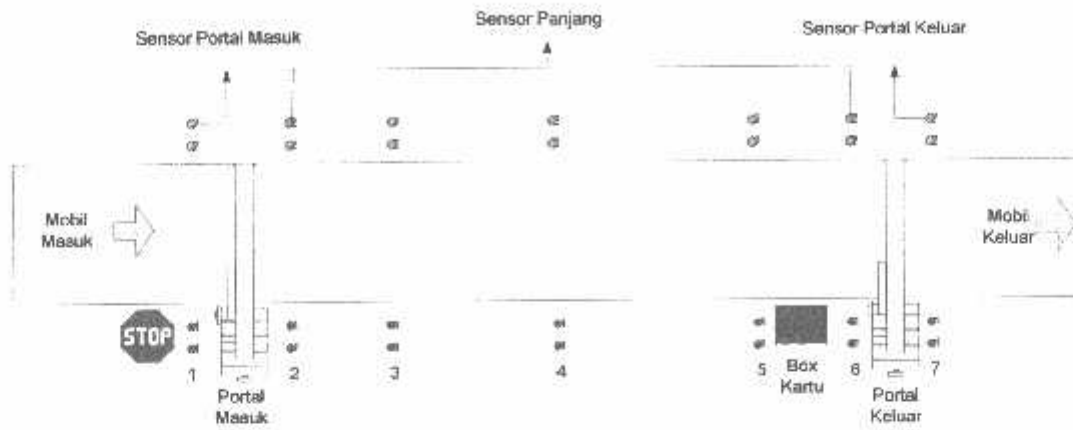
Gambar 3.2

Blok Diagram Alat pada Mikrokontroller II

Fungsi dari blok-blok diatas adalah

1. Mikrokontroller AT89S51 berfungsi sebagai pengontrol
2. Driver berfungsi untuk memicu tegangan output dari mikrokontroller agar dapat menjalankan dot matrix
3. Dot Matrix berfungsi untuk menampilkan pesan yang akan disampaikan kepada para pengendara yang akan memasuki jalan tol.

3.2 Perencanaan Penempatan Sensor Panjang Pada Jalan Tol

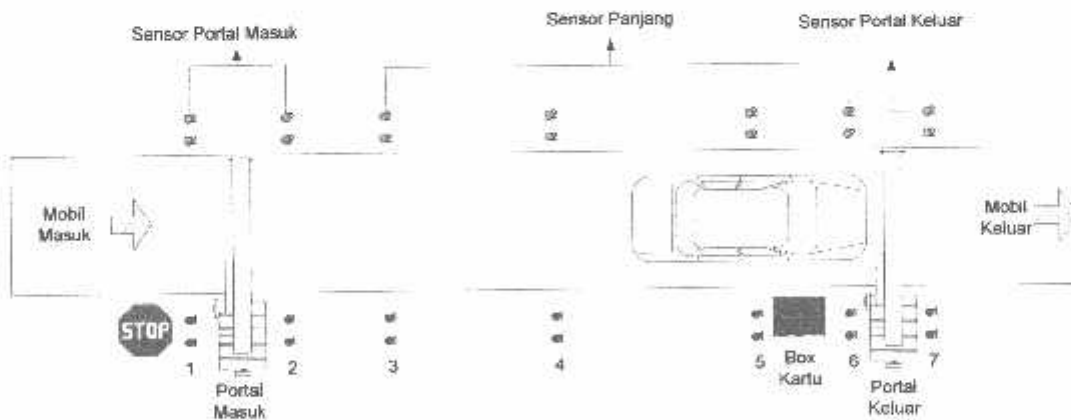


Gambar 3.3 Kondisi Pintu Masuk Tol Ketika Tidak Dilalui Kendaraan

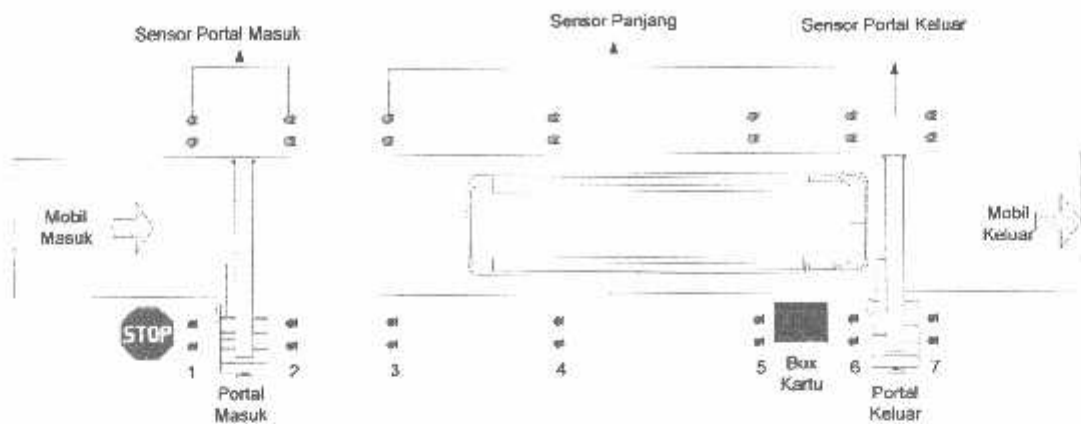
Seluruh sensor terdiri dari sederetan infra merah yang terpasang disamping kiri dan kanan badan jalan.

- = Transmitter
- = Receiver

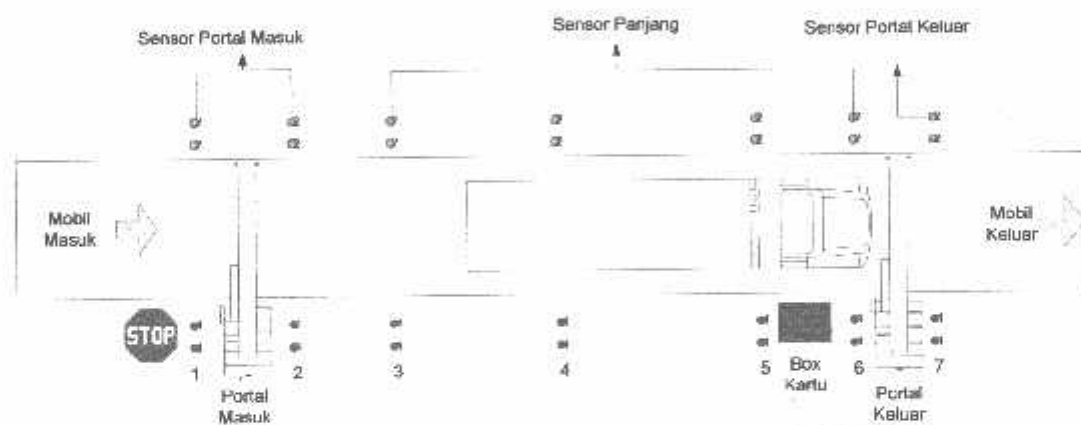
Adapun gambar beberapa kondisi ketika sistem ini dimasuki kendaraan:



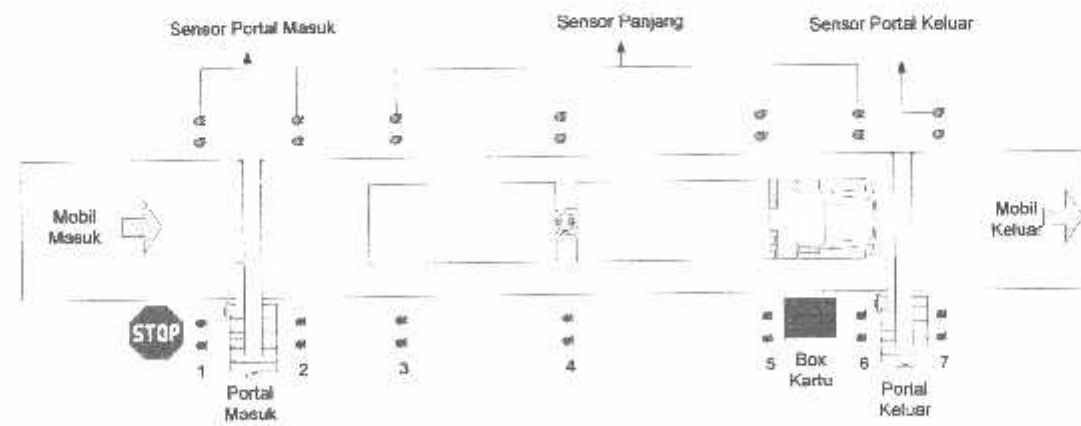
Gambar 3.4 Kondisi Pintu Masuk Tol Ketika Dilalui Mobil Pribadi



Gambar 3.5 Kondisi Pintu Masuk Tol Ketika Dilalui Bus



Gambar 3.6 Kondisi Pintu Masuk Tol Ketika Dilalui Truk

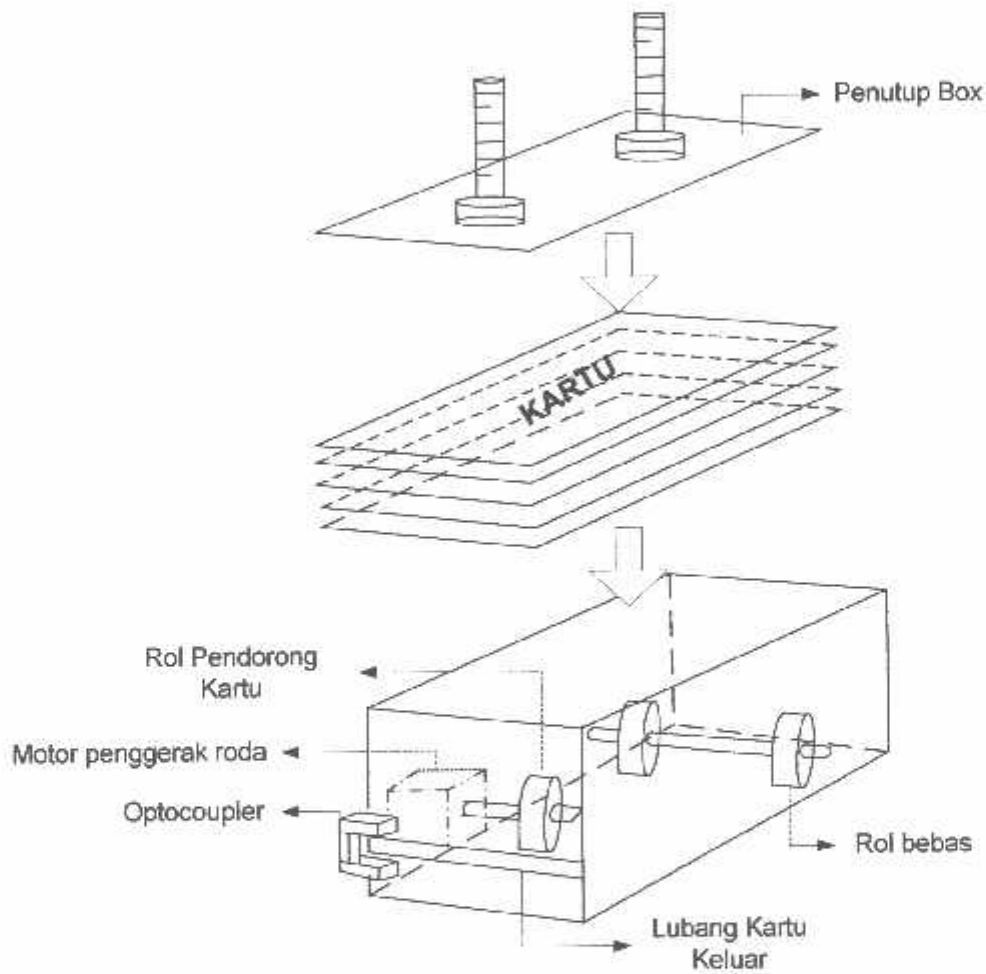


Gambar 3.7 Kondisi Pintu Masuk Tol Ketika Dilalui Truk Gandeng

3.3. Perencanaan Box Kartu

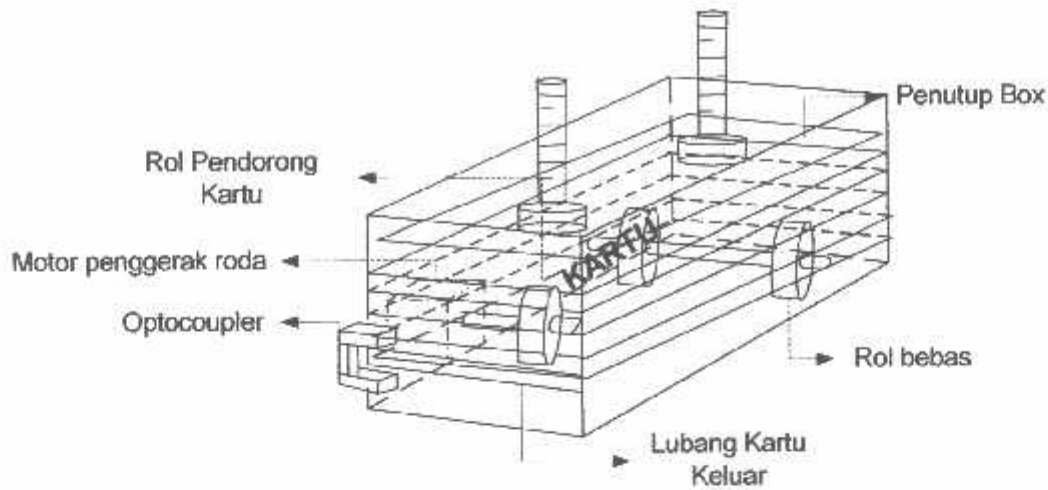
Dalam pembuatan pengontrol keluarnya kartu pada box kartu ini menggunakan penggerak berupa potensio motor yang terpasang dibawah tumpukan kartu.

Berikut adalah gambar perencanaan box kartu yang akan saya buat:



Gambar 3.8

Kondisi Box Kartu Ketika Belum Terisi Kartu



Gambar 3.9

Kondisi Box Ketika Telah Terisi Kartu

3.4. Mikrokontroller

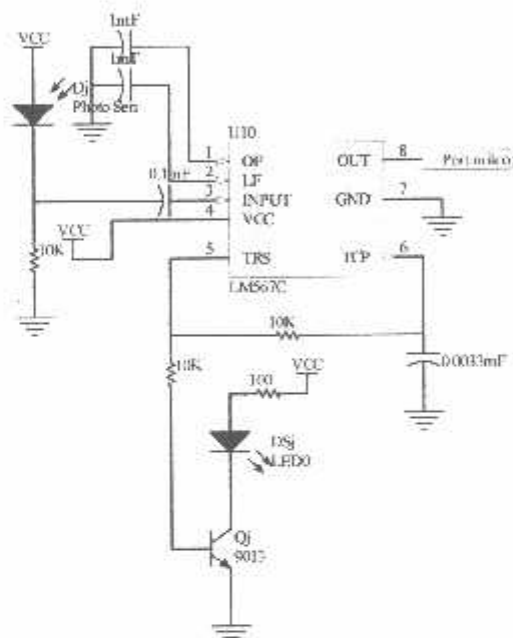
Pada perancangan dan pembuatan alat ini menggunakan dua buah mikrokontroller 8 bit buatan ATMEL yaitu 2 buah AT89S51. AT89S51 yang pertama digunakan untuk mengolah data dan mengontrol semua system pada jalan tol mulai dari membuka portal masuk menutup, menentukan golongan kendaraan, mengeluarkan kartu golongan hingga membuka portal keluar. AT89S51 yang kedua berfungsi untuk menampilkan pesan pada dot matrix.

Berikut ini adalah gambar rangkaian dari kedua mikrokontroller AT89S51:

2. Port 2, digunakan sebagai scan untuk dot matrix.
3. Port 1, digunakan sebagai saklar untuk menampilkan tulisan yang berbeda tergantung dari saklar yang akan diaktifkan.

3.5. Rangkaian Sensor

3.5.1 Rangkaian Sensor Infra merah



Gambar 3.12

Rangkaian Sensor Infra Red

Pada perancangan sensor disini, saya menggunakan infra merah dengan IC LM 567 sebagai drivernya. IC LM 567 merupakan IC tone decoder yang dapat menghasilkan frekuensi. Dari gambar rangkaian diatas frekuensi yang dihasilkan melalui media infra merah dapat diatur melalui resistor pada kaki nomor 5 dan kapasitor pada kaki nomor 6 dengan rumus:

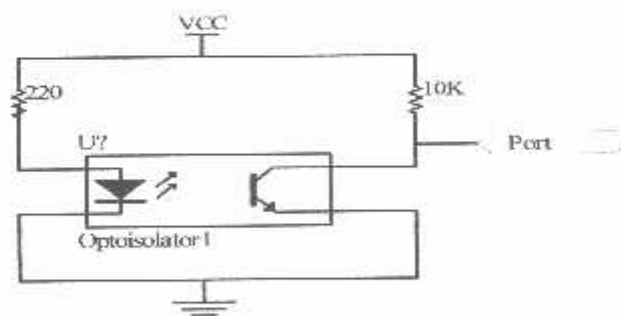
$$f_o = \frac{1}{1.1.R1.C1}$$

Disini saya memakai resistor 10KΩ dan kapasitor 0.0033μF sehingga menghasilkan frekuensi sebesar 27,54 KHz. Berikut perhitungan untuk mencari frekuensi sesuai dengan rumus dan nilai komponen yang saya gunakan:

$$\begin{aligned} f_o &= \frac{1}{1.1.R1.C1} \\ &= \frac{1}{1.1.10K\Omega.0.0033\mu F} \\ &= 27,54 \text{ KHz} \end{aligned}$$

Prinsip kerjanya sebagai berikut pada saat infra merah terhalangi oleh kendaraan maka keluarannya akan bernilai 0 V begitu sebaliknya jika infra merah tidak terhalangi maka keluarannya adalah 5 V (terhubung ke *ground*). Ini dikarenakan keluaran dari IC LM567 berupa *ground*. Dimana transisi *high* ke *low* dari sinyal ini adalah sebagai *interrupt* mikrokontroler untuk proses pencacahan.

3.5.2 Rangkaian Optocoupler



Gambar 3.13
Rangkaian Optocoupler

Optocoupler ini terpasang pada box kartu dimana optocoupler disini berfungsi untuk mendeteksi apakah kartu yang keluar sudah diambil atau belum, jika kartu sudah diambil maka portal keluar akan membuka.

Prinsip kerjanya sederhana yaitu pada saat kedua LED sinarnya tidak terhalang maka keluran dari sensor adalah 0 V (terhubung ke *ground*) sedangkan pada saat terhalang keluarannya 5 V, dimana transisi *high* ke *low* dari sinyal ini adalah sebagai *interrupt* mikrokontroler untuk proses pencacahan.

Analisis rangkaiannya adalah sebagai berikut :

Jika kita mengasumsikan tegangan bias *forward* Led IR sebesar 0,6V dan menginginkan arus sebesar 20 mA mengalir pada IR led maka :

$$\begin{aligned} R_{\text{led}} &= (V_{\text{cc}} - 0,6V) / I \\ &= (5 \text{ V} - 0,6) / 20 \text{ mA} \\ &= 4,4V / 20 \text{ mA} \\ &= 220\Omega \end{aligned}$$

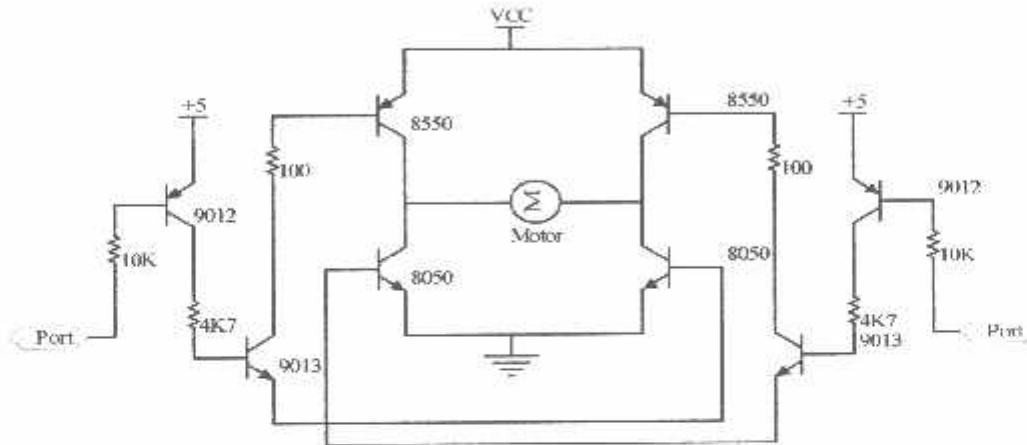
Jika kita mengasumsikan Photo transistor ideal sebagai saklar dan menginginkan arus sebesar 0,5 mA mengalir saat kondisi saturasi maka :

$$\begin{aligned} R_{\text{Photo transistor}} &= (V_{\text{cc}}) / I \\ &= 5V / 0,5 \text{ mA} \\ &= 10 \text{ K}\Omega \end{aligned}$$

3.6. Rangkaian Driver Motor DC

3.6.1. Rangkaian Driver Motor DC Pada Portal Masuk Dan Keluar

Rangkaian driver yang saya gunakan adalah jembatan H atau sering juga disebut dengan rangkaian H-Bridge. Rangkaian ini terdiri dari beberapa transistor yang dirangkai sedemikian rupa dimana transistor ini berfungsi sebagai saklar. Berikut adalah rangkaian H-Bridge untuk mengontrol arah putaran motor:



Gambar 3.14

Rangkaian Driver Motor Pada Portal Masuk Dan Keluar

Dari rangkaian diatas dapat kita peroleh nilai R_B yang sesuai dengan persamaan sebagai berikut :

- R_B pada transistor 9012

$$R_b = \frac{V_{cc} - V_{BE}}{I_B}$$

$$I_B = \frac{I_C}{h_{fe}}$$

Diketahui dari data sheet transistor 9012 besarnya $I_C = 50 \text{ mA}$, $h_{fe} = 120$, $V_{BE} = 0,7 \text{ Volt}$, sehingga :

$$I_B = \frac{50mA}{120} = 0,416mA$$

Maka R_B adalah :

$$R_B = \frac{5 - 0,7}{0,416mA}$$

$$= \frac{4,3}{0,416mA} = 10,33 \times 10^3 \Omega$$

Jadi dari hasil perhitungan diatas diperoleh nilai R_B sebesar $10,33 \times 10^3 \Omega$ atau disederhanakan menjadi $10 K\Omega$.

- R_B pada transistor 9013

$$R_B = \frac{V_{CC} - V_{BE}}{I_B}$$

$$I_B = \frac{I_C}{h_{fe}}$$

Diketahui dari data sheet transistor 9013 besarnya $I_C = 100 \text{ mA}$, $h_{fe} = 110$, $V_{BE} = 0,7 \text{ Volt}$, sehingga :

$$I_B = \frac{100mA}{110} = 0,909mA$$

Maka R_B adalah :

$$R_B = \frac{5 - 0,7}{0,909mA}$$

$$= \frac{4,3}{0,909mA} = 4K7 \Omega$$

Jadi dari hasil perhitungan diatas diperoleh nilai R_B sebesar $4K7 \Omega$.

- R_C pada transistor 9013

$$R_c = \frac{V_{cc} - V_{ce}(8550) - V_{ce}(9013) - V_{ce}(8050)}{I_c}$$

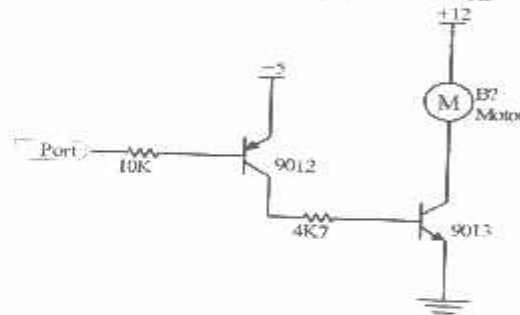
Diketahui dari data sheet transistor 8550 memiliki $V_{ce} = 0,5$ Volt. Pada transistor 9013 $I_c = 100\text{mA}$, $h_{fe} = 110$, $V_{ce} = 0,6$ Volt. Pada transistor 8050 memiliki $V_{ce} = 0,5$ Volt.

$$R_R = \frac{12 - 0,5 - 0,6 - 0,5}{100 \cdot 10^{-3}}$$

$$= 104\Omega \text{ atau } 100\Omega$$

Karena resistor 104Ω tidak ada dipasaran maka dapat diganti dengan resistor 100Ω

3.6.2. Rangkaian Driver Motor DC Pada Box Kartu



Gambar 3.15

Rangkaian Driver Motor Pada Box Kartu

- R_B pada transistor 9012

$$R_B = \frac{V_{BE} - V_{BE}}{I_B}$$

$$I_B = \frac{I_C}{h_{fe}}$$

Diketahui dari data sheet transistor 9012 besarnya $I_C = 50 \text{ mA}$, $h_{fe} = 120$, $V_{BE} = 0,7$ Volt, sehingga :

$$I_B = \frac{50mA}{120} = 0,416mA$$

Maka R_B adalah :

$$R_B = \frac{5 - 0,7}{0,416mA}$$

$$= \frac{4,3}{0,416mA} = 10,33 \times 10^3 \Omega$$

Jadi dari hasil perhitungan diatas diperoleh nilai R_B sebesar $10,33 \times 10^3 \Omega$ atau disederhanakan menjadi $10 K\Omega$.

- R_B pada transistor 9013

$$R_B = \frac{V_{EE} - V_{BE}}{I_B}$$

$$I_B = \frac{I_C}{h_{fe}}$$

Diketahui dari data sheet transistor 9013 besarnya $I_C = 100 \text{ mA}$, $h_{fe} = 110$, $V_{BE} = 0,7 \text{ Volt}$, sehingga :

$$I_B = \frac{100mA}{110} = 0,909mA$$

Maka R_B adalah :

$$R_B = \frac{5 - 0,7}{0,909mA}$$

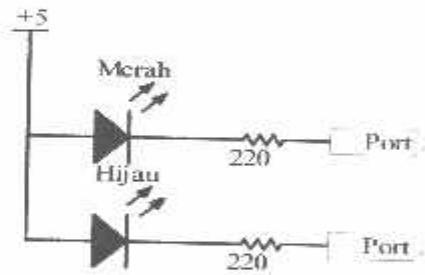
$$= \frac{4,3}{0,781mA} = 4K7 \Omega$$

Jadi dari hasil perhitungan diatas diperoleh nilai R_B sebesar $4K7\Omega$.

3.7. Rangkaian lampu Portal

Pada rangkaian ini terdapat dua lampu yang berwarna merah dan hijau yang terpasang pada portal di pintu masuk dan keluar. Adapun fungsi dari rangkaian ini adalah untuk memberikan tanda kepada pengendara tentang membuka dan menutupnya portal. Apabila lampu menyala merah maka portal masih dalam keadaan tertutup dan jika lampu menyala hijau maka pintu portal sudah terbuka. Hal ini dibutuhkan agar pengemudi dapat berhati-hati dan memperhitungkan kecepatan kendaraanya agar tidak menabrak portal. Adapun rangkaiannya dapat dilihat dibawah ini.

Bila mikrokontroller mengeluarkan logika 1 kita misalkan tegangan yang dihasilkan adalah 5 volt. Pada umumnya tegangan kerja dari led adalah 1,5-2 volt dan arusnya antara 5-20 mA, sehingga untuk mencari nilai resistansi yang digunakan adalah:



Gambar 3.16

Rangkaian Lampu Portal

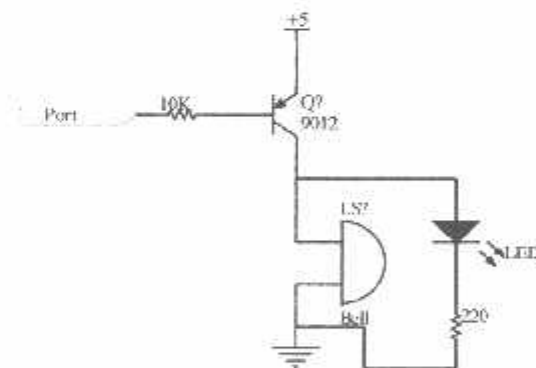
$$\begin{aligned} R &= \frac{V_{cc} - V_{inf}}{I_{inf}} \\ &= \frac{5 - 1,6}{15 \cdot 10^{-3}} \\ &= 226,6\Omega \end{aligned}$$

Karena nilai tahanan $226,6\Omega$ tidak ada dipasaran maka dapat diganti dengan nilai yang lebih dekat yaitu 220Ω .

3.8. Rangkaian Buzzer

Perancangan rangkaian driver ini untuk mengaktifkan sebuah buzzer, dimana jika buzzer berbunyi menandakan bahwa kartu dalam box kartu akan segera habis

Untuk mengaktifkan bunyi buzzer, mikrokontroller masih membutuhkan sebuah rangkaian driver. Dimana rangkaian ini untuk menguatkan arus keluaran mikrokontroller agar sesuai dengan kenutuhan buzzer saat berbunyi yaitu $5V/20mA$. Rangkaian driver disusun dari sebuah transistor silikon tipe 9012 dengan tegangan hambat $V_{BE} = 0,7$ dan $H_{fe} = 120$ kali. Untuk menentukan besar resistor basis, terlebih dahulu harus diketahui arus beban I_L dalam hal ini buzzer, yaitu sebesar $20mA$ dengan tegangan sumber $5V$, dimana arus beban sebanding dengan arus kolektor yaitu $I_L = I_c$.



Gambar 3.17

Rangkaian Buzzer

Dari rangkaian diatas dapat kita diperoleh nilai R_B yang sesuai dengan persamaan sebagai berikut :

$$R_B = \frac{V_{EK} - V_{BE}}{I_B}$$

$$I_B = \frac{I_C}{h_{fe}}$$

Diketahui dari data sheet transistor 9012 besarnya $I_C = 50 \text{ mA}$, $h_{fe} = 120$, $V_{BE} = 0,7 \text{ Volt}$, sehingga :

$$I_B = \frac{50 \text{ mA}}{120} = 0,416 \text{ mA}$$

Maka R_B adalah :

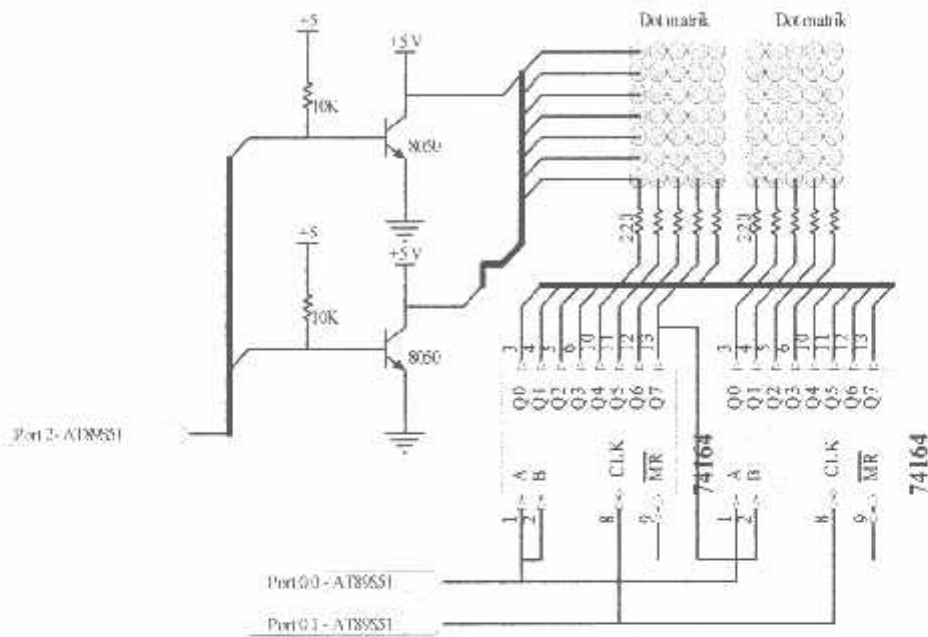
$$\begin{aligned} R_B &= \frac{5 - 0,7}{0,416 \text{ mA}} \\ &= \frac{4,3}{0,416 \text{ mA}} = 10,33 \times 10^3 \Omega \end{aligned}$$

Jadi dari hasil perhitungan diatas diperoleh nilai R_B sebesar $10,33 \times 10^3 \Omega$ atau disederhanakan menjadi $10 \text{ K}\Omega$.

3.9. Dot Matrik

Display LED dot matrik yang digunakan adalah dengan ukuran 5×7 sebanyak 10 buah. Pada setiap kaki katoda LED dihubungkan semua sehingga menjadi 7 common katoda. Sedangkan pada anoda LED dihubungkan dengan keluaran IC 74164 yang berfungsi sebagai scan kolom. Untuk 10 buah LED dot matrik

membentuk 50 titik kolom dan 7 titik baris, berikut adalah gambar dari rangkaian display dot matrik :



Gambar 3.18

Rangkaian Driver Dot matrik

Dari rangkaian diatas dapat kita diperoleh nilai R_b yang sesuai dengan persamaan sebagai berikut :

$$R_b = \frac{V_{EE} - V_{BE}}{I_B}$$

$$I_B = \frac{I_C}{h_{fe}}$$

Diketahui dari data sheet transistor 8050 besarnya $I_C = 80 \text{ mA}$, $h_{fe} = 190$, $V_{BE} = 0,66 \text{ Volt}$, sehingga :

$$I_b = \frac{80\text{mA}}{190} = 0,421\text{mA}$$

Maka R_B adalah :

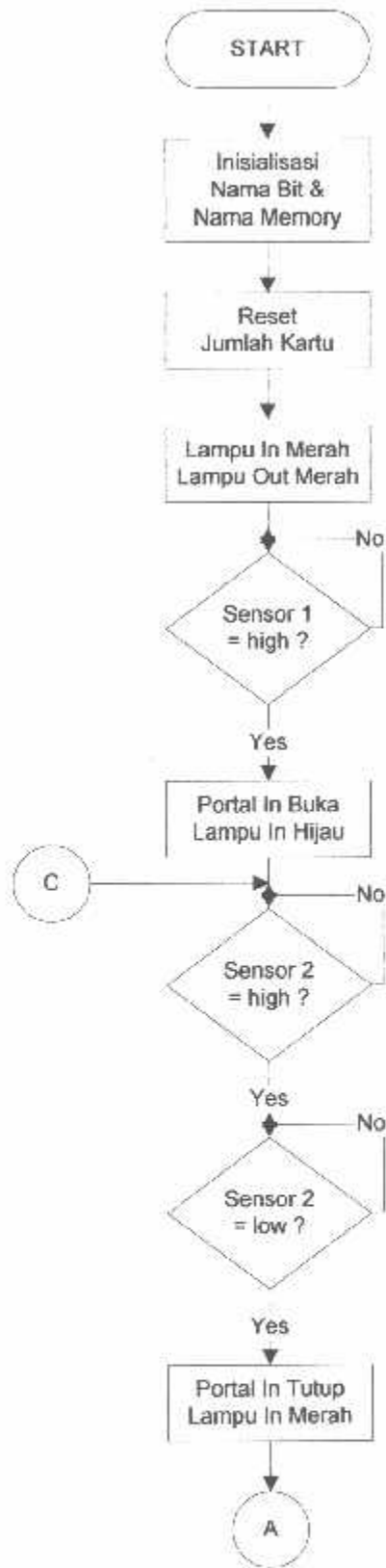
$$\begin{aligned} R_b &= \frac{5 - 0,66}{0,421\text{mA}} \\ &= \frac{4,34}{0,421\text{mA}} = 10,30 \times 10^3 \Omega \end{aligned}$$

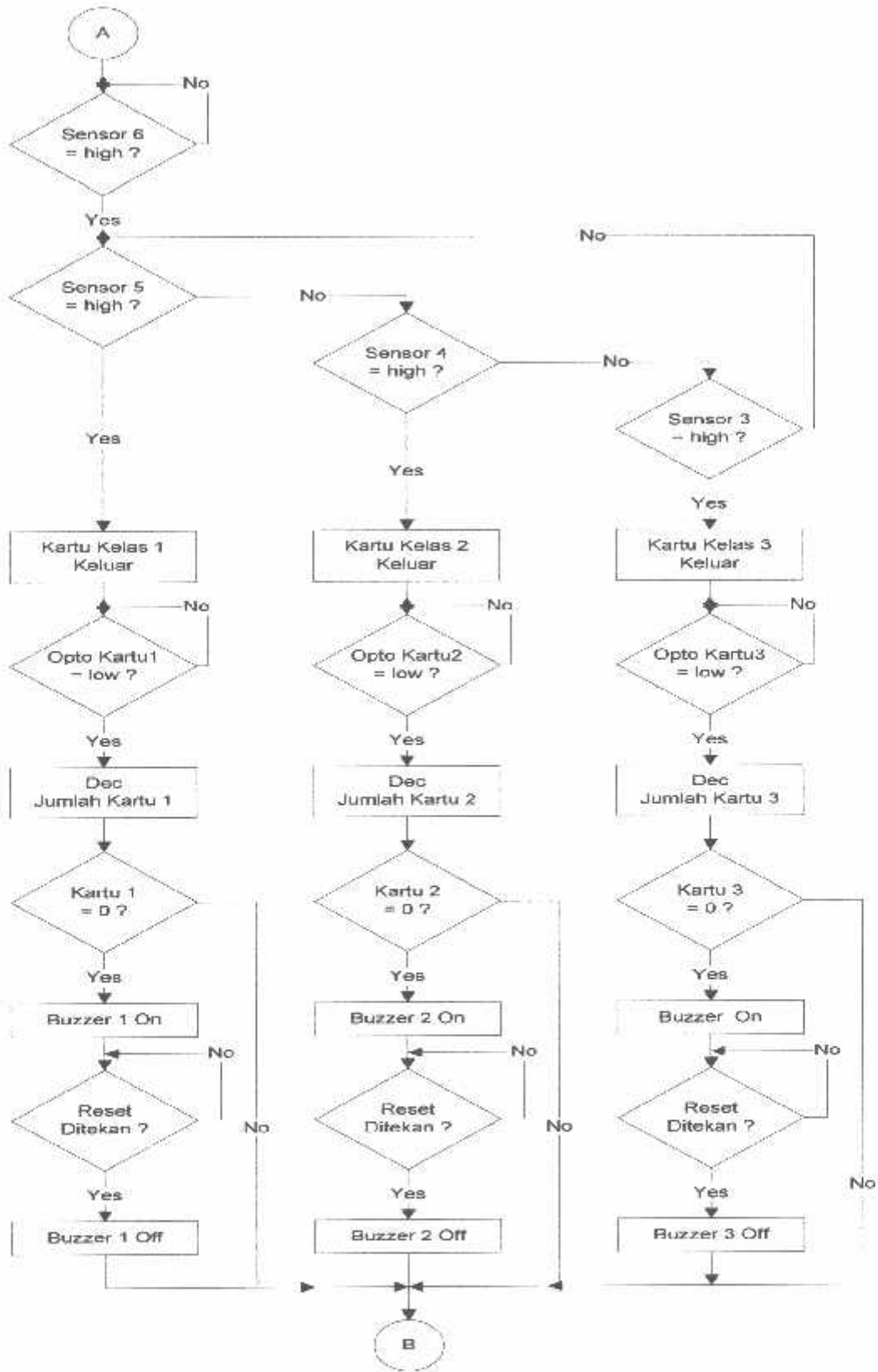
Jadi dari hasil perhitungan diatas diperoleh nilai R_B sebesar $10,33 \times 10^3 \Omega$ atau disederhanakan menjadi $10 \text{ K}\Omega$.

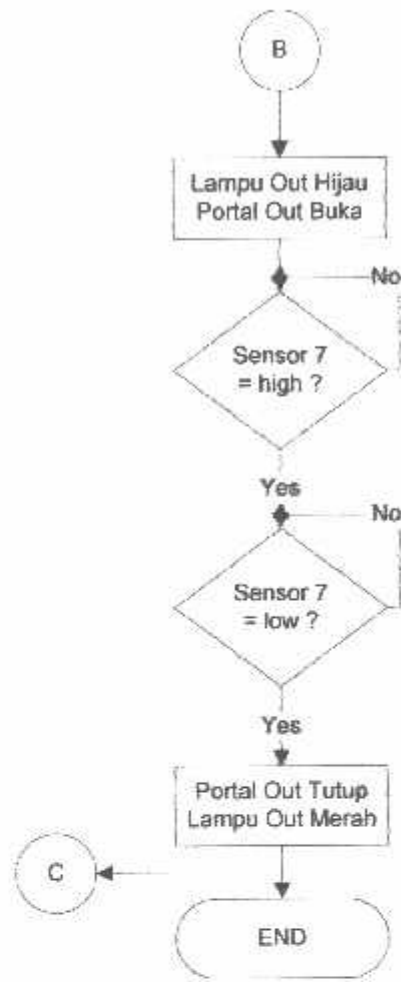
3.10. Perancangan perangkat lunak

3.10.1 Flow chart

Adapun cara kerja dari perangkat lunak (software) secara umum sebagai berikut:







BAB IV

PENGUJIAN ALAT

Pengujian alat ini dilakukan untuk mengetahui kinerja dari keseluruhan sistem rangkaian. Jadi pada tahap ini akan diketahui nilai-nilai serta parameter-parameter dari setiap bagian yang menyusun sistem secara keseluruhan. Maksud dan tujuan pengujian alat ini adalah untuk mengetahui apakah alat yang telah direncanakan dan dibuat dapat bekerja dengan baik.

Pengujian alat ini meliputi pengujian terhadap:

1. Pengujian sistem
2. Pengujian rangkaian driver motor DC pada portal
3. Pengujian rangkaian driver motor DC pada box kartu
4. Pengujian rangkaian LED
5. Pengujian rangkaian driver infra merah
6. Pengujian rangkaian driver optocoupler
7. Pengujian rangkaian driver buzzer
8. Pengujian dot matrix
9. Pengujian perangkat lunak

4.1. Pengujian Sistem

Pengujian ini dilakukan untuk mengetahui apakah sensor-sensor bekerja dengan baik dan untuk mendeteksi apakah kendaraan yang masuk termasuk golongan I, II atau III

Tabel 4.1 Hasil Percobaan Sensor Penggolongan Kendaraan dan Motor Box Kartu

No	Input	Sensor 6	Sensor 5	Sensor 4	Sensor 3	Motor	Ket.
1	Sedan	OFF	OFF	ON	ON	Motor 1	Sesuai
2	Bus	OFF	OFF	OFF	ON	Motor 2	Sesuai
3	Tronton	OFF	OFF	OFF	OFF	Motor 3	Sesuai
4	Sedan	OFF	OFF	ON	ON	Motor 1	Sesuai
5	Bus	OFF	OFF	OFF	ON	Motor 2	Sesuai
6	Tronton	OFF	OFF	OFF	OFF	Motor 3	Sesuai
7	Sedan	OFF	OFF	ON	ON	Motor 1	Sesuai
8	Bus	OFF	OFF	OFF	ON	Motor 2	Sesuai
9	Tronton	OFF	OFF	OFF	OFF	Motor 3	Sesuai
10	Sedan	OFF	OFF	ON	ON	Motor 1	Sesuai

Keterangan:

OFF: Sensor tidak aktif (Sensor tehalangi)

ON: Sensor Aktif (Sensor tidak terhalangi)

Dari data hasil percobaan sensor penggolongan kendaraan dan motor box kartu diatas diatas dapat diketahui keakuratan sensor sebagai berikut:

10 kali percobaan

10 kali berhasil

$$\begin{aligned} \text{Keakuratan sensor} &= \frac{10}{10} \times 100 \% \\ &= 100\% \end{aligned}$$

- Dilakukan pengukuran tegangan pada rangkaian pengujian driver motor DC

4. Hasil pengujian:

Hasil pengujian rangkain driver motor DC adalah sebagai berikut:

Tabel 4.2 Pengujian Rangkaian Driver Motor DC pada Portal

V1 (Volt)	V2 (Volt)	V3 (Volt)	V4 (Volt)	V5 (Volt)	V6 (Volt)	V7 (Volt)	V8 (Volt)	Kondisi Motor
0.06	4.36	5,60	1.13	4.38	-0.85	11.28	-2.64	Buka Portal
4.38	-0.85	11.28	-2.64	0.06	4.37	5,60	1.10	Tutup Portal

Besar tegangan output pada mikrokontroller dengan keluaran low dan high dapat dilihat pada gambar dibawah ini



(a)



(b)

Gambar 4.2

(a)Tegangan Output Mikrokontroller (Low), (b)Tegangan Outpun Mikrokontroller (high)

Tabel 4.3 Hasil Pengujian Arus Pada Transistor

Perhitungan			Pengukuran		
I _b (mA)	I _b (mA)	I _c (mA)	I _b (mA)	I _b (mA)	I _c (mA)
9012	9013	9013	9012	9013	9013
0,416	0,909	100	0,43	1	40

4.3. Pengujian Rangkaian Driver Motor Pada Box Kartu

1. Tujuan

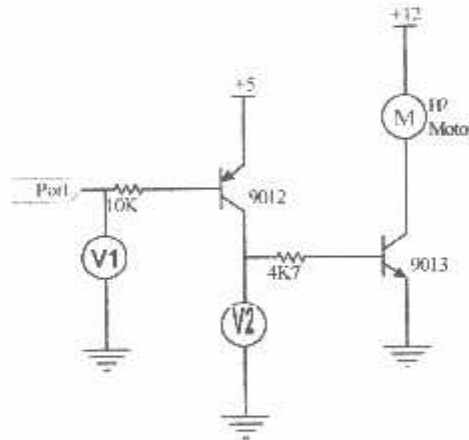
Mengetahui nilai tegangan pada rangkaian driver motor pada box kartu

2. Peralatan yang dibutuhkan:

- Power supply 5 volt DC dan 12 volt Dc
- Digital multimeter
- Rangkaian driver motor DC pada box kartu

3. Prosedur pengujian:

- Alat-alat dirangkai seperti ditunjukkan pada gambar 4.4



Gambar 4.3 Rangkaian Pengukuran Tegangan Pada Motor Box Kartu

- Rangkaian diberi catu daya 5 volt DC
- Motor DC diberi catu daya 12 volt DC

- Dilakukan pengukuran tegangan pada rangkaian pengujian driver motor DC

4. Hasil pengujian:

Hasil pengujian driver motor DC pada box kartu adalah sebagai berikut:

Tabel 4.4 Hasil Pengujian Rangkaian Driver Motor pada Box Kartu

V1 (Volt)	V2 (Volt)	Kondisi
4.17	-1.73	Motor diam
0.01	4.32	Motor berputar

Besar tegangan output pada mikrokontroller dengan keluaran low dan high dapat dilihat pada gambar dibawah ini.



(a)



(b)

Gambar 4.4.

(a)Tegangan Output Mikrokontroller (low), (b)Tegangan Output Mikrokontroller (high)

Tabel 4.5 Hasil Pengujian Arus

Perhitungan		Pengukuran	
Ib(mA) 9012	Ib(mA) 9013	Ib(mA) 9012	Ib(mA) 9013
0,416	0,909	0,43	1

4.4. Pengujian Rangkaian Lampu Indikator Portal

1. Tujuan

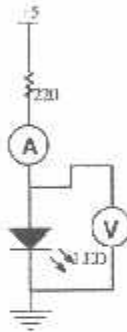
Mengetahui nilai tegangan dan arus dari rangkaian led indikator portal

2. Peralatan yang dibutuhkan:

- Power supply 5 volt DC dan 12 volt Dc
- Digital multimeter
- Rangkaian led indikator portal

3. Prosedur pengujian:

- Alat-alat dirangkai seperti gambar dibawah ini:



Gambar 4.5. Rangkaian Pengukuran Tegangan Dan Arus Pada Lampu Indikator Portal

- Rangkaian diberi catu daya 5 volt DC
- Dilakukan pengukuran arus tegangan pada rangkaian pengujian LED

4. Hasil pengujian

Hasil pengujian rangkaian led indikator portal adalah sebagai berikut:

Tabel 4.6. Hasil Perbandingan Antara Pengukuran dan Perhitungan Rangkaian

LED

I_{LED} (mA)	V_{OUT} (Volt)	Kondisi
17,5	1,97	Led menyala

Besar tegangan LED pada saat pengukuran dapat dilihat pada gambar dibawah ini



Gambar 4.6. Tampilan Tegangan Output Pada Rangkaian Lampu Portal

4.5. Pengujian Rangkaian Infra Merah

1. Tujuan:

- Mengetahui nilai tegangan dan frekwensi dari driver infra merah
- Mengetahui cara mikrokontroler menghasilkan pulsa elektronik.

2. Peralatan yang digunakan

- Power supply 5 volt
- Digital multimeter
- Oscilloscope
- Rangkaian driver infra merah

3. Prosedur pengujian

Besar tegangan infra merah pada saat pengukuran dapat dilihat pada gambar dibawah ini

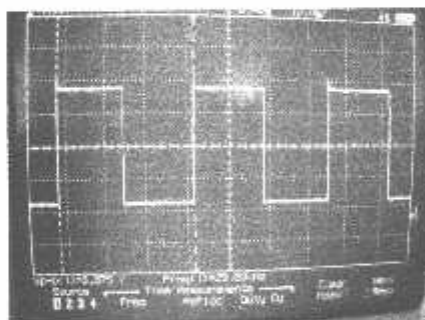


Gambar 4.8 Tampilan Tegangan Output Pada Rangkaian Infra Merah Pada Saat Tidak Terhalangi

5. Hasil pengujian frekwensi

- Frekwensi yang dipancarkan : 29, 63 KHz
- Bentuk gelombang : Persegi

Dari hasil pengujian tegangan didapat V_{p-p} sebesar 3, 875 Volt dengan frekwensi 29,54KHz



Gambar 4.9 Bentuk Gelombang Dari Rangkaian Driver Infra Merah

Tabel 4.8 Hasil Pengujian Frekuensi

Perhitungan	Pengukuran
Frekuensi(KHz)	Frekwensi(KHz)
27, 54	29,63

$$\begin{aligned} \text{Error} &= \frac{\text{Pengukuran} - \text{Perhitungan}}{\text{Pengukuran}} \\ &= \frac{29,63 - 27,54}{29,63} \\ &= 0,07\% \end{aligned}$$

4.6. Pengujian Rangkaian Driver Optocoupler

1. Tujuan

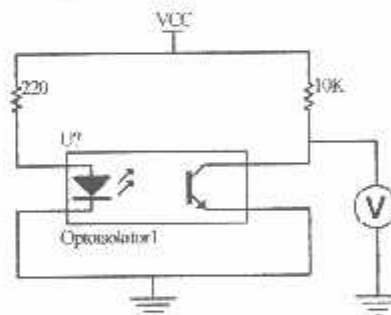
Mengetahui nilai tegangan optocoupler pada rangkaian driver optocoupler

2. Peralatan yang dibutuhkan:

- Power supply 5 volt DC dan 12 volt Dc
- Digital multimeter
- Rangkaian driver optocoupler

3. Prosedur pengujian

- Alat-alat dirangkai seperti ditunjukkan pada gambar 4.6



Gambar 4.10. Rangkaian Pengukuran Tegangan Pada Optocoupler

- Rangkaian diberi catu daya 5 volt DC

- Dilakukan pengukuran tegangan output pada rangkaian pengujian driver optocoupler
- Dilakukan pengukuran tegangan pada rangkaian pengujian driver optocoupler pada saat optocoupler terkena cahaya dan tidak terkena cahaya

4. Hasil pengujian

Hasil pengujian rangkaian driver optocoupler

Tabel 4.9 Hasil Pengujian Rangkaian Driver Optocoupler

Kondisi Optocoupler	V_{out} (Volt)
Tidak terhalang	0
Terhalang	4.32

Besar tegangan out pada saat optocoupler terkena cahaya dapat dilihat pada gambar dibawah ini



Gambar 4.11. Tampilan Tegangan Output pada Saat Optocoupler Tidak Terhalang

4.7 Pengujian Rangkaian Driver Buzzer

1. Tujuan:

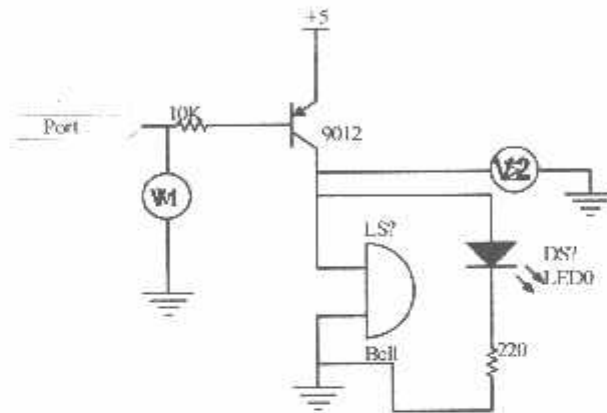
Mengetahui nilai tegangan output saat buzzer berbunyi dan led indikator menyala

2. Peralatan yang dibutuhkan

- Power supply 5 volt DC dan 12 volt Dc
- Digital multimeter
- Rangkaian driver buzzer

3. Prosedur pengujian

- Alat-alat dirangkai seperti ditunjukkan pada gambar 4.7



Gambar 4.12 Rangkaian Pengukuran Tegangan Pada Driver Buzzer

- Rangkaian diberi catu daya 5 volt DC
- Dilakukan pengukuran tegangan output pada rangkaian pengujian driver buzzer

4. Hasil pengujian

Hasil pengujian rangkaian driver buzzer

Tabel 4.10. Hasil Pengujian Rangkaian Driver Buzzer

V1 (Volt)	V2 (Volt)	Kondisi
4.17	-1.73	Buzzer diam
0.01	4.63	Buzzer berbunyi

Besar tegangan output pada saat buzzer berbunyi dapat dilihat pada gambar dibawah ini



Gambar 4.13. Tampilan Tegangan Output Pada Saat Buzzer Berbunyi

Tabel 4.11 Hasil Pengujian Arus

Perhitungan	Pengukuran
Ib(mA) 9012	Ib(mA) 9012
0,416	0,43

$$\begin{aligned} \text{Error} &= \frac{\text{Pengukuran} - \text{Perhitungan}}{\text{Pengukuran}} \\ &= \frac{0,43 - 0,416}{0,43} \\ &= 0,032 \% \end{aligned}$$

4.8. Pengujian Dot Matrix

1. Tujuan:

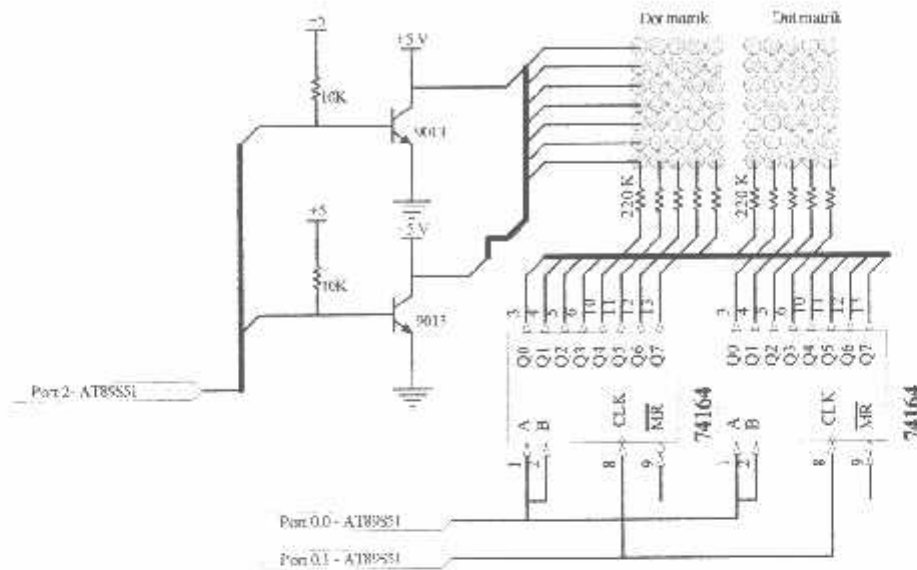
Mengetahui tampilan dot matrix sesuai dengan perintah yang ditulis software

2. Peralatan yang dibutuhkan

- Power supply 5 volt DC
- Rangkaian dot matrix

3. Prosedur pengujian

- Alat-alat dirangkai seperti ditunjukkan pada gambar 4.9



Gambar 4.14. Rangkaian Pengujian Dot Matrix

- Rangkaian diberi catu daya 5 volt DC
- Dilakukan pemberian software untuk menampilkan karakter yang akan ditampilkan pada dot matrix

4. Hasil pengujian

Berikut adalah potongan program untuk menampilkan tulisan "Selamat Datang Di Gerbang Tol Porong" pada dot matrix

```
org 0h
;
DtAB   Bit P0.0
Clock  Bit P0.1
Snsr   Bit P1.7
Cnt0   Equ 40h
Tstd   Equ 41h
Tjln   Equ 42h
Dots   Equ 43h
Jbrs   Equ 44h
Dly0   Equ 50h
Dly1   Equ 51h
Dly2   Equ 52h
;
```

```

init:   clr     Snsr
;
cek0:   mov     R0,PI
        cjne   R0,#07Eh,cek1
        mov     DPR,#porong
        mov     Jbrs,#255
        lcall  t1sj1n
        lcall  delay1
cek1:   ljmp   cek0
;
Porong: DB 000h,000h,000h,000h,000h,000h,000h,000h,000h,000h
        DB 000h,000h,000h,000h,000h,000h,000h,000h,000h,000h
        DB 000h,000h,000h,000h,000h,000h,000h,000h,000h,000h
        DB 000h,000h,000h,000h,000h,000h,000h,000h,000h,000h
        DB 064h,092h,092h,092h,04Ch,000h,01Ch,02Ah,02Ah,02Ah
        DB 018h,000h,000h,082h,0FEh,002h,000h,000h,004h,02Ah
        DB 02Ah,02Ah,01Eh,000h,03Eh,020h,018h,020h,01Eh,000h
        DB 004h,02Ah,02Ah,02Ah,01Eh,000h,020h,0FCh,022h,002h
        DB 004h,000h,000h,000h,000h,000h,000h,0FEh,082h,082h,044h
        DB 038h,000h,004h,02Ah,02Ah,02Ah,01Eh,000h,020h,0FCh
        DB 022h,002h,004h,000h,004h,02Ah,02Ah,02Ah,01Eh,000h
        DB 03Eh,010h,020h,020h,01Eh,000h,010h,02Ah,02Ah,02Ah
        DB 03Ch,000h,000h,000h,000h,000h,0FEh,082h,082h,044h
        DB 038h,000h,000h,022h,0BEh,002h,000h,000h,000h,000h
        DB 000h,07Ch,082h,092h,092h,05Ch,000h,01Ch,02Ah,02Ah
        DB 02Ah,018h,000h,03Eh,010h,020h,020h,010h,000h,0FEh
        DB 012h,022h,022h,01Ch,000h,004h,02Ah,02Ah,02Ah,01Eh
        DB 000h,03Eh,010h,020h,020h,01Eh,000h,010h,02Ah,02Ah
        DB 02Ah,03Ch,000h,000h,000h,000h,000h,080h,080h,0FEh
        DB 000h,080h,000h,01Ch,022h,022h,022h,01Ch,000h,000h
        DB 082h,0FEh,002h,000h,000h,000h,000h,000h,000h,000h
        DB 0FEh,090h,090h,090h,060h,000h,01Ch,022h,022h,022h
        DB 01Ch,000h,03Eh,010h,020h,020h,010h,000h,01Ch,022h
        DB 022h,022h,01Ch,000h,03Eh,010h,020h,020h,01Eh,000h
        DB 010h,02Ah,02Ah,02Ah,03Ch,000h,000h,000h,000h,000h
        DB 000h,000h,00Ch,00Ch,00Ch,00Ch,000h,000h,000h,000h
        DB 000h,000h,00Ch,00Ch,00Ch,00Ch,000h,000h,000h,000h
        DB 000h,000h,00Ch,00Ch,00Ch,00Ch,000h,000h,000h,000h
        DB 000h,000h,00Ch,00Ch,00Ch,00Ch,000h,000h,000h,000h
        DB 000h,000h,000h,000h,000h,000h,000h,000h,000h,000h
;
        end

```

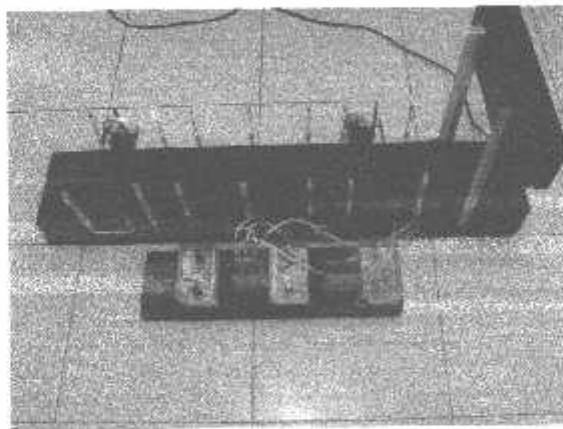
4.9. Pengujian Perangkat Lunak

4.9.1. Pengujian Program Assembly

Pengujian program assembly ini dilakukan pada saat mengkompilasi program sumber assembly, yang merupakan kumpulan baris-baris perintah dan telah disimpan

dengan extension .ASM. Program ini dapat ditulis menggunakan software text editor seperti notepad atau editor DOS. Pada bagian proses assembly, program .ASM akan dikompile menjadi 2 bagian yaitu listing assembly *.LST dan program obyek*.hex yang berisikan kode-kode yang hanya dikenali mikrokontroller. Program inilah yang akan didownloadkan ke mikrokontroller.

4.10 Foto Alat



Gambar 4.15. Foto Alat Tampak Atas



Gambar 4.16. Foto Alat Ketika Dimasuki Truck

BAB V PENUTUP

5.1. Kesimpulan

Penyusunan laporan skripsi ini bertujuan untuk mempelajari kemampuan mikrokontroler AT89S51 yang dapat bekerja secara otomatis sebagai 'Sistem Otomatisasi Penentuan Golongan Kendaraan Pada Pintu Masuk Jalan Tol'. Dari pembuatan alat / skripsi ini dapat di simpulkan bahwa :

1. Spesifikasi Alat:

- a. Nama alat: Sistem Otomatisasi Penentuan Golongan Kendaraan Pada Pintu Masuk Jalan Tol
- b. Fungsi alat: untuk memberikan kenyamanan dan kemudahan bagi pengendara yang akan melewati jalan tol dan untuk mempermudah kerja operator
- c. Sensor yang digunakan adalah sensor infra merah dimana disini terdapat 14 sensor infra merah yang terpasang di kanan dan kiri jalan, sensor optocoupler yang berfungsi untuk mendeteksi keluarnya kartu pada box kartu dan untuk membuka portal keluar disini terdapat 1 optocoupler pada tiap box kartu.
- d. Motor yang digunakan yaitu potensio motor dimana pada sistem ini terdapat 5 potensio motor, 2 motor untuk portal dan 3 motor terdapat pada box kartu yang berfungsi untuk mendorong kartu keluar.
- e. Buzzer dan led indikator kartu digunakan sebagai tanda bahwa kartu pada box kartu akan segera habis.
- f. Dot matrik digunakan untuk memberikan pesan kepada pengendara tentang nama jalan tol tersebut.

g. Dimensi sistem atau alat:

- Panjang alat : 90 cm
- Lebar alat : 15 cm
- Tinggi alat : 30 cm

2. Hasil Pengujian

- a. Sistem pengontrol dalam perancangan ini yang menggunakan mikrokontroler AT89S51 sebagai pengendali utama dan pengolah data dari inputan sensor telah bekerja dengan baik. Terbukti dari hasil pengujian alat setelah dimasuki beberapa kendaraan dengan keakuratan sensor yaitu 100%
- b. Untuk menegndalikan arah putaran motor portal digunakan driver motor yaitu rangkaian H-Bridge. Dimana jika port 2.5 pada mikrokontroler diberi logic 0 maka portal masuk akan terbuka, jikan port 2.4 diberi logic 0 portal masuk akan tertutup, jika port 2.7 diberi logic 0 maka portal keluar akan terbuka dan jika port 2.6 diberi logic 0 maka portal keluar akan tertutup.
- c. Driver motor pada box kartu berfungsi untuk memicu tegangan output pada mikrokontroler untuk memutar motor guna mengeluarkan kartu. Dimana jika port 0.5 pada mikrokontroler diberi logic 0 maka motor untuk golongan kartu I akan berputar, jika port 0.6 diberi logic 0 maka motor untuk golongan kartu II akan berputar dan jika port 0.7 diberi logic 0 maka motor untuk golongan kartu III akan berputar.
- d. Driver infra merah yaitu IC LM567 yang menghasilkan frekuensi 27,54KHz mampu mendeteksi dengan baik. Dengan output 4,32 V

pada saat tidak terhalangi dan 0 V pada saat terhalang. Output dari IC LM567 ini digunakan sebagai input mikrokontroller untuk membuka dan menutup portal dan mendeteksi panjang kendaraan.

- e. Untuk mengetahui apakah ada kartu yang akan segera habis pada box kartu digunakan alarm dan juga led indikator sebagai pemberitahuan. Mikrokontroller akan mengatur kerja dari seluruh sistem dan akan memberikan logic pada driver dan mengaktifkan alarm
- f. Output sensor *optocoupler* untuk mendeteksi apakah kartu yang keluar sudah diambil atau belum, jika kartu sudah diambil maka portal keluar akan terbuka output dari driver optocoupler pada saat tidak terhalangi adalah 0 V dan pada saat terhalang 4,32 V.
- g. Driver Display dot matrik untuk menampilkan pesan kepada pengendara yang akan memasuki pintu masuk jalan tol. Terdapat saklar rotari untuk menampilkan tulisan yang berbeda. Terdapat 4 kondisi, kondisi pertama untuk menampilkan tulisan "Rizal Prakoso 02.17.005", kondisi kedua menampilkan tulisan "Selamat Datang Di Gerbang Tol Gempol", kondisi ketiga untuk menampilkan tulisan "Selamat Datang Di Gerbang Tol Waru", kondisi keempat menampilkan tulisan "Selamat datang Di Gerbang Tol Porong".

3. Keunggulan Alat

- a. Semua sistem pada alat ini diatur secara otomatis, mulai dari membuka portal masuk, menutupnya kemabali, lalu mendeteksi panjang kendaraan untuk mengetahui golongan kendaraan tersebut,

kemudian mengeluarkan kartu golongan dan membuka portal keluar hingga menutupnya kembali, semua dilakukan secara otomatis.

- b. Ketika buzzer berbunyi sebagai tanda bahwa kartu pada box kartu akan segera habis, operator harus segera mematikan buzzer dan mengisi kartu golongan pada box kartu yang akan segera habis tersebut. Jadi dengan sistem ini operator tidak perlu lagi berulang kali memberikan kartu golongan kendaraan kesetiap pengendara yang akan memasuki jalan tol tersebut.

5.2. Saran

Dalam pembuatan skripsi ini masih banyak terdapat beberapa kekurangan sehingga untuk mencapai hasil yang lebih sempurna maka dapat diberikan saran sebagai berikut:

- a. Sistem ini dapat dikembangkan lagi contohnya dengan menambahkan beberapa sensor untuk membuka dan menutupnya portal serta untuk mendeteksi panjang kendaraan. Penambahan sensor ini akan lebih memaksimalkan pendeteksian dan pengukuran panjang kendaraan.
- b. Alat ini bisa lebih dikembangkan lagi dengan menambahkan LCD untuk menampilkan jenis golongan kendaraan serta output suara.
- c. Jarak Tx dan Rx sebaiknya sedekat mungkin sesuai kebutuhan dan posisinya sensor harus ditempatkan pada posisi yang tepat agar lebih baik lagi dalam mendeteksi kendaraan yang masuk dan keluar serta dalam pengukuran panjang kendaraan.

DAFTAR PUSTAKA

- *Data sheet AT 89S51* <http://www.atmel.com>
 - Setiawan Sultan, *Mudah dan Menyenangkan Belajar Mikrokontroler*, Penerbit Andi
 - Setiawan Rachmad, *Mikrokontroler MCS-51*, Penerbit Graha Ilmu
 - *Datasheet IC LM567* <http://www.national.com>
 - *Datasheet Phototransistor* <http://www.fairchildsemi.com>
 - *H-Bridges Teory and Practice by McManis Chuck Desember 2003*
 - *Datasheet IC 74LS164* <http://www.fairchildsemi.com>
-

LAURENCE



LEMBAR BIMBINGAN SKRIPSI

Nama Mahasiswa : Rizal Prakoso
NIM : 02.17.005
Jurusan : Teknik Elektro S1
Konsentrasi : Teknik Elektronika
Judul Skripsi : Perancangan dan Pembuatan Sistem
Otomatisasi Penentuan Golongan
Kendaraan Pada Pintu Masuk Jalan Tol
Masa Penulisan Skripsi : 27 Juli 2006 s/d 27 Januari 2007
Dievaluasi Dengan Nilai : 90 (Sembilan Puluh)

Mengetahui,

Ketua Jurusan Teknik Elektro S1

Ir. F. Yudi L. Praptono, M.T.
NIP. 1039500274

Malang, Maret 2007

Dosen Pembimbing

Joseph Dedy Irawan, S.T., MT.
NIP. 132315178



LEMBAR PERBAIKAN SKRIPSI

Nama Mahasiswa : Rizal Prakoso
NIM : 02.17.005
Jurusan : Teknik Elektro S-1
Konsentrasi : Teknik Elektronika
Hari / Tanggal Ujian Skripsi : Jum'at / 16 Maret 2007

No	Materi Perbaikan	Paraf
1.	Skema Rangkaian Sistem	
2.	Kesimpulan	

Telah Diperiksa / Disetujui :

Dosen Penguji II

DR. Cahyo Chrysdian, Msc.
NIP. 1030400412

Mengetahui,

Dosen pembimbing

Joseph Dedy Irawan, ST, MT.
NIP. 132315178



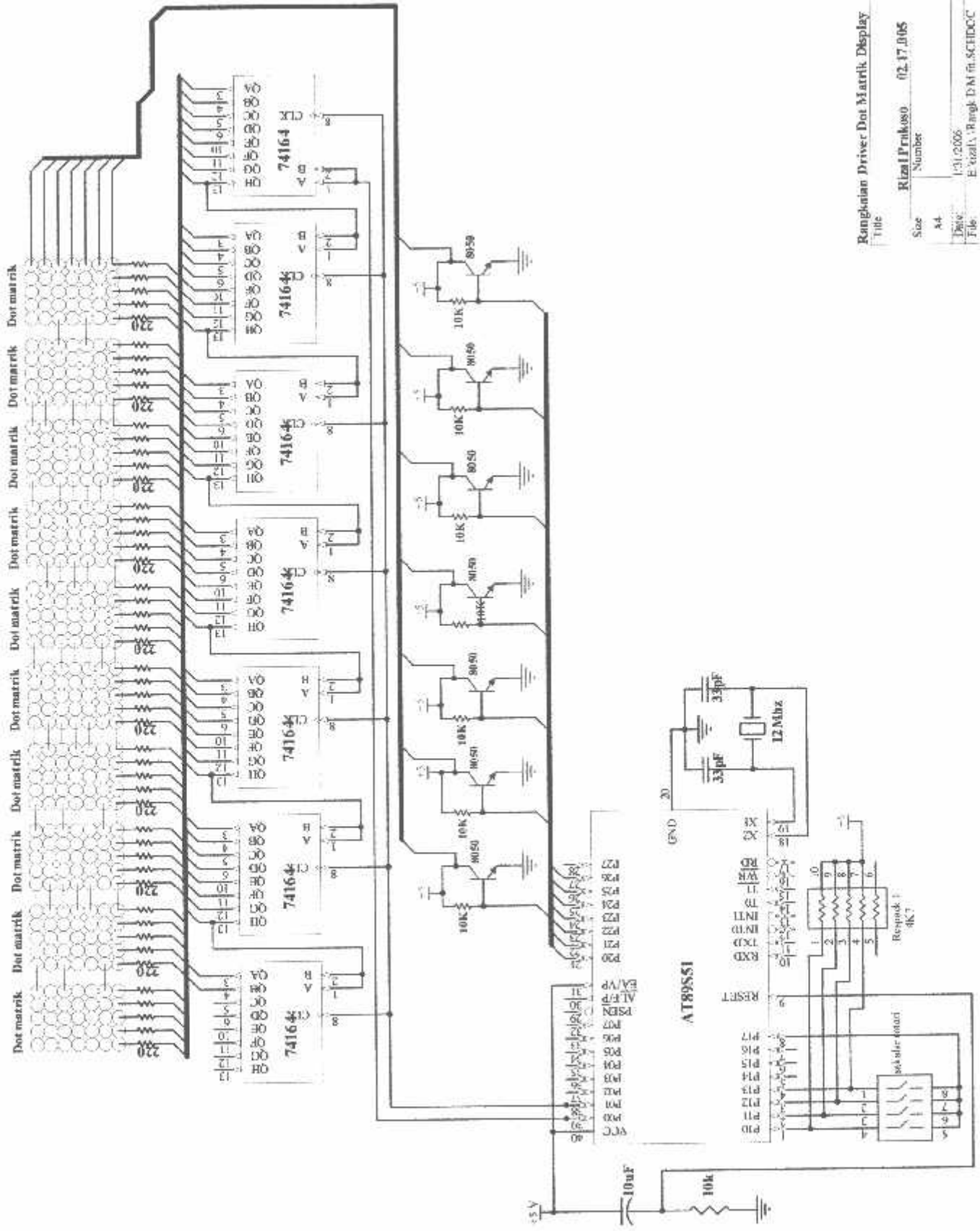
FORMULIR BIMBINGAN SKRIPSI

Nama : RIZAL PRAKOSO
NIM : 02 17 005
Masa Bimbingan : 27 Juli 2006 - 27 Januari 2007
Judul Skripsi : PERANCANGAN DAN PEMBUATAN SISTEM
OTOMATISASI PENENTUAN GOLONGAN KENDARAAN
PADA PINTU MASUK JALAN TOL

No	Tanggal	Uraian	Paraf Pembimbing
1	11/2 '06	Rev BAB I : Latar belakang, rumusan masalah, & batasan masalah	
2			
3		Rev BAB II : Referensi Sumber.	
4	18/12 '06	Acc Bab I & II	
5	06/01 '07	Acc Bab III	
6	13/01 '07	Rev Bab IV - Hilang kesalahan/error.	
7	27/01 '07	Acc Bab IV & V & Daftar Isi	
8	10/02 '07	Acc Seminar Hasil	
9	20/2 '07	Au KOMPRE	
10			

Malang, 26.2.2007
Dosen Pembimbing

Joseph Dedy Irawan, ST, MT
NIP : 132 315178



Rangkaian Driver Dot Matrik Display
 Title
 Rizal Prukoso 02.17.005
 Number
 Revision
 Size
 A4
 Date
 13.12.2006
 File
 E:\rizal\Prangk DM fm SCHEDOC
 Sheet of
 Drawn By
 Kunal Prakoso

```
=====;  
; program sistem penentuan golongan kendaraan pada pintu masuk jalan tol ;  
=====;
```

```
org      0h  
  
Opk1    Bit P0.0      ; opto kartu 1  
Opk2    Bit P0.1      ; opto kartu 2  
Opk3    Bit P0.2      ; opto kartu 3  
Buz1    Bit P0.3      ; buzzer 1  
Buz2    Bit P0.4      ; buzzer 2  
Mtk1    Bit P0.5      ; motor kartu 1  
Mtk2    Bit P0.6      ; motor kartu 2  
Mtk3    Bit P0.7      ; motor kartu 3  
Lmet    Bit P2.0      ; lampu merah out  
Lhot    Bit P2.1      ; lampu hijau out  
Lmin    Bit P2.2      ; lampu merah in  
Lhin    Bit P2.3      ; lampu hijau in  
Pint    Bit P2.4      ; portal in tutup  
Pinb    Bit P2.5      ; portal in buka  
Pott    Bit P2.6      ; portal out tutup  
Potb    Bit P2.7      ; portal out buka  
Sn1b    Bit P1.0      ; sensor 1 bawah  
Sn1a    Bit P1.1      ; sensor 1 atas  
Sn2b    Bit P1.2      ; sensor 2 bawah  
Sn2a    Bit P1.3      ; sensor 2 atas  
Sn3b    Bit P1.4      ; sensor 3 bawah  
Sn3a    Bit P1.5      ; sensor 3 atas  
Sn4b    Bit P1.6      ; sensor 4 bawah  
Sn4a    Bit P1.7      ; sensor 4 atas  
Sn5b    Bit P3.0      ; sensor 5 bawah  
Sn5a    Bit P3.1      ; sensor 5 atas  
Sn6b    Bit P3.2      ; sensor 6 bawah  
Sn6a    Bit P3.3      ; sensor 6 atas  
Sn7b    Bit P3.4      ; sensor 7 bawah  
Sn7a    Bit P3.5      ; sensor 7 atas  
Rsbz    Bit P3.6      ; reset buzzer  
Buz3    Bit P3.7      ; buzzer 3  
Sts1    Equ 30h      ; status sensor 1  
Sts2    Equ 31h      ; status sensor 2  
Sts3    Equ 32h      ; status sensor 3  
Sts4    Equ 33h      ; status sensor 4  
Sts5    Equ 34h      ; status sensor 5  
Sts6    Equ 35h      ; status sensor 6  
Sts7    Equ 36h      ; status sensor 7  
Ctk1    Equ 37h      ; counter kartu 1  
Ctk2    Equ 38h      ; counter kartu 2  
Ctk3    Equ 39h      ; counter kartu 3  
Dly0    Equ 40h      ; delay 0  
Dly1    Equ 41h      ; delay 1  
Dly2    Equ 42h      ; delay 2
```

```
=====;  
; program utama ;  
=====;
```

```
init:   acall   delays      ; panggil delays  
        mov     Ctk1,#4     ; isi Ctk1 dengan #4
```

```

mov     Ctk2,#4           ; isi Ctk2 dengan #4
mov     Ctk3,#4           ; isi Ctk3 dengan #4
;
cek00:  acall  lpinmr      ; lampu in merah
        acall  lpotmr      ; lampu out merah
        acall  rststs      ; reset status sensor
        acall  snsr1       ; baca sensor 1
        cjne  A,#1,cek00   ; cek status sensor
        acall  lpinhj      ; lampu in hijau
        acall  lptmr       ; lampu out merah
        acall  ptinbk      ; buka portal in
;
cek01:  acall  rststs      ; reset status sensor
        acall  snsr2       ; baca sensor 2
        cjne  A,#1,cek01   ; cek status sensor
        acall  delays      ; panggil delays
cek02:  acall  lpinmr      ; panggil lampu in merah
        acall  rststs      ; reset status sensor
        acall  snsr2       ; baca sensor 2
        cjne  A,#0,cek02   ; cek status sensor
        acall  ptintt      ; tutup portal in
;
cek03:  acall  rststs      ; \
        acall  snsr6       ; | cek sensor 6
        cjne  A,#1,cek03   ; /
        acall  delays      ; panggil delays
        acall  delays      ; panggil delays
;
cek04:  acall  rststs      ; \
        acall  snsr3       ; | jika sensor 3 terhalang
        cjne  A,#1,cek05   ; | maka kartu kelas 3 keluar
        sjmp  cek07        ; /
cek05:  acall  rststs      ; \
        acall  snsr4       ; | jika sensor 4 terhalang
        cjne  A,#1,cek06   ; | maka kartu kelas 2 keluar
        sjmp  cek08        ; /
cek06:  acall  rststs      ; \
        acall  snsr5       ; | jika sensor 5 terhalang
        cjne  A,#1,cek04   ; | maka kartu kelas 1 keluar
        jmp   cek09        ; /
;
cek07:  acall  otkr3       ; panggil motor kartu3
tgkr3:  jb     Opk3,tgkr3   ; jika opk3=1 maka lompat ke tgkr3
        acall  ptonbk      ; panggil portal out buka
        acall  lpothj      ; panggil lampu out hijau
        dec   Ctk3         ; decremen Ctk3
        mov   A,Ctk3       ; isi A dengan Ctk3
        cjne  A,#0,ck07   ; bandingkan A dengan #0 jika tidak sama
                        ; lompat ke ck07
;
tgrs3:  clr     Buz3       ; \
        acall  delays      ; |
        setb   Buz3       ; |
        acall  delays      ; |
        clr     Buz3       ; |
        acall  delays      ; |
        setb   Buz3       ; |
        acall  delays      ; |

```

```

clr      Buz3          ;
acall   delays        ;
setb    Buz3          ;
acall   delays        ;
acall   delays        ; bunyi buzze 3
acall   delays        ;
acall   delays        ;
acall   delays        ;
clr     Buz3          ;
acall   delays        ;
setb    Buz3          ;
acall   delays        ;
;
jb      Rsbz,tgrs3    ; jika Rsbz=1 maka lompat ke tgrs3
mov     Ctk3,#4       ; isi Ctk dengan #4
jmp     cek0E         ; lompat ke cek0E
cek07:  jmp     cek0A   ; lompat ke cek 0A
;
cek08:  acall   otkrt2 ; panggil motor kartu2
tqkr2:  jb      Opk2,tqkr2 ; jika opk2=1 lompat ke tqrs2
        acall   ptotbk  ; panggil portal out buka
        acall   lpothj  ; panggil lampu out hijau
        dec     Ctk2    ; decremen Ctk2
        mov     A,Ctk2  ; isi A dengan Ctk2
        cjne   A,#0,ck08 ; bandingkan A dengan #0 jika tidak sama
                        ; lompat ke ck08
tqrs2:  clr     Buz2    ;
        acall   delays  ;
        setb   Buz2    ;
        acall   delays  ;
        clr    Buz2    ;
        acall   delays  ;
        setb   Buz2    ;
        acall   delays  ;
        acall   delays  ;
        acall   delays  ; bunyi buzzer 2
        acall   delays  ;
        acall   delays  ;
        clr    Buz2    ;
        acall   delays  ;
        setb   Buz2    ;
        acall   delays  ;
        acall   delays  ;
        acall   delays  ;

```

```

    acall delays ; |
    acall delays ;/
    jb Rsbz,tgrs2 ; jika Rsbz=1 maka lompat ke tgrs2
    mov Ctk2,#4 ; isi counter kartu dengan #4
    sjmp cek0B ; lompat ke cek 0B
ck08: sjmp cek0A ; lompat ke cek 0A
;
ck09: acall otkrt1 ; panggil opto krtu 1
tgkrl: jb Opkl,tgkrl ; jika opkl = 1 maka lompat ke tgkr 1
    acall ptotbk ; panggil ptotbk
    acall lpothj ; panggil lpothj
    dec Ctk1 ; dec jumlah kartu
    mov A,Ctk1 ; isikan A dengan ctk1
    cjne A,#0,ck09 ; bandingkan A dengan #0 jika tidak sama
        lompat ke ck09
;
tgrs1: clr Buz1 ; \
    acall delays ; |
    setb Buz1 ; |
    acall delays ; |
    clr Buz1 ; |
    acall delays ; | bunyi buzzer 1
    acall delays ; |
    acall delays ;/
    jb Rsbz,tgrs1 ; jika Rsbz=1 maka lompat ke tgrs1
    mov Ctk1,#4 ; isi counter kartu dengan #4
    sjmp cek0B ; lompat ke cek 0B
ck09: sjmp cek0A ; lompat ke cek 0A
;
cek0A: acall rststs ; reset status sensor
    acall snsr7 ; baca sensor 7
    cjne A,#1,cek0A ; cek status sensor
    acall delays ; panggil delays
cek0B: acall rststs ; reset status sensor
    acall snsr7 ; baca sensor 7
    cjne A,#0,cek0B ; cek status sensor
    acall ptotbt ; tutup portal out
    acall delays ; panggil delays
    ljmp cek00 ; lompat ke cek00
;
;-----;
; cek sensor ;
;-----;
snr1: jnb Ssla,snsla ; cek jika snsla=0 lompat ke snsla
    mov Stsl,#1 ; isikan stsl dengan #1

```

```

sns1a: jnb     Sn1b,sns1b      ; cek jika sn1b=0 lompat ke sns1b
      mov     Sts1,#1         ; isikan sts1 dengan #1
sns1b: mov     A,Sts1         ; isikan A dengan sts1
      ret
;
snsr2: jnb     Sn2a,sns2a      ; cek jika sn2a=0 lompat ke sns2a
      mov     Sts2,#1         ; isikan sts2 dengan #1
sns2a: jnb     Sn2b,sns2b      ; cek jika sn2b=0 lompat ke sns2b
      mov     Sts2,#1         ; isikan Sts2 dengan #1
sns2b: mov     A,Sts2         ; isikan A dengan Sts2
      ret
;
snsr3: jnb     Sn3a,sns3a      ; cek jika sn3a=0 lompat ke sns3a
      mov     Sts3,#1         ; isikan Sts3 dengan #1
sns3a: jnb     Sn3b,sns3b      ; cek jika Sn3b=0 lompat ke sns3b
      mov     Sts3,#1         ; isikan Sts3 dengan #1
sns3b: mov     A,Sts3         ; isikan A dengan Sts3
      ret
;
snsr4: jnb     Sn4a,sns4a      ; cek jika sn4a=0 lompat ke sns4a
      mov     Sts4,#1         ; isikan Sts4 dengan #1
sns4a: jnb     Sn4b,sns4b      ; cek jika Sn4b=0 lompat ke sns4b
      mov     Sts4,#1         ; isikan Sts4 dengan #1
sns4b: mov     A,Sts4         ; isikan A dengan Sts4
      ret                    ; kembali
;
snsr5: jnb     Sn5a,sns5a      ; cek jika Sn5a=0 lompat ke sns5a
      mov     Sts5,#1         ; isikan Sts5 dengan #1
sns5a: jnb     Sn5b,sns5b      ; cek jika Sn5b=0 lompat ke sns5b
      mov     Sts5,#1         ; isikan Sts5 dengan #1
sns5b: mov     A,Sts5         ; isikan A dengan Sts5
      ret                    ; kembali
;
snsr6: jnb     Sn6a,sns6a      ; cek jika Sn6a=0 lompat ke sns6a
      mov     Sts6,#1         ; isikan Sts6 dengan #1
sns6a: jnb     Sn6b,sns6b      ; cek jika Sn6b=0 lompat ke sns6b
      mov     Sts6,#1         ; isikan Sts6 dengan #1
sns6b: mov     A,Sts6         ; isikan A dengan Sts6
      ret                    ; kembali
;
snsr7: jnb     Sn7a,sns7a      ; cek jika Sn7a=0 lompat ke sns7a
      mov     Sts7,#1         ; isikan Sts7 dengan #1
sns7a: jnb     Sn7b,sns7b      ; cek jika Sn7b=0 lompat ke sns7b
      mov     Sts7,#1         ; isikan Sts7 dengan #1
sns7b: mov     A,Sts7         ; isikan A dengan Sts7
      ret                    ; kembali
;
;
; reset status sensor
;
rststs: mov     Sts1,#0        ; \
      mov     Sts2,#0        ; |
      mov     Sts3,#0        ; |
      mov     Sts4,#0        ; | reset status
      mov     Sts5,#0        ; |
      mov     Sts6,#0        ; |
      mov     Sts7,#0        ; /

```

```
    acall delays          ; panggil delays
    ret                  ; kembali
```

```
=====
;
;          buka portal masuk
;
=====
```

```
ptinbk: clr    Pinb          ; hidupkan pinb
          acall delayp       ; panggil delayp
          setb   Pinb        ; matikan pinb
          ret                ; kembali
```

```
=====
;
;          tutup portal masuk
;
=====
```

```
ptintt: clr    Pint          ; hidupkan pint
          acall delayp       ; panggil delay
          setb   Pint        ; matikan pint
          ret                ; kembali
```

```
=====
;
;          buka portal keluar
;
=====
```

```
ptotbk: clr    Potb          ; hidupkan potb
          acall delayp       ; panggil deayp
          setb   Potb        ; matikan potb
          ret                ; kembali
```

```
=====
;
;          tutup portal keluar
;
=====
```

```
ptottt: clr    Pott          ; hidupkan pott
          acall delayp       ; panggil delayp
          setb   Pott        ; matikan pott
          ret                ; kembali
```

```
=====
;
;          motor kartu1
;
=====
```

```
otkrt1: clr    Mtk1          ; hidupkan Mtk1
          acall delayk       ; panggil delayk
          setb   Mtk1        ; matikan Mtk1
          ret                ; kembali
```

```
=====
;
;          motor kartu2
;
=====
```

```
otkrt2: clr    Mtk2          ; hidupkan Mtk2
          acall delayk       ; panggil delayk
          setb   Mtk2        ; matikan Mtk2
          ret                ; kembali
```

```
=====
;
;          motor kartu3
;
=====
```

```
otkrt3: clr    Mtk3          ; hidupkan Mtk3
          acall delayk       ; panggil delayk
```

```

        setb   Mtk3           ; matikan Mtk3
        ret                    ; kembali
;
;-----;
;                lampu portal masuk merah
;-----;
lpinmr: clr     Lmin         ; hidupkan lampu merah
        setb   Lhin         ; matikan lampu hijau
        ret                    ; kembali
;
;-----;
;                lampu portal masuk hijau
;-----;
lpinhj: setb   Lmin         ; matikan lampu merah
        clr    Lhin         ; nyalakan lampu hijau
        ret                    ; kembali
;
;-----;
;                lampu portal keluar merah
;-----;
lpotmr: clr     Lmet         ; nyalakan lampu merah
        setb   Lhet         ; matikan lampu hijau
        ret                    ; kembali
;
;-----;
;                lampu portal keluar hijau
;-----;
lpothj: setb   Lmet         ; matikan lampu merah
        clr    Lhet         ; nyalakan lampu hijau
        ret                    ; kembali
;
;-----;
;                program delay
;-----;
jeda:   mov     Dly0,#255    ; isikan Dly0 dengan #255
jd:     djnz   Dly0,jd      ; bandingkan jika Dly0 tidak 0 lompat ke jd
        ret                    ; kembali
;
delays: mov     Dly1,#255    ; isikan Dly1 dengan #255
dlys:   acall  jeda         ; panggil jeda
        djnz   Dly1,dlys    ; bandingkan jika Dly1 tidak 0 lompat ke dlys
        ret                    ; kembali
;
delayp: mov     Dly2,#13     ; \
dlyp:   acall  delays        ; | delay motor portal
        djnz   Dly2,dlyp    ; /
        ret
;
delayk: mov     Dly2,#40     ; \
dlyk:   acall  delays        ; | delay motor kartu
        djnz   Dly2,dlyk    ; /
        ret
;
        end

```

```

:-----:
:               program dot matrik
:-----:

```

```

;
; org      0h
;
; DtAB    Bit P0.0
; Clck    Bit P0.1
; Snr     Bit P1.7
; Cnt0    Equ 40h
; Tstd    Equ 41h
; Tjln    Equ 42h
; Dots    Equ 43h
; Jbrs    Equ 44h
; Dly0    Equ 50h
; Dly1    Equ 51h
; Dly2    Equ 52h
;
;
; init:   clr      Snr
;
; cek0:   mov      R0,P1          ; isikan R0 dengan P1
;         cjne    R0,#07Eh,cek1  ; bandingkan R0 dgn #07Eh,jika tidak sama
;         ;         lompat ke cek1
;         mov     DPTR,#Rizal    ; Isi DPTR dengan #Rizal
;         mov     Jbrs,#255     ; isi jumlah baris dengan #255
;         lcall   tlsjln        ; Panggil tlsjln(tulis jalan)
;         lcall   delay1        ; panggil delay1
; cek1:   mov     R0,P1          ; masukkan P1 ke R0
;         cjne    R0,#07Dh,cek2  ; bandingkan R0 dgn #07Dh,jika tidak sama
;         ;         lompat ke cek2
;         mov     DPTR,#Gempol   ; isi DPTR dengan #Gempol
;         mov     Jbrs,#255     ; isi jumlah baris dengan #255
;         lcall   tlsjln        ; panggil tlsjln(tulis jalan)
;         lcall   delay1        ; panggil delay1
; cek2:   mov     R0,P1          ; masukan P1 ke R0
;         cjne    R0,#07Bh,cek3  ; bandingkan R0 dgn #07Bh, jika tidak sama
;         ;         lompat ke cek3
;         mov     DPTR,#Waru     ; isi DPTR dengan #waru
;         mov     Jbrs,#255     ; isi jumlah baris dengan #255
;         lcall   tlsjln        ; panggil tulis jalan
;         lcall   delay1        ; panggil delay1
; cek3:   mov     R0,P1          ; masukkan P1 ke R0
;         cjne    R0,#077h,cek4  ; bandingkan R0 dengan #077h,jika tidak sama
;         ;         lompat ke cek4
;         mov     DPTR,#Porong   ; isikan DPTR dengan #porong
;         mov     Jbrs,#255     ; isikan jumlah baris dengan #255
;         lcall   tlsjln        ; panggil tulis jalan
;         lcall   delay1        ; panggil delay1
; cek4:   ljmp    cek0          ; lompat ke cek0
;
;
; tlsjln: mov     Tjln,#0        ; isi Tjln dengan #0
; tlsj10: mov     Dots,Tjln      ; isikan dots dengan tjln
;         mov     Cnt0,#50      ; isi jumlah kolom dengan #50
;         lcall   tulis0        ; panggil tulis0
;         lcall   tampil0       ; panggil tampil0
;         mov     Dots,Tjln     ; isikan dots dengan tjln
;         mov     Cnt0,#50      ; isikan jumlah kolom dengan #50
;         lcall   tulis1        ; panggil tulis1

```

```

    lcall    tmp11          ; panggil tampil1
    mov     Dots,Tjln      ; isikan dots dengan tjln
    mov     Cnt0,#50       ; isikan jumlah kolom dengan #50
    lcall    tulis2        ; panggil tulis2
    lcall    tmp12         ; panggil tampil2
    mov     Dots,Tjln      ; isikan dots dengan tjln
    mov     Cnt0,#50       ; isikan jumlah kolom dengan #50
    lcall    tulis3        ; panggil tulis3
    lcall    tmp13         ; panggil tampil3
    mov     Dots,Tjln      ; isikan dots dengan tjln
    mov     Cnt0,#50       ; isikan jumlah kolom dengan #50
    lcall    tulis4        ; panggil tulis4
    lcall    tmp14         ; panggil tampil4
    mov     Dots,Tjln      ; isikan dots dengan tjln
    mov     Cnt0,#50       ; isikan jumlah kolom dengan #50
    lcall    tulis5        ; panggil tulis5
    lcall    tmp15         ; panggil tampil5
    mov     Dots,Tjln      ; isikan dots dengan tjln
    mov     Cnt0,#50       ; isikan jumlah kolom dengan #50
    lcall    tulis6        ; panggil tulis6
    lcall    tmp16         ; panggil tampil6
    inc     Tjln           ; incremen tjln
    djnz    Jbrs,tlsj11    ; kurangi jbrs dengan 1 jika belum 0 lompat
                          ; ke tlsj11
    ljmp     tlsj12        ; lompat ke tlsj12
tlsj11: ljmp     tlsj10    ; lompat ke tlsj10
tlsj12: ret
;
tulis0: mov     A,Dots     ; isi akumulator dengan dots
        movc    A,@A+DPTR  ; isi A dengan A yg ada pd DPTR
        jb     Acc.1,mdts0 ; lompat bila 1
        clr     DtAB       ; nyalakan DtAB
        ljmp    nydts0     ; lompat ke nyala dots0
mdts0:  setb    DtAB       ; matikan DtAB
nydts0: lcall    clock     ; panggil clock
        clr     DtAB       ; nyalakan DtAB
        inc    Dots        ; incremen dots
        djnz   Cnt0,tulis0 ; kurangi jumlah kolom dgn 1 jika belum 0
                          ; maka lompat ke tulis0
        ret               ; kembali
;
tulis1: mov     A,Dots     ; isikan akumulator dengan dots
        movc    A,@A+DPTR  ; isi A dengan A yg ada pd DPTR
        jb     Acc.2,mdts1 ; lompat bila 1
        clr     DtAB       ; nyalakan DtAB
        ljmp    nydts1     ; lompat ke nyala dots1
mdts1:  setb    DtAB       ; matikan DtAB
nydts1: lcall    clock     ; panggil clock
        clr     DtAB       ; nyalakan DtAB
        inc    Dots        ; incremen dots
        djnz   Cnt0,tulis1 ; kurangi 1 jumlah kolom jika belum 0 maka
                          ; lompat ke tulis1
        ret               ; kembali
;
tulis2: mov     A,Dots     ; isikan akumulator dengan dots
        movc    A,@A+DPTR  ; isi A dengan A yg ada pd DPTR
        jb     Acc.3,mdts2 ; lompat bila 1

```

```

        clr     DtAB           ; nyalakan DtAB
        ljmp   nydts2        ; lompat ke nyala dots2
mtdts2: setb   DtAB         ; matikan DtAB
nydts2: lcall  clock        ; panggil clock
        clr     DtAB         ; nyalakan DtAB
        inc    Dots         ; incremen dots
        djnz   Cnt0,tulis2  ; kurangi 1 jumlah kolom jika belum 0 maka
                               lompat ke tulis1
        ret                 ; kembali
;
tulis3: mov    A,Dots       ; isikan A dengan Dots
        movc   A,@A+DPTR    ; isi A dengan A yg ada pd DPTR
        jb    Acc.4,mtdts3  ; lompat bila 1
        clr    DtAB        ; nyalakan DtAB
        ljmp   nydts3      ; lompat ke nydts3
mtdts3: setb   DtAB        ; matikan DtAB
nydts3: lcall  clock        ; panggil clock
        clr    DtAB        ; nyalakan DtAB
        inc    Dots        ; incremen dots
        djnz   Cnt0,tulis3  ; kurangi 1 Cnt0 jika belum 0 lompat ke
                               tulis3
        ret                 ; kembali
;
tulis4: mov    A,Dots       ; isikan A dengan Dots
        movc   A,@A+DPTR    ; isi A dengan A yg ada pd DPTR
        jb    Acc.5,mtdts4  ; lompat bila 1
        clr    DtAB        ; nyalakan DtAB
        ljmp   nydts4      ; lompat ke nydts4
mtdts4: setb   DtAB        ; matikan DtAB
nydts4: lcall  clock        ; panggil clock
        clr    DtAB        ; nyalakan DtAB
        inc    Dots        ; incremen dots
        djnz   Cnt0,tulis4  ; kurangi 1 Cnt0 jika belum 0 lompat ke
                               tulis4
        ret                 ; kembali
;
tulis5: mov    A,Dots       ; isikan A dengan Dots
        movc   A,@A+DPTR    ; isi A dengan A yg ada pd DPTR
        jb    Acc.6,mtdts5  ; lompat bila 1
        clr    DtAB        ; nyalakan DtAB
        ljmp   nydts5      ; lompat ke nydts5
mtdts5: setb   DtAB        ; matikan DtAB
nydts5: lcall  clock        ; panggil clock
        clr    DtAB        ; nyalakan DtAB
        inc    Dots        ; increment dots
        djnz   Cnt0,tulis5  ; kurangi 1 Cnt0 jika belum 0 lompat ke
                               tulis5
        ret                 ; kembali
;
tulis6: mov    A,Dots       ; isikan A dengan Dots
        movc   A,@A+DPTR    ; isi A dengan A yg ada pd DPTR
        jb    Acc.7,mtdts6  ; lompat bila 1
        clr    DtAB        ; nyalakan DtAB
        ljmp   nydts6      ; lompat ke nydts6
mtdts6: setb   DtAB        ; matikan DtAB
nydts6: lcall  clock        ; panggil clock
        clr    DtAB        ; nyalakan DtAB

```

```

        inc     Dots          ; incremen Dots
        djnz   Cnt0,tulis6   ; kurangi 1 Cnt0 jika belum 0 lompat ke
                                tulis6
        ret                ; kembali
;
clock:  setb   Clnk          \
        clr    Clnk         | program clock
        ret                /
;
-----;
;          scanning kolom          ;
;-----;
tmp10:  mov     P2,#00000001b
        lcall  delays
        mov     P2,#0000000Cb
        ret
;
tmp11:  mov     P2,#00000010b
        lcall  delays
        mov     P2,#0000000Cb
        ret
;
tmp12:  mov     P2,#00000100b
        lcall  delays
        mov     P2,#0000000Cb
        ret
;
tmp13:  mov     P2,#00001000b
        lcall  delays
        mov     P2,#0000000Cb
        ret
;
tmp14:  mov     P2,#00010000b
        lcall  delays
        mov     P2,#0000000Cb
        ret
;
tmp15:  mov     P2,#00100000b
        lcall  delays
        mov     P2,#0000000Cb
        ret
;
tmp16:  mov     P2,#01000000b
        lcall  delays
        mov     P2,#0000000Cb
        ret
;
-----;
;          subrutine delay          ;
;-----;
jeda:   sjnz   Dly0,$        ; jika Dly belum 0 maka lompat ke $
        ret                ; kembali
;
delays: mov     Dly1,#5      ; isi Dly1 dengan #5
dlys:   lcall  jeda         ; panggil jeda
        djnz   Dly1,dlys    ; jika Dly1 belum 0 lompat ke dlys
        ret                ; kembali

```


DB 08Ch, 080h, 000h, 01Ch, 022h, 022h, 022h, 01Ch, 000h, 000h
DB 082h, 0FEh, 002h, 000h, 000h, 000h, 000h, 000h, 000h
DB 07Ch, 082h, 092h, 092h, 05Ch, 000h, 01Ch, 02Ah, 02Ah, 02Ah
DB 018h, 000h, 03Eh, 020h, 018h, 020h, 01Eh, 000h, 03Eh, 028h
DB 028h, 028h, 010h, 000h, 01Ch, 022h, 022h, 022h, 01Ch, 000h
DB 000h, 082h, 0FEh, 002h, 000h, 000h, 000h, 000h, 000h
DB 000h, 000h, 000h, 000h, 000h, 000h, 000h, 000h, 000h
DB 000h, 000h, 000h, 000h, 000h, 000h, 000h, 000h, 000h
DB 000h, 000h, 000h, 000h, 000h, 000h, 000h, 000h, 000h
DB 000h, 000h, 000h, 000h, 000h, 000h, 000h, 000h, 000h
DB 000h, 000h, 000h, 000h, 000h, 000h, 000h, 000h, 000h
DB 000h, 000h, 000h, 000h, 000h, 000h, 000h, 000h, 000h

Waru:

DB 000h, 000h, 000h, 000h, 000h, 000h, 000h, 000h, 000h
DB 000h, 000h, 000h, 000h, 000h, 000h, 000h, 000h, 000h
DB 000h, 000h, 000h, 000h, 000h, 000h, 000h, 000h, 000h
DB 000h, 000h, 000h, 000h, 000h, 000h, 000h, 000h, 000h
DB 000h, 000h, 000h, 000h, 000h, 000h, 000h, 000h, 000h
DB 064h, 092h, 092h, 092h, 04Ch, 000h, 01Ch, 02Ah, 02Ah, 02Ah
DB 018h, 000h, 000h, 082h, 0FEh, 002h, 000h, 000h, 004h, 02Ah
DB 02Ah, 02Ah, 01Eh, 000h, 03Eh, 020h, 01Eh, 020h, 01Eh, 000h
DB 004h, 02Ah, 02Ah, 02Ah, 01Eh, 000h, 020h, 0FCh, 022h, 002h
DB 004h, 000h, 000h, 000h, 000h, 000h, 000h, 082h, 082h, 044h
DB 038h, 000h, 004h, 02Ah, 02Ah, 02Ah, 01Eh, 000h, 020h, 0FCh
DB 022h, 002h, 004h, 000h, 004h, 02Ah, 02Ah, 02Ah, 01Eh, 000h
DB 03Eh, 010h, 020h, 020h, 01Eh, 000h, 010h, 02Ah, 02Ah, 02Ah
DB 03Ch, 000h, 000h, 000h, 000h, 000h, 0FEh, 082h, 082h, 044h
DB 038h, 000h, 000h, 022h, 08Eh, 002h, 000h, 000h, 000h, 000h
DB 000h, 07Ch, 082h, 092h, 092h, 05Ch, 000h, 01Ch, 02Ah, 02Ah
DB 02Ah, 018h, 000h, 03Eh, 010h, 020h, 020h, 010h, 000h, 0FEh
DB 012h, 022h, 022h, 01Ch, 000h, 004h, 02Ah, 02Ah, 02Ah, 01Eh
DB 000h, 03Eh, 010h, 020h, 020h, 01Eh, 000h, 010h, 02Ah, 02Ah
DB 02Ah, 03Ch, 000h, 000h, 000h, 000h, 000h, 080h, 080h, 0FEh
DB 080h, 000h, 000h, 01Ch, 022h, 022h, 022h, 01Ch, 000h, 000h
DB 082h, 0FEh, 002h, 000h, 000h, 000h, 000h, 000h, 000h
DB 0FCh, 002h, 01Ch, 002h, 0FCh, 000h, 004h, 02Ah, 02Ah, 02Ah
DB 01Eh, 000h, 03Eh, 010h, 020h, 020h, 010h, 000h, 03Ch, 002h
DB 002h, 004h, 03Eh, 000h, 000h, 000h, 000h, 000h, 000h, 000h
DB 000h, 000h, 000h, 000h, 000h, 000h, 000h, 000h, 000h, 000h
DB 000h, 000h, 000h, 000h, 000h, 000h, 000h, 000h, 000h, 000h
DB 000h, 000h, 000h, 000h, 000h, 000h, 000h, 000h, 000h, 000h
DB 000h, 000h, 000h, 000h, 000h, 000h, 000h, 000h, 000h, 000h
DB 000h, 000h, 000h, 000h, 000h, 000h, 000h, 000h, 000h, 000h
DB 000h, 000h, 000h, 000h, 000h, 000h, 000h, 000h, 000h, 000h

Porong:

DB 000h, 000h, 000h, 000h, 000h, 000h, 000h, 000h, 000h, 000h
DB 000h, 000h, 000h, 000h, 000h, 000h, 000h, 000h, 000h, 000h
DB 000h, 000h, 000h, 000h, 000h, 000h, 000h, 000h, 000h, 000h
DB 000h, 000h, 000h, 000h, 000h, 000h, 000h, 000h, 000h, 000h
DB 064h, 092h, 092h, 092h, 04Ch, 000h, 01Ch, 02Ah, 02Ah, 02Ah
DB 018h, 000h, 000h, 082h, 0FEh, 002h, 000h, 000h, 004h, 02Ah
DB 02Ah, 02Ah, 01Eh, 000h, 03Eh, 020h, 01Eh, 020h, 01Eh, 000h
DB 004h, 02Ah, 02Ah, 02Ah, 01Eh, 000h, 020h, 0FCh, 022h, 002h
DB 004h, 000h, 000h, 000h, 000h, 000h, 0FEh, 082h, 082h, 044h
DB 038h, 000h, 004h, 02Ah, 02Ah, 02Ah, 01Eh, 000h, 020h, 0FCh
DB 022h, 002h, 004h, 000h, 004h, 02Ah, 02Ah, 02Ah, 01Eh, 000h
DB 03Eh, 010h, 020h, 020h, 01Eh, 000h, 010h, 02Ah, 02Ah, 02Ah
DB 03Ch, 000h, 000h, 000h, 000h, 000h, 0FEh, 082h, 082h, 044h

DB 038h,000h,000h,022h,0BEh,002h,000h,000h,000h,000h
DB 00Ch,07Ch,082h,092h,092h,05Ch,000h,01Ch,02Ah,02Ah
DB 02Ah,018h,000h,03Eh,010h,020h,020h,010h,000h,0FEh
DB 012h,022h,022h,01Ch,000h,004h,02Ah,02Ah,02Ah,01Eh
DB 00Ch,03Eh,010h,020h,020h,01Eh,000h,010h,02Ah,02Ah
DB 02Ah,03Ch,000h,000h,000h,000h,000h,080h,080h,0FEh
DB 080h,080h,000h,01Ch,022h,022h,022h,01Ch,000h,000h
DB 0B2h,CFEh,002h,000h,000h,000h,000h,000h,000h
DB CFEh,090h,090h,090h,060h,000h,01Ch,022h,022h,022h
DB 01Ch,0C0h,03Eh,01Ch,02Ch,020h,010h,000h,01Ch,022h
DB 022h,022h,01Ch,0CCh,03Eh,010h,020h,020h,01Eh,000h
DB 010h,02Ah,02Ah,02Ah,03Ch,000h,000h,000h,0C0h,000h
DB 0C0h,0C0h,0CCh,0CCh,00Ch,000h,000h,000h,000h,000h
DB 0C0h,0C0h,0CCh,0CCh,00Ch,000h,000h,000h,000h,0CCh
DB 00Ch,00Ch,00Ch,00Ch,00Ch,00Ch,00Ch,000h,000h,000h
DB 000h,00Ch,000h,00Ch,000h,000h,00Ch,000h,000h,000h
DB 000h,000h,000h,000h,000h,000h,00Ch,000h,000h,000h

end

Features

- Compatible with MCS-51[®] Products
- 4K Bytes of In-System Programmable (ISP) Flash Memory
 - Endurance: 1000 Write/Erase Cycles
- 3V to 5.5V Operating Range
- Fully Static Operation: 0 Hz to 33 MHz
- Three-level Program Memory Lock
- 8 x 8-bit Internal RAM
- Programmable I/O Lines
- Two 16-bit Timer/Counters
- Eight Interrupt Sources
- Full Duplex UART Serial Channel
- Low-power Idle and Power-down Modes
- Interrupt Recovery from Power-down Mode
- Watchdog Timer
- Internal Data Pointer
- Power-off Flag
- Fast Programming Time
- Optional ISP Programming (Byte and Page Mode)

Description

AT89S51 is a low-power, high-performance CMOS 8-bit microcontroller with 4K bytes of in-system programmable Flash memory. The device is manufactured using Atmel's high-density nonvolatile memory technology and is compatible with the industry standard 80C51 instruction set and pinout. The on-chip Flash allows the program memory to be reprogrammed in-system or by a conventional nonvolatile memory programmer. By combining a versatile 8-bit CPU with in-system programmable Flash on a monolithic chip, the Atmel AT89S51 is a powerful microcontroller which provides a highly-flexible and cost-effective solution to many embedded control applications.

AT89S51 provides the following standard features: 4K bytes of Flash, 128 bytes of internal RAM, 32 I/O lines, Watchdog timer, two data pointers, two 16-bit timer/counters, a five- or two-level interrupt architecture, a full duplex serial port, on-chip oscillator, and logic circuitry. In addition, the AT89S51 is designed with static logic for operation from 0 to zero frequency and supports two software selectable power saving modes. Idle Mode stops the CPU while allowing the RAM, timer/counters, serial port, and interrupt system to continue functioning. The Power-down mode saves the RAM content but freezes the oscillator, disabling all other chip functions until the next external interrupt or hardware reset.



8-bit Microcontroller with 4K Bytes In-System Programmable Flash

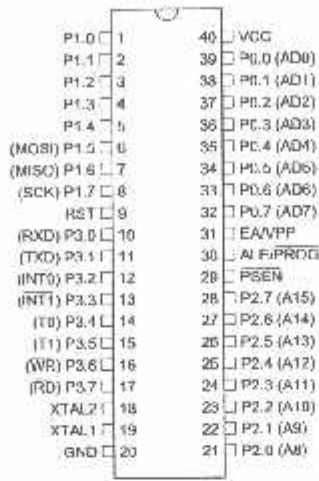
AT89S51

Rev. 2457A-10/01

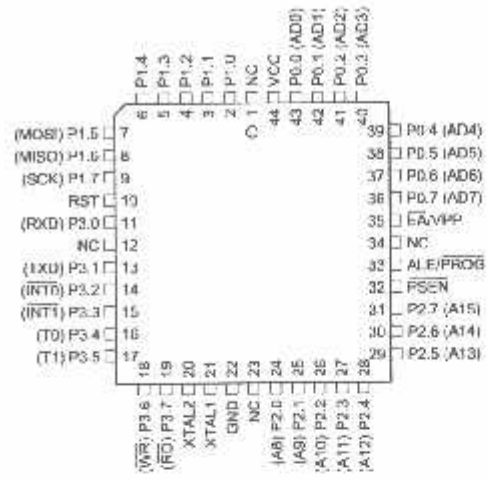


Configurations

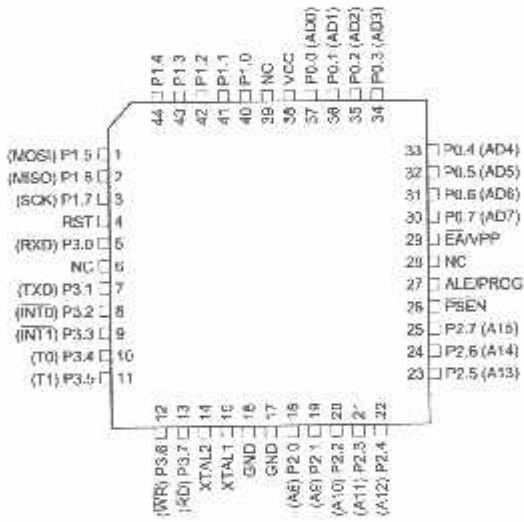
PDIP



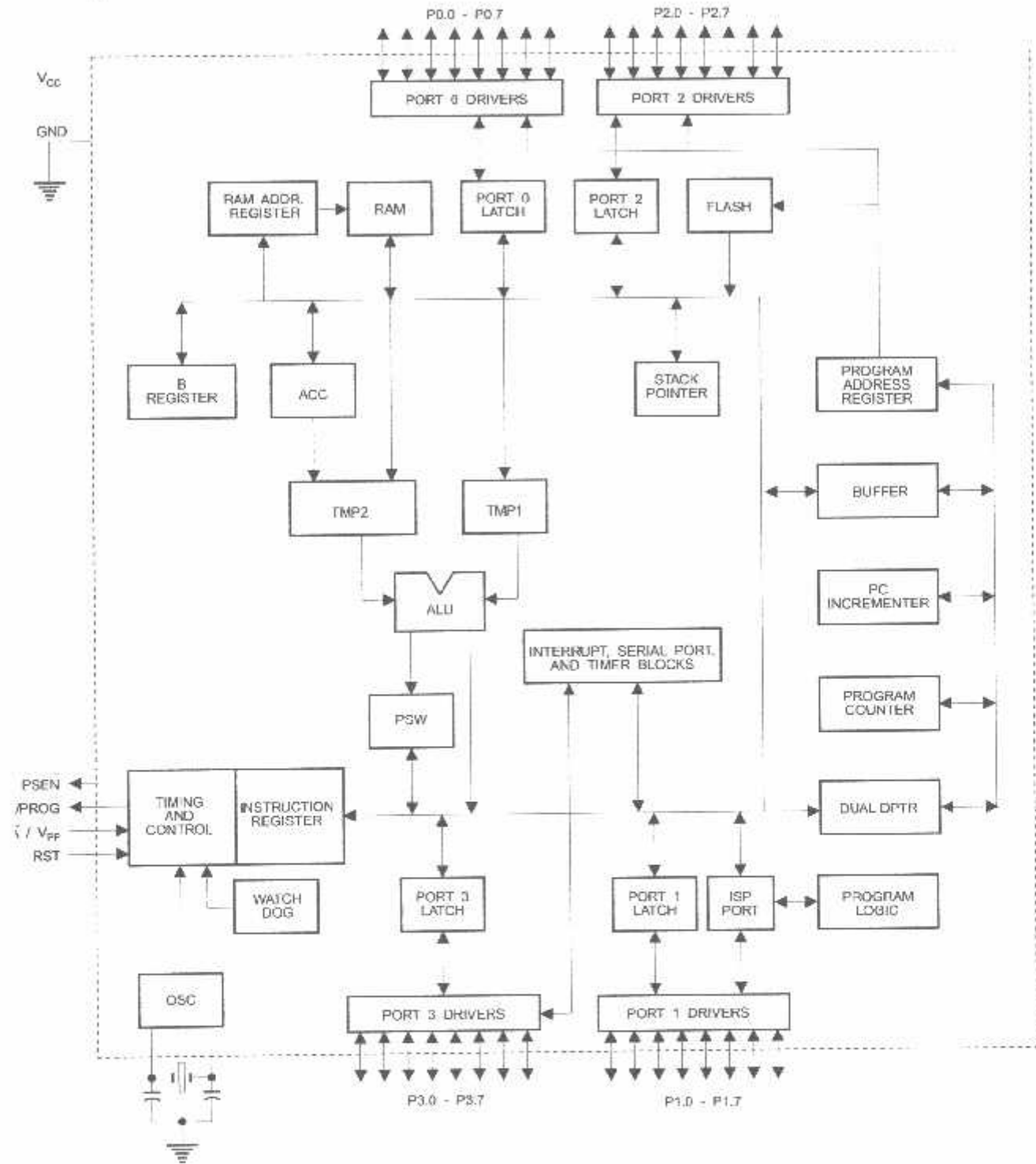
PLCC



TQFP



Block Diagram





Description

C Supply voltage.

D Ground.

t 0 Port 0 is an 8-bit open drain bidirectional I/O port. As an output port, each pin can sink eight TTL inputs. When 1s are written to port 0 pins, the pins can be used as high-impedance inputs.

Port 0 can also be configured to be the multiplexed low-order address/data bus during accesses to external program and data memory. In this mode, P0 has internal pull-ups.

Port 0 also receives the code bytes during Flash programming and outputs the code bytes during program verification. **External pull-ups are required during program verification.**

t 1 Port 1 is an 8-bit bidirectional I/O port with internal pull-ups. The Port 1 output buffers can sink/source four TTL inputs. When 1s are written to Port 1 pins, they are pulled high by the internal pull-ups and can be used as inputs. As inputs, Port 1 pins that are externally being pulled low will source current (I_{IL}) because of the internal pull-ups.

Port 1 also receives the low-order address bytes during Flash programming and verification.

Port Pin	Alternate Functions
P1.5	MOSI (used for In-System Programming)
P1.6	MISO (used for In-System Programming)
P1.7	SCK (used for In-System Programming)

t 2 Port 2 is an 8-bit bidirectional I/O port with internal pull-ups. The Port 2 output buffers can sink/source four TTL inputs. When 1s are written to Port 2 pins, they are pulled high by the internal pull-ups and can be used as inputs. As inputs, Port 2 pins that are externally being pulled low will source current (I_{IL}) because of the internal pull-ups.

Port 2 emits the high-order address byte during fetches from external program memory and during accesses to external data memory that use 16-bit addresses (MOVX @ DPTR). In this application, Port 2 uses strong internal pull-ups when emitting 1s. During accesses to external data memory that use 8-bit addresses (MOVX @ RI), Port 2 emits the contents of the P2 Special Function Register.

Port 2 also receives the high-order address bits and some control signals during Flash programming and verification.

t 3 Port 3 is an 8-bit bidirectional I/O port with internal pull-ups. The Port 3 output buffers can sink/source four TTL inputs. When 1s are written to Port 3 pins, they are pulled high by the internal pull-ups and can be used as inputs. As inputs, Port 3 pins that are externally being pulled low will source current (I_{IL}) because of the pull-ups.

Port 3 receives some control signals for Flash programming and verification.

Port 3 also serves the functions of various special features of the AT89S51, as shown in the following table.

Port Pin	Alternate Functions
P3.0	RXD (serial input port)
P3.1	TXD (serial output port)
P3.2	$\overline{\text{INT0}}$ (external interrupt 0)
P3.3	$\overline{\text{INT1}}$ (external interrupt 1)
P3.4	T0 (timer 0 external input)
P3.5	T1 (timer 1 external input)
P3.6	$\overline{\text{WR}}$ (external data memory write strobe)
P3.7	$\overline{\text{RD}}$ (external data memory read strobe)

R Reset input. A high on this pin for two machine cycles while the oscillator is running resets the device. This pin drives High for 98 oscillator periods after the Watchdog times out. The DISRTO bit in SFR AUXR (address 8EH) can be used to disable this feature. In the default state of bit DISRTO, the RESET HIGH out feature is enabled.

$\overline{\text{ALE}}$ Address Latch Enable (ALE) is an output pulse for latching the low byte of the address during accesses to external memory. This pin is also the program pulse input ($\overline{\text{PROG}}$) during Flash programming.

In normal operation, ALE is emitted at a constant rate of 1/6 the oscillator frequency and may be used for external timing or clocking purposes. Note, however, that one ALE pulse is skipped during each access to external data memory.

If desired, ALE operation can be disabled by setting bit 0 of SFR location 8EH. With the bit set, ALE is active only during a MOVX or MOVC instruction. Otherwise, the pin is weakly pulled high. Setting the ALE-disable bit has no effect if the microcontroller is in external execution mode.

$\overline{\text{PSEN}}$ Program Store Enable ($\overline{\text{PSEN}}$) is the read strobe to external program memory.

When the AT89S51 is executing code from external program memory, $\overline{\text{PSEN}}$ is activated twice each machine cycle, except that two $\overline{\text{PSEN}}$ activations are skipped during each access to external data memory.

$\overline{\text{EA}}$ External Access Enable. $\overline{\text{EA}}$ must be strapped to GND in order to enable the device to fetch code from external program memory locations starting at 0000H up to FFFFH. Note, however, that if lock bit 1 is programmed, $\overline{\text{EA}}$ will be internally latched on reset.

$\overline{\text{EA}}$ should be strapped to V_{CC} for internal program executions.

This pin also receives the 12-volt programming enable voltage (V_{PP}) during Flash programming.

.L1 Input to the inverting oscillator amplifier and input to the internal clock operating circuit.

.L2 Output from the inverting oscillator amplifier



Special Function Registers

A map of the on-chip memory area called the Special Function Register (SFR) space is shown in Table 1.

Note that not all of the addresses are occupied, and unoccupied addresses may not be implemented on the chip. Read accesses to these addresses will in general return random data, and write accesses will have an indeterminate effect.

Table 1. AT89S51 SFR Map and Reset Values

F8H								0FFH
F0H	B 00000000							0F7H
E8H								0EFH
E0H	ACC 00000000							0E7H
D8H								0DFH
D0H	PSW 00000000							0D7H
C8H								0CFH
C0H								0C7H
B8H	IP XX000000							0BFH
B0H	P3 11111111							0B7H
A8H	IE 0X000000							0AFH
A0H	P2 11111111		AUXR1 XXXXXXXX0				WDRST XXXXXXXXX	0A7H
98H	SCON 00000000	SBUF XXXXXXXXX						9FH
90H	P1 11111111							97H
88H	TCON 00000000	TMOD 00000000	TL0 00000000	TL1 00000000	T0 00000000	TH1 00000000	AUXR XXX00XX0	8FH
80H	P0 11111111	SP 0000:11	DP0L 00000000	DP0H 00000000	DP1L 00000000	DP1H 00000000	PCON 0XX00000	87H

User software should not write 1s to these unlisted locations, since they may be used in future products to invoke new features. In that case, the reset or inactive values of the new bits will always be 0.

Interrupt Registers: The individual interrupt enable bits are in the IE register. Two priorities can be set for each of the five interrupt sources in the IP register.

Table 2. AUXR: Auxiliary Register

AUXR	Address = 8EH							Reset Value = XXX00XX0B
Not Bit Addressable	-	-	-	WDIDLE	DISRTO	-	-	DISALE
Bit	7	6	5	4	3	2	1	0
-	Reserved for future expansion							
DISALE	Disable/Enable ALE							
	DISALE							
	Operating Mode							
	0	ALE is emitted at a constant rate of 1/6 the oscillator frequency						
	1	ALE is active only during a MOVX or MOVC instruction						
DISRTO	Disable/Enable Reset out							
	DISRTO							
	0	Reset pin is driven High after WDT times out						
	1	Reset pin is input only						
WDIDLE	Disable/Enable WDT in IDLE mode							
	WDIDLE							
	0	WDT continues to count in IDLE mode						
	1	WDT halts counting in IDLE mode						

Dual Data Pointer Registers: To facilitate accessing both internal and external data memory, two banks of 16-bit Data Pointer Registers are provided: DP0 at SFR address locations 82H-83H and DP1 at 84H-85H. Bit DPS = 0 in SFR AUXR1 selects DP0 and DPS = 1 selects DP1. The user should always initialize the DPS bit to the appropriate value before accessing the respective Data Pointer Register.



Power Off Flag: The Power Off Flag (POF) is located at bit 4 (PCON.4) in the PCON SFR. POF is set to "1" during power up. It can be set and reset under software control and is not affected by reset.

Table 3. AUXR1: Auxiliary Register 1

AUXR1								
Address = A2H								
Reset Value = XXXXXX0B								
Not Bit Addressable								
Bit	7	6	5	4	3	2	1	DPS
	-	-	-	-	-	-	-	0
								1
-	Reserved for future expansion							
DPS	Data Pointer Register Select							
	DPS							
	0	Selects DPTR Registers DP0L, DP0H						
	1	Selects DPTR Registers DP1L, DP1H						

Memory Organization

MCS-51 devices have a separate address space for Program and Data Memory. Up to 64K bytes each of external Program and Data Memory can be addressed.

Program Memory

If the \overline{EA} pin is connected to GND, all program fetches are directed to external memory. On the AT89S51, if \overline{EA} is connected to V_{CC} , program fetches to addresses 0000H through FFFH are directed to internal memory and fetches to addresses 1000H through FFFFH are directed to external memory.

Data Memory

The AT89S51 implements 128 bytes of on-chip RAM. The 128 bytes are accessible via direct and indirect addressing modes. Stack operations are examples of indirect addressing, so the 128 bytes of data RAM are available as stack space.

Watchdog Timer (enabled with set-out)

The WDT is intended as a recovery method in situations where the CPU may be subjected to software upsets. The WDT consists of a 14-bit counter and the Watchdog Timer Reset (WDTRST) SFR. The WDT is defaulted to disable from exiting reset. To enable the WDT, a user must write 01EH and 0E1H in sequence to the WDTRST register (SFR location 0A6H). When the WDT is enabled, it will increment every machine cycle while the oscillator is running. The WDT timeout period is dependent on the external clock frequency. There is no way to disable the WDT except through reset (either hardware reset or WDT overflow reset). When WDT overflows, it will drive an output RESET HIGH pulse at the RST pin.

Configuring the WDT

To enable the WDT, a user must write 01EH and 0E1H in sequence to the WDTRST register (SFR location 0A6H). When the WDT is enabled, the user needs to service it by writing 01EH and 0E1H to WDTRST to avoid a WDT overflow. The 14-bit counter overflows when it reaches 16383 (3FFFH), and this will reset the device. When the WDT is enabled, it will increment every machine cycle while the oscillator is running. This means the user must reset the WDT at least every 16383 machine cycles. To reset the WDT the user must write 01EH and 0E1H to WDTRST. WDTRST is a write-only register. The WDT counter cannot be read or written. When WDT overflows, it will generate an output RESET pulse at the RST pin. The RESET pulse duration is $98 \times TOSC$, where $TOSC = 1/FOSC$. To make the best use of the WDT, it

should be serviced in those sections of code that will periodically be executed within the time required to prevent a WDT reset.

WDT During Power-down and Idle

In Power-down mode the oscillator stops, which means the WDT also stops. While in Power-down mode, the user does not need to service the WDT. There are two methods of exiting Power-down mode: by a hardware reset or via a level-activated external interrupt, which is enabled prior to entering Power-down mode. When Power-down is exited with hardware reset, servicing the WDT should occur as it normally does whenever the AT89S51 is reset. Exiting Power-down with an interrupt is significantly different. The interrupt is held low long enough for the oscillator to stabilize. When the interrupt is brought high, the interrupt is serviced. To prevent the WDT from resetting the device while the interrupt pin is held low, the WDT is not started until the interrupt is pulled high. It is suggested that the WDT be reset during the interrupt service for the interrupt used to exit Power-down mode.

To ensure that the WDT does not overflow within a few states of exiting Power-down, it is best to reset the WDT just before entering Power-down mode.

Before going into the IDLE mode, the WDIDLE bit in SFR AUXR is used to determine whether the WDT continues to count if enabled. The WDT keeps counting during IDLE (WDIDLE bit = 0) as the default state. To prevent the WDT from resetting the AT89S51 while in IDLE mode, the user should always set up a timer that will periodically exit IDLE, service the WDT, and reenter IDLE mode.

With WDIDLE bit enabled, the WDT will stop to count in IDLE mode and resumes the count upon exit from IDLE.

UART

The UART in the AT89S51 operates the same way as the UART in the AT89C51. For further information on the UART operation, refer to the ATMEL Web site (<http://www.atmel.com>). From the home page, select 'Products', then '8051-Architecture Flash Microcontroller', then 'Product Overview'.

Timer 0 and 1

Timer 0 and Timer 1 in the AT89S51 operate the same way as Timer 0 and Timer 1 in the AT89C51. For further information on the timers' operation, refer to the ATMEL Web site (<http://www.atmel.com>). From the home page, select 'Products', then '8051-Architecture Flash Microcontroller', then 'Product Overview'.

Interrupts

The AT89S51 has a total of five interrupt vectors: two external interrupts ($\overline{INT0}$ and $\overline{INT1}$), two timer interrupts (Timers 0 and 1), and the serial port interrupt. These interrupts are all shown in Figure 1.

Each of these interrupt sources can be individually enabled or disabled by setting or clearing a bit in Special Function Register IE. IE also contains a global disable bit, EA, which disables all interrupts at once.

Note that Table 4 shows that bit position IE.6 is unimplemented. In the AT89S51, bit position IE.5 is also unimplemented. User software should not write 1s to these bit positions, since they may be used in future AT89 products.

The Timer 0 and Timer 1 flags, TF0 and TF1, are set at S5P2 of the cycle in which the timers overflow. The values are then polled by the circuitry in the next cycle.

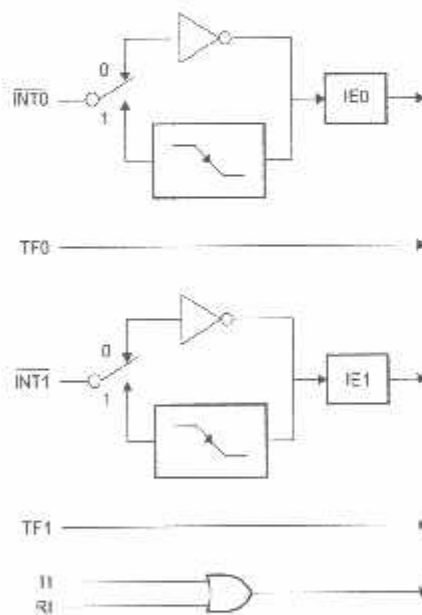
Table 4. Interrupt Enable (IE) Register

(MSB)		(LSB)					
EA	-	-	ES	ET1	EX1	ET0	EX0
Enable Bit = 1 enables the interrupt.							
Enable Bit = 0 disables the interrupt.							

Symbol	Position	Function
EA	IE.7	Disables all interrupts. If EA = 0, no interrupt is acknowledged. If EA = 1, each interrupt source is individually enabled or disabled by setting or clearing its enable bit.
-	IE.6	Reserved
-	IE.5	Reserved
ES	IE.4	Serial Port interrupt enable bit
ET1	IE.3	Timer 1 interrupt enable bit
EX1	IE.2	External interrupt 1 enable bit
ET0	IE.1	Timer 0 interrupt enable bit
EX0	IE.0	External interrupt 0 enable bit

User software should never write 1s to reserved bits, because they may be used in future AT89 products.

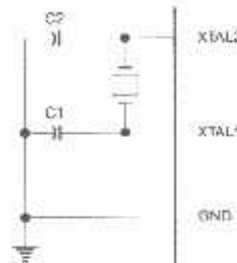
Figure 1. Interrupt Sources



Oscillator Characteristics

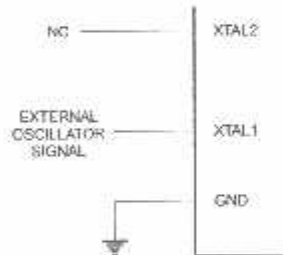
XTAL1 and XTAL2 are the input and output, respectively, of an inverting amplifier that can be configured for use as an on-chip oscillator, as shown in Figure 2. Either a quartz crystal or ceramic resonator may be used. To drive the device from an external clock source, XTAL2 should be left unconnected while XTAL1 is driven, as shown in Figure 3. There are no requirements on the duty cycle of the external clock signal, since the input to the internal clocking circuitry is through a divide-by-two flip-flop, but minimum and maximum voltage high and low time specifications must be observed.

Figure 2. Oscillator Connections



Note: C1, C2 = 30 pF ± 10 pF for Crystals = 40 pF ± 10 pF for Ceramic Resonators

Figure 3. External Clock Drive Configuration



Idle Mode

In idle mode, the CPU puts itself to sleep while all the on-chip peripherals remain active. The mode is invoked by software. The content of the on-chip RAM and all the special function registers remain unchanged during this mode. The idle mode can be terminated by any enabled interrupt or by a hardware reset.

Note that when idle mode is terminated by a hardware reset, the device normally resumes program execution from where it left off, up to two machine cycles before the internal reset algorithm takes control. On-chip hardware inhibits access to internal RAM in this event, but access to the port pins is not inhibited. To eliminate the possibility of an unexpected write to a port pin when idle mode is terminated by a reset, the instruction following the one that invokes idle mode should not write to a port pin or to external memory.

Power-down Mode

In the Power-down mode, the oscillator is stopped, and the instruction that invokes Power-down is the last instruction executed. The on-chip RAM and Special Function Registers retain their values until the Power-down mode is terminated. Exit from Power-down mode can be initiated either by a hardware reset or by activation of an enabled external interrupt into INT0 or INT1. Reset redefines the SFRs but does not change the on-chip RAM. The reset should not be activated before V_{CC} is restored to its normal operating level and must be held active long enough to allow the oscillator to restart and stabilize.



Table 5. Status of External Pins During Idle and Power-down Modes

Mode	Program Memory	ALE	PSEN	PORT0	PORT1	PORT2	PORT3
Idle	Internal	1	1	Data	Data	Data	Data
Idle	External	1	1	Float	Data	Address	Data
Power-down	Internal	0	0	Data	Data	Data	Data
Power-down	External	0	0	Float	Data	Data	Data

**rogram
memory Lock
s**

The AT89S51 has three lock bits that can be left unprogrammed (U) or can be programmed (P) to obtain the additional features listed in the following table.

Table 6. Lock Bit Protection Modes

	Program Lock Bits			Protection Type
	LB1	LB2	LB3	
1	U	U	U	No program lock features
2	P	U	U	MOV _C instructions executed from external program memory are disabled from fetching code bytes from internal memory, \overline{EA} is sampled and latched on reset, and further programming of the Flash memory is disabled
3	P	P	U	Same as mode 2, but verify is also disabled
4	P	P	P	Same as mode 3, but external execution is also disabled

When lock bit 1 is programmed, the logic level at the \overline{EA} pin is sampled and latched during reset. If the device is powered up without a reset, the latch initializes to a random value and holds that value until reset is activated. The latched value of \overline{EA} must agree with the current logic level at that pin in order for the device to function properly.

**rogramming
Flash –
parallel Mode**

The AT89S51 is shipped with the on-chip Flash memory array ready to be programmed. The programming interface needs a high-voltage (12-volt) program enable signal and is compatible with conventional third-party Flash or EPROM programmers.

The AT89S51 code memory array is programmed byte-by-byte.

Programming Algorithm: Before programming the AT89S51, the address, data, and control signals should be set up according to the Flash programming mode table and Figures 13 and 14. To program the AT89S51, take the following steps:

1. Input the desired memory location on the address lines.
2. Input the appropriate data byte on the data lines.
3. Activate the correct combination of control signals.
4. Raise \overline{EA}/V_{pp} to 12V.
5. Pulse ALE/\overline{PROG} once to program a byte in the Flash array or the lock bits. The byte-write cycle is self-timed and typically takes no more than 50 μ s. Repeat steps 1 through 5, changing the address and data for the entire array or until the end of the object file is reached.

Data Polling: The AT89S51 features Data Polling to indicate the end of a byte write cycle. During a write cycle, an attempted read of the last byte written will result in the complement of the written data on P0.7. Once the write cycle has been completed, true data is valid on all outputs, and the next cycle may begin. Data Polling may begin any time after a write cycle has been initiated.

Ready/Busy: The progress of byte programming can also be monitored by the RDY/ $\overline{\text{BSY}}$ output signal. P3.0 is pulled low after ALE goes high during programming to indicate $\overline{\text{BUSY}}$. P3.0 is pulled high again when programming is done to indicate **READY**.

Program Verify: If lock bits LB1 and LB2 have not been programmed, the programmed code data can be read back via the address and data lines for verification. The status of the individual lock bits can be verified directly by reading them back.

Reading the Signature Bytes: The signature bytes are read by the same procedure as a normal verification of locations 000H, 100H, and 200H, except that P3.6 and P3.7 must be pulled to a logic low. The values returned are as follows.

(000H) = 1EH indicates manufactured by Atmel
 (100H) = 51H indicates 89S51
 (200H) = 06H

Chip Erase: In the parallel programming mode, a chip erase operation is initiated by using the proper combination of control signals and by pulsing ALE/PROG low for a duration of 200 ns - 500 ns.

In the serial programming mode, a chip erase operation is initiated by issuing the Chip Erase instruction. In this mode, chip erase is self-timed and takes about 500 ms.

During chip erase, a serial read from any address location will return 00H at the data output.

Programming Flash – Serial Mode

The Code memory array can be programmed using the serial ISP interface while RST is pulled to V_{cc} . The serial interface consists of pins SCK, MOSI (input) and MISO (output). After RST is set high, the Programming Enable instruction needs to be executed first before other operations can be executed. Before a reprogramming sequence can occur, a Chip Erase operation is required.

The Chip Erase operation turns the content of every memory location in the Code array into FFH.

Either an external system clock can be supplied at pin XTAL1 or a crystal needs to be connected across pins XTAL1 and XTAL2. The maximum serial clock (SCK) frequency should be less than 1/16 of the crystal frequency. With a 33 MHz oscillator clock, the maximum SCK frequency is 2 MHz.

Serial Programming Algorithm

To program and verify the AT89S51 in the serial programming mode, the following sequence is recommended:

1. Power-up sequence:
 Apply power between VCC and GND pins.
 Set RST pin to "H".
 If a crystal is not connected across pins XTAL1 and XTAL2, apply a 3 MHz to 33 MHz clock to XTAL1 pin and wait for at least 10 milliseconds.
2. Enable serial programming by sending the Programming Enable serial instruction to pin MOSI/P1.5. The frequency of the shift clock supplied at pin SCK/P1.7 needs to be less than the CPU clock at XTAL1 divided by 16.
3. The Code array is programmed one byte at a time in either the Byte or Page mode. The write cycle is self-timed and typically takes less than 0.5 ms at 5V.
4. Any memory location can be verified by using the Read instruction that returns the content at the selected address at serial output MISO/P1.6.
5. At the end of a programming session, RST can be set low to commence normal device operation.



Power-off sequence (if needed):

Set XTAL1 to "L" (if a crystal is not used).

Set RST to "L".

Turn V_{CC} power off.

Data Polling: The Data Polling feature is also available in the serial mode. In this mode, during a write cycle an attempted read of the last byte written will result in the complement of the MSB of the serial output byte on MISO.

Serial Programming Instruction Set

The Instruction Set for Serial Programming follows a 4-byte protocol and is shown in Table 8 on page 18.

Parallel Programming Interface – Parallel Mode

Every code byte in the Flash array can be programmed by using the appropriate combination of control signals. The write operation cycle is self-timed and once initiated, will automatically time itself to completion.

All major programming vendors offer worldwide support for the Atmel microcontroller series. Please contact your local programming vendor for the appropriate software revision.

Table 7. Flash Programming Modes

Mode	V _{CC}	RST	PSEN	ALE/ PROG	EA/ V _{PP}	P2.6	P2.7	P3.3	P3.6	P3.7	P0.7-0 Data	Address	
												P2.3-0	P1.7-0
Write Code Data	5V	H	L	 ⁽²⁾	12V	L	H	H	H	H	D _{in}	A11-8	A7-0
Read Code Data	5V	H	L	H	H	L	L	L	H	H	D _{out}	A11-8	A7-0
Write Lock Bit 1	5V	H	L	 ⁽³⁾	12V	H	H	H	H	H	X	X	X
Write Lock Bit 2	5V	H	L	 ⁽³⁾	12V	H	H	H	L	L	X	X	X
Write Lock Bit 3	5V	H	L	 ⁽³⁾	12V	H	L	H	H	L	X	X	X
Write Lock Bits 0-3	5V	H	L	H	H	H	H	L	H	L	P0.2, P0.3, P0.4	X	X
Chip Erase	5V	H	L	 ⁽¹⁾	12V	H	L	H	L	L	X	X	X
Read Atmel ID	5V	H	L	H	H	L	L	L	L	L	1EH	0000	00H
Read Device ID	5V	H	L	H	H	L	L	L	L	L	51H	0001	00H
Read Device ID	5V	H	L	H	H	L	L	L	L	L	06H	0010	00H

- Notes:
1. Each PROG pulse is 200 ns - 500 ns for Chip Erase.
 2. Each PROG pulse is 200 ns - 500 ns for Write Code Data.
 3. Each PROG pulse is 200 ns - 500 ns for Write Lock Bits.
 4. RDY/BSY signal is output on P3.0 during programming.
 5. X = don't care.

Figure 4. Programming the Flash Memory (Parallel Mode)

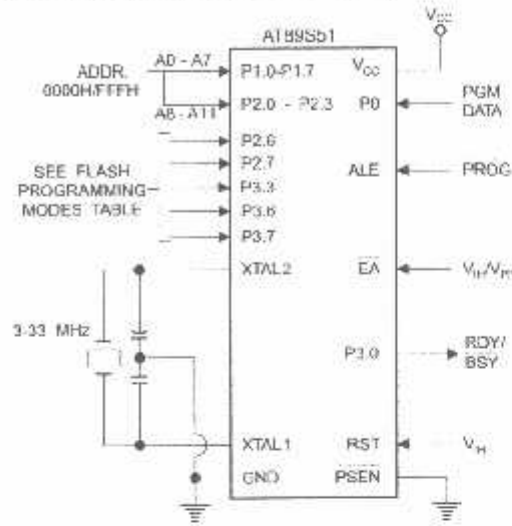
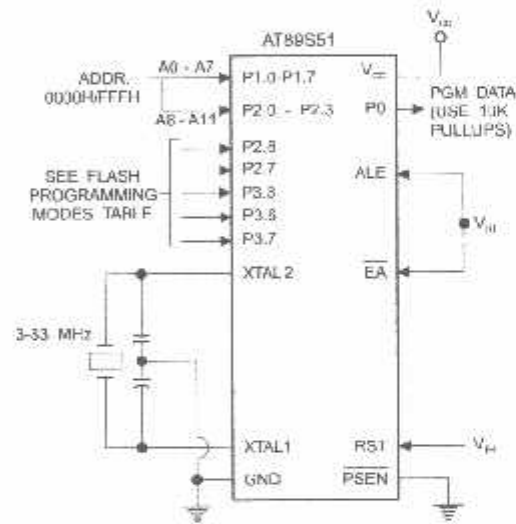


Figure 5. Verifying the Flash Memory (Parallel Mode)



Flash Programming and Verification Characteristics (Parallel Mode)

20°C to 30°C, $V_{CC} = 4.5$ to $5.5V$

Symbol	Parameter	Min	Max	Units
V_{PP}	Programming Supply Voltage	11.5	12.5	V
I_{PP}	Programming Supply Current		10	mA
I_{CC}	V_{CC} Supply Current		30	mA
f_{OSC}	Oscillator Frequency	3	33	MHz
t_{AS}	Address Setup to \overline{PROG} Low	$48t_{CLCL}$		
t_{AH}	Address Hold After \overline{PROG}	$48t_{CLCL}$		
t_{DS}	Data Setup to \overline{PROG} Low	$48t_{CLCL}$		
t_{DH}	Data Hold After \overline{PROG}	$48t_{CLCL}$		
t_{E1}	P2.7 (ENABLE) High to V_{PP}	$48t_{CLCL}$		
t_{VPP}	V_{PP} Setup to \overline{PROG} Low	10		μs
t_{VPPH}	V_{PP} Hold After \overline{PROG}	10		μs
t_{PW}	\overline{PROG} Width	0.2	1	μs
t_{ADV}	Address to Data Valid		$48t_{CLCL}$	
t_{ENL}	ENABLE Low to Data Valid		$48t_{CLCL}$	
t_{DF}	Data Float After ENABLE	0	$48t_{CLCL}$	
t_{PH}	\overline{PROG} High to \overline{BUSY} Low		1.0	μs
t_{WC}	Byte Write Cycle Time		50	μs

Figure 6. Flash Programming and Verification Waveforms – Parallel Mode

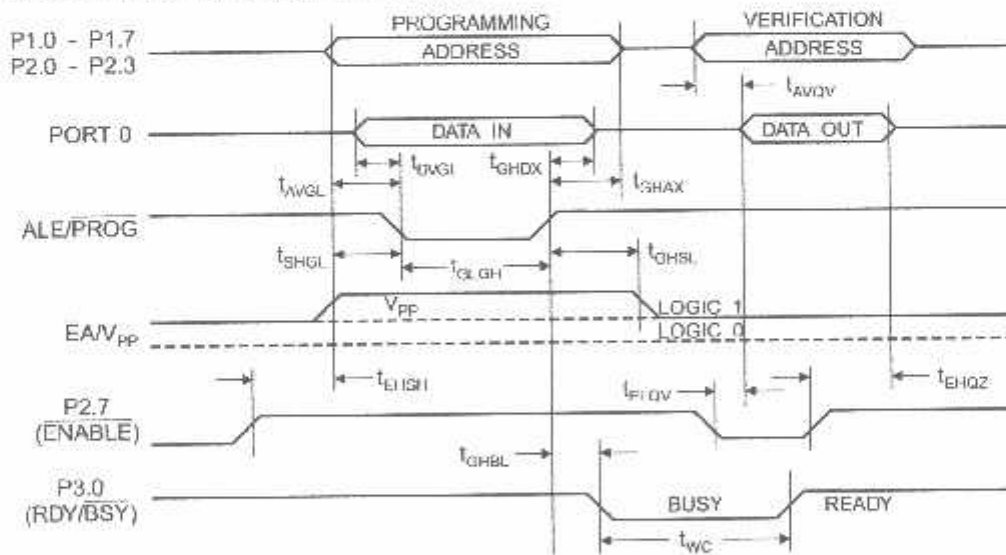
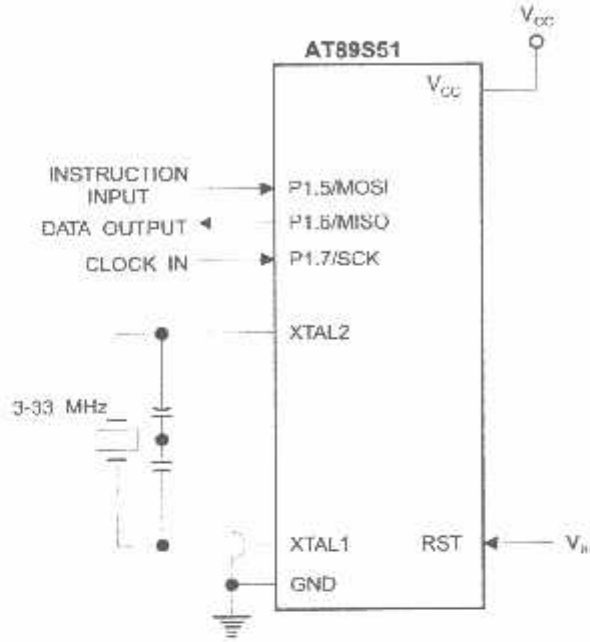


Figure 7. Flash Memory Serial Downloading



Flash Programming and Verification Waveforms – Serial Mode

Figure 8. Serial Programming Waveforms

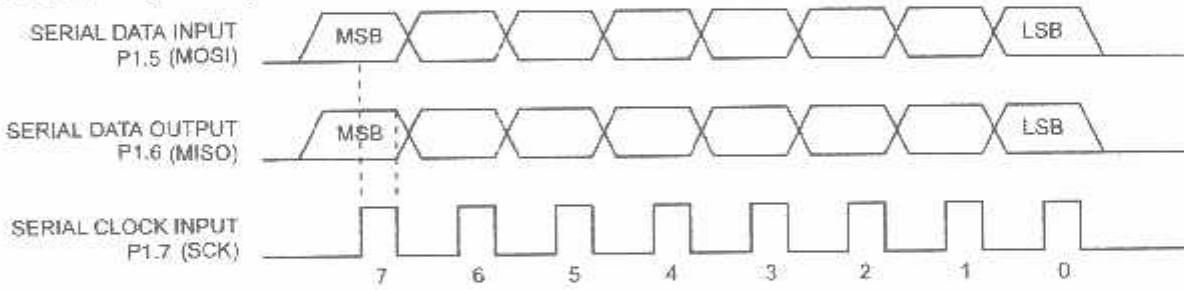


Table 8. Serial Programming Instruction Set

Instruction	Instruction Format				Operation
	Byte 1	Byte 2	Byte 3	Byte 4	
Programming Enable	1010 1100	0101 0011	xxxx xxxx	xxxx xxxx 0110 1001 (Output)	Enable Serial Programming while RST is high
Chip Erase	1010 1100	100x xxxx	xxxx xxxx	xxxx xxxx	Chip Erase Flash memory array
Read Program Memory (Byte Mode)	0010 0000	xxxx A7 A6 A5 A4 A3 A2 A1 A0	A7 A6 A5 A4 A3 A2 A1 A0	D7 D6 D5 D4 D3 D2 D1 D0	Read data from Program memory in the byte mode
Write Program Memory (Byte Mode)	0100 0000	xxxx A7 A6 A5 A4 A3 A2 A1 A0	A7 A6 A5 A4 A3 A2 A1 A0	D7 D6 D5 D4 D3 D2 D1 D0	Write data to Program memory in the byte mode
Write Lock Bits ⁽²⁾	1010 1100	1110 00 B1 B2	xxxx xxxx	xxxx xxxx	Write Lock bits. See Note (2).
Read Lock Bits	0010 0100	xxxx xxxx	xxxx xxxx	xx B2 B1 xx	Read back current status of the lock bits (a programmed lock bit reads back as a "1")
Read Signature Bytes ⁽¹⁾	0010 1000	xxx A5 A4 A3 A2 A1	A0 xxx xxxx	Signature Byte	Read Signature Byte
Read Program Memory (Page Mode)	0011 0000	xxxx A11 A10 A9 A8	Byte 0	Byte 1... Byte 255	Read data from Program memory in the Page Mode (256 bytes)
Write Program Memory (Page Mode)	0101 0000	xxxx A11 A10 A9 A8	Byte 0	Byte 1... Byte 255	Write data to Program memory in the Page Mode (256 bytes)

Notes: 1. The signature bytes are not readable in Lock Bit Modes 3 and 4.

2. B1 = 0, B2 = 0 → Mode 1, no lock protection
- B1 = 0, B2 = 1 → Mode 2, lock bit 1 activated
- B1 = 1, B2 = 0 → Mode 3, lock bit 2 activated
- B1 = 1, B2 = 1 → Mode 4, lock bit 3 activated

Each of the lock bits needs to be activated sequentially before Mode 4 can be executed.

After Reset signal is high, SCK should be low for at least 64 system clocks before it goes high to clock in the enable data bytes. No pulsing of Reset signal is necessary. SCK should be no faster than 1/16 of the system clock at XTAL1.

For Page Read/Write, the data always starts from byte 0 to 255. After the command byte and upper address byte are latched, each byte thereafter is treated as data until all 256 bytes are shifted in/out. Then the next instruction will be ready to be decoded.

Serial Programming Characteristics

Figure 9. Serial Programming Timing

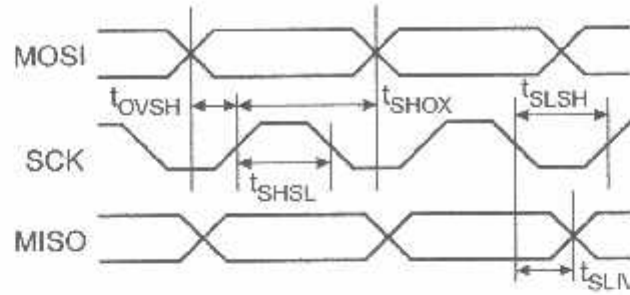


Table 9. Serial Programming Characteristics, $T_A = -40^\circ\text{C}$ to 85°C , $V_{CC} = 4.0 - 5.5\text{V}$ (Unless Otherwise Noted)

Symbol	Parameter	Min	Typ	Max	Units
f_{CLCL}	Oscillator Frequency	0		33	MHz
t_{CLCL}	Oscillator Period	30			ns
t_{SHSL}	SCK Pulse Width High	$8 t_{CLCL}$			ns
t_{SLSH}	SCK Pulse Width Low	$8 t_{CLCL}$			ns
t_{OVSH}	MOSI Setup to SCK High	t_{CLCL}			ns
t_{SHOX}	MOSI Hold after SCK High	$2 t_{CLCL}$			ns
t_{SLIV}	SCK Low to MISO Valid	10	16	32	ns
t_{ERASE}	Chip Erase Instruction Cycle Time			500	ms
t_{SWC}	Serial Byte Write Cycle Time			$64 t_{CLCL} + 400$	μs



Absolute Maximum Ratings*

Operating Temperature.....	-55°C to +125°C
Storage Temperature.....	-65°C to +150°C
Voltage on Any Pin with Respect to Ground.....	-1.0V to +7.0V
Maximum Operating Voltage.....	6.6V
Output Current.....	15.0 mA

*NOTICE: Stresses beyond those listed under "Absolute Maximum Ratings" may cause permanent damage to the device. This is a stress rating only and functional operation of the device at these or any other conditions beyond those indicated in the operational sections of this specification is not implied. Exposure to absolute maximum rating conditions for extended periods may affect device reliability.

Characteristics

Values shown in this table are valid for $T_A = -40^\circ\text{C}$ to 85°C and $V_{CC} = 4.0\text{V}$ to 5.5V , unless otherwise noted.

Symbol	Parameter	Condition	Min	Max	Units
	Input Low Voltage	(Except EA)	-0.5	$0.2 V_{CC} - 0.1$	V
	Input Low Voltage (EA)		-0.5	$0.2 V_{CC} - 0.3$	V
	Input High Voltage	(Except XTAL1, RST)	$0.2 V_{CC} + 0.9$	$V_{CC} + 0.5$	V
	Input High Voltage	(XTAL1, RST)	$0.7 V_{CC}$	$V_{CC} + 0.5$	V
	Output Low Voltage ⁽¹⁾ (Ports 1,2,3)	$I_{OL} = 1.6 \text{ mA}$		0.45	V
	Output Low Voltage ⁽¹⁾ (Port 0, ALE, PSEN)	$I_{OL} = 3.2 \text{ mA}$		0.45	V
	Output High Voltage (Ports 1,2,3, ALE, PSEN)	$I_{OH} = -60 \mu\text{A}, V_{CC} = 5\text{V} \pm 10\%$	2.4		V
		$I_{OH} = -25 \mu\text{A}$	$0.75 V_{CC}$		V
		$I_{OH} = -10 \mu\text{A}$	$0.9 V_{CC}$		V
	Output High Voltage (Port 0 in External Bus Mode)	$I_{OH} = -800 \mu\text{A}, V_{CC} = 5\text{V} \pm 10\%$	2.4		V
		$I_{OH} = -300 \mu\text{A}$	$0.75 V_{CC}$		V
		$I_{OH} = -80 \mu\text{A}$	$0.9 V_{CC}$		V
	Logical 0 Input Current (Ports 1,2,3)	$V_{IN} = 0.45\text{V}$		-50	μA
	Logical 1 to 0 Transition Current (Ports 1,2,3)	$V_{IN} = 2\text{V}, V_{CC} = 5\text{V} \pm 10\%$		-650	μA
	Input Leakage Current (Port 0, EA)	$0.45 < V_{IN} < V_{CC}$		-10	μA
ST	Reset Pulldown Resistor		50	300	$\text{K}\Omega$
	Pin Capacitance	Test Freq. = 1 MHz, $T_A = 25^\circ\text{C}$		10	pF
	Power Supply Current	Active Mode, 12 MHz		25	mA
		Idle Mode, 12 MHz		6.5	mA
	Power-down Mode ⁽²⁾	$V_{CC} = 5.5\text{V}$		50	μA

Notes: 1. Under steady state (non-transient) conditions, I_{OL} must be externally limited as follows:

Maximum I_{OL} per port pin: 10 mA

Maximum I_{OL} per 8-bit port:

Port 0: 26 mA Ports 1, 2, 3: 15 mA

Maximum total I_{OL} for all output pins: 71 mA

If I_{OL} exceeds the test condition, V_{OL} may exceed the related specification. Pins are not guaranteed to sink current greater than the listed test conditions.

2. Minimum V_{CC} for Power-down is 2V.

AT89S51

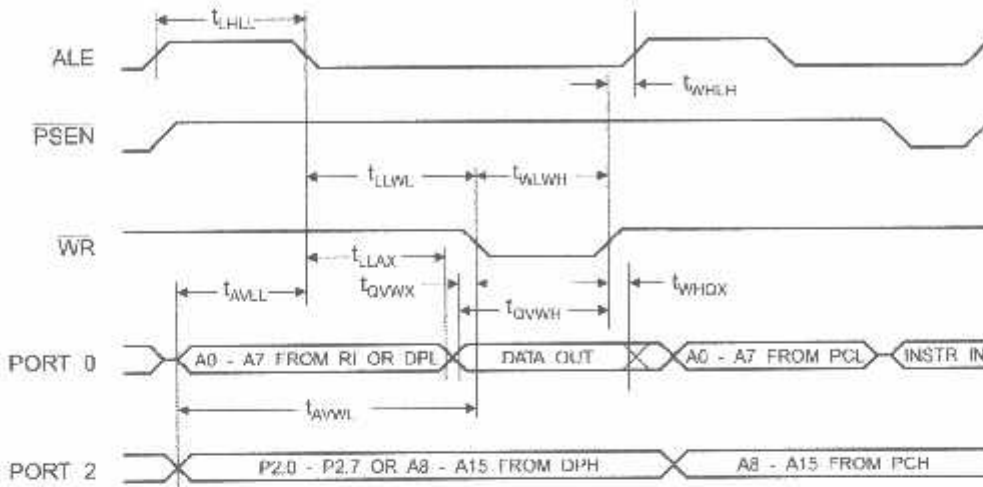
Characteristics

er operating conditions, load capacitance for Port 0, ALE/PROG, and PSEN = 100 pF; load capacitance for all other uts = 80 pF.

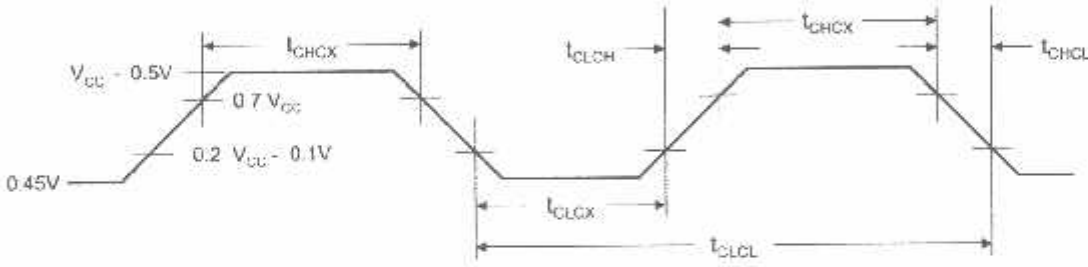
Internal Program and Data Memory Characteristics

Symbol	Parameter	12 MHz Oscillator		Variable Oscillator		Units
		Min	Max	Min	Max	
f _{osc}	Oscillator Frequency			0	33	MHz
t _{PL}	ALE Pulse Width	127		2t _{CLCL} -40		ns
t _{AVL}	Address Valid to ALE Low	43		t _{CLCL} -25		ns
t _{AH}	Address Hold After ALE Low	48		t _{CLCL} -25		ns
t _{ALV}	ALE Low to Valid Instruction In		233		4t _{CLCL} -65	ns
t _{ALP}	ALE Low to PSEN Low	43		t _{CLCL} -25		ns
t _{PH}	PSEN Pulse Width	205		3t _{CLCL} -45		ns
t _{PLV}	PSEN Low to Valid Instruction In		145		3t _{CLCL} -60	ns
t _{IK}	Input Instruction Hold After PSEN	0		0		ns
t _{IZ}	Input Instruction Float After PSEN		59		t _{CLCL} -25	ns
t _{PSV}	PSEN to Address Valid	75		t _{CLCL} -8		ns
t _{AVI}	Address to Valid instruction In		312		5t _{CLCL} -80	ns
t _{PLZ}	PSEN Low to Address Float		10		10	ns
t _{RD}	RD Pulse Width	400		6t _{CLCL} -100		ns
t _{WR}	WR Pulse Width	400		6t _{CLCL} -100		ns
t _{RDV}	RD Low to Valid Data In		252		5t _{CLCL} -90	ns
t _{DDH}	Data Hold After RD	0		0		ns
t _{DDF}	Data Float After RD		97		2t _{CLCL} -28	ns
t _{ALVD}	ALE Low to Valid Data In		517		8t _{CLCL} -150	ns
t _{AVD}	Address to Valid Data In		585		9t _{CLCL} -165	ns
t _{ALWR}	ALE Low to RD or WR Low	200	300	3t _{CLCL} -50	3t _{CLCL} +50	ns
t _{AVWR}	Address to RD or WR Low	203		4t _{CLCL} -75		ns
t _{DDVWR}	Data Valid to WR Transition	23		t _{CLCL} -30		ns
t _{DDVWH}	Data Valid to WR High	433		7t _{CLCL} -130		ns
t _{DDHWR}	Data Hold After WR	33		t _{CLCL} -25		ns
t _{RDZ}	RD Low to Address Float		0		0	ns
t _{RDH}	RD or WR High to ALE High	43	123	t _{CLCL} -25	t _{CLCL} +25	ns

Internal Data Memory Write Cycle



Internal Clock Drive Waveforms



Internal Clock Drive

Symbol	Parameter	Min	Max	Units
f _{CLCL}	Oscillator Frequency	0	33	MHz
T _{CL}	Clock Period	30		ns
t _{CHCX}	High Time	12		ns
t _{CLCX}	Low Time	12		ns
t _{CH}	Rise Time		5	ns
t _{CL}	Fall Time		5	ns

Ordering Information

Speed (MHz)	Power Supply	Ordering Code	Package	Operation Range
24	4.0V to 5.5V	AT89S51-24AC	44A	Commercial (0° C to 70° C)
		AT89S51-24JC	44J	
		AT89S51-24PC	40P6	
		AT89S51-24AI	44A	Industrial (-40° C to 85° C)
		AT89S51-24JI	44J	
		AT89S51-24PI	40P6	
33	4.5V to 5.5V	AT89S51-33AC	44A	Commercial (0° C to 70° C)
		AT89S51-33JC	44J	
		AT89S51-33PC	40P6	

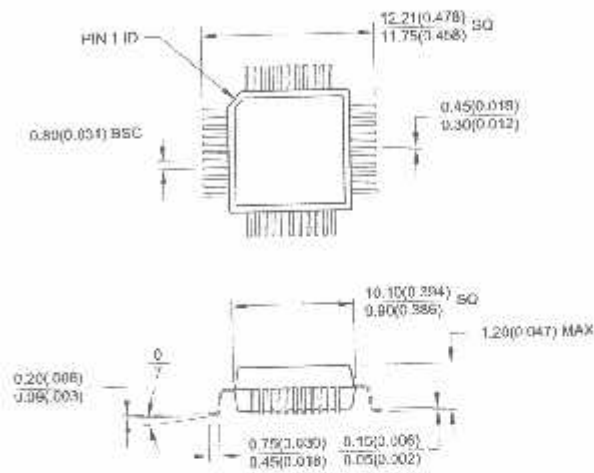
 = Preliminary Availability

Package Type	
44	44-lead, Thin Plastic Gull Wing Quad Flatpack (TQFP)
44	44-lead, Plastic J-leaded Chip Carrier (PLCC)
40	40-pin, 0.600" Wide, Plastic Dual In-line Package (PDIP)

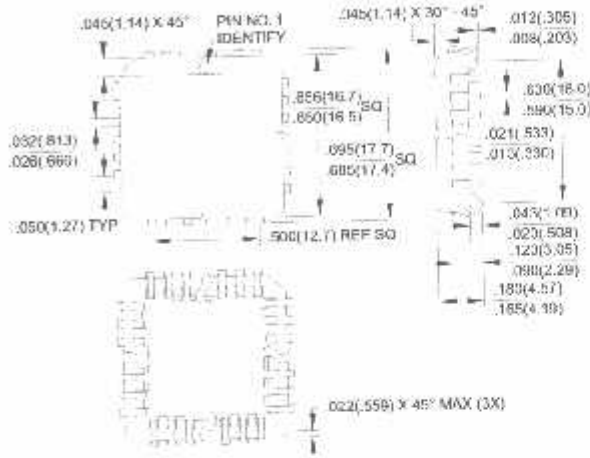


Packaging Information

44A, 44-lead, Thin (1.0 mm) Plastic Gull Wing Quad Flat Package (TQFP)
 Dimensions in Millimeters and (Inches)*

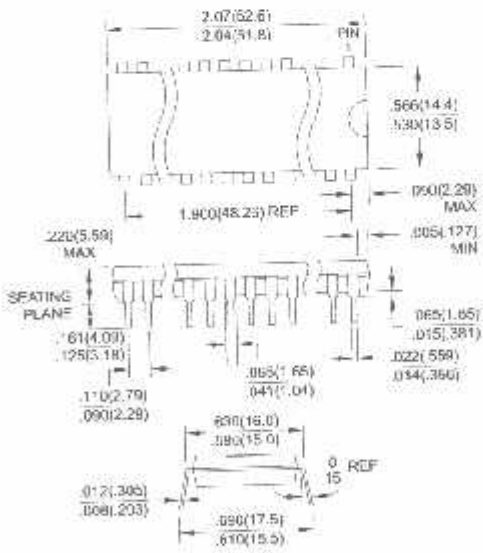


44J, 44-lead, Plastic J-leaded Chip Carrier (PLCC)
 Dimensions in Inches and (Millimeters)



*Controlling dimension: millimeters

40P6, 40-pin, 0.600" Wide, Plastic Dual Inline Package (PDIP)
 Dimensions in Inches and (Millimeters)
 JEDEC STANDARD MS-011 AC





Atmel Headquarters

Corporate Headquarters
325 Orchard Parkway
San Jose, CA 95131
TEL (408) 441-0311
FAX (408) 487-2600

Europe
Atmel SarL
Route des Arsenaux 41
Case Postale 80
CH-1705 Fribourg
Switzerland
TEL (41) 26-426-5555
FAX (41) 26-426-5500

Asia
Atmel Asia, Ltd.
Room 1219
Shinachem Golden Plaza
7 Mody Road Tsimhatsui
Kowloon
Hong Kong
TEL (852) 2721-9778
FAX (852) 2722-1369

Japan
Atmel Japan K.K.
F, Tonetsu Shinkawa Bldg.
-24-8 Shinkawa
Chuo-ku, Tokyo 104-0033
Japan
TEL (81) 3-3523-3551
FAX (81) 3-3523-7581

Atmel Product Operations

Atmel Colorado Springs
1150 E. Cheyenne Mtn. Blvd.
Colorado Springs, CO 80906
TEL (719) 576-3300
FAX (719) 540-1759

Atmel Grenoble
Avenue de Rochepleine
BP 123
38521 Saint-Egreve Cedex, France
TEL (33) 4-7658-3000
FAX (33) 4-7658-3480

Atmel Heilbronn
Theresienstrasse 2
POB 3535
D-74025 Heilbronn, Germany
TEL (49) 71 31 67 25 94
FAX (49) 71 31 67 24 23

Atmel Nantes
La Chantrierie
BP 70602
44306 Nantes Cedex 3, France
TEL (33) 0 2 40 18 18 18
FAX (33) 0 2 40 18 19 60

Atmel Rousset
Zone Industrielle
13106 Rousset Cedex, France
TEL (33) 4-4253-6000
FAX (33) 4-4253-6001

Atmel Smart Card ICs
Scottish Enterprise Technology Park
East Kilbride, Scotland G75 0QR
TEL (44) 1355-357-000
FAX (44) 1355-242-743

e-mail
literature@atmel.com

Web Site
<http://www.atmel.com>

Atmel Corporation 2001.

Atmel Corporation makes no warranty for the use of its products, other than those expressly contained in the Company's standard warranty which is detailed in Atmel's Terms and Conditions located on the Company's web site. The Company assumes no responsibility for any errors that may appear in this document, reserves the right to change devices or specifications detailed herein at any time without notice, and does not make any commitment to update the information contained herein. No licenses to patents or other intellectual property of Atmel are granted by the Company in connection with the sale of Atmel products, expressly or by implication. Atmel's products are not authorized for use as critical components in life support devices or systems.

Atmel is the registered trademark of Atmel.

Atmel is the registered trademark of Intel Corporation. Terms and product names in this document may be trademarks of others.



Printed on recycled paper.

2487A-10/01/xM

LM567/LM567C Tone Decoder

General Description

The LM567 and LM567C are general purpose tone decoders designed to provide a saturated transistor switch to ground when an input signal is present within the passband. The circuit consists of an I and Q detector driven by a voltage controlled oscillator which determines the center frequency of the decoder. External components are used to independently set center frequency, bandwidth, and output delay.

Features

- 20 to 1 frequency range with an external resistor
- Logic compatible output with 100 mA current sinking capability
- Bandwidth adjustable from 0 to 14%

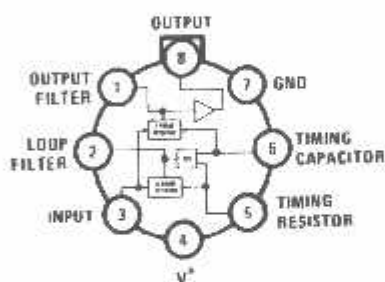
- High rejection of out of band signals and noise
- Immunity to false signals
- Highly stable center frequency
- Center frequency adjustable from 0.01 Hz to 500 kHz

Applications

- Touch tone decoding
- Precision oscillator
- Frequency monitoring and control
- Wide band FSK demodulation
- Ultrasonic controls
- Carrier current remote controls
- Communications paging decoders

Connection Diagrams

Metal Can Package

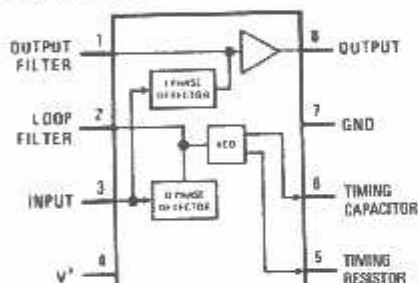


00667001

Top View

Order Number LM567H or LM567CH
See NS Package Number H08C

Dual-In-Line and Small Outline Packages



01667002

Top View

Order Number LM567CM
See NS Package Number M08A
Order Number LM567CN
See NS Package Number N08E

Absolute Maximum Ratings (Note 1)

If Military/Aerospace specified devices are required, please contact the National Semiconductor Sales Office/Distributors for availability and specifications.

Supply Voltage Pin	9V
Power Dissipation (Note 2)	1100 mW
V_B	15V
V_J	-10V
V_A	$V_A + 0.5V$
Storage Temperature Range	-65°C to +150°C
Operating Temperature Range	

LM567H	-55°C to +125°C
LM567CH, LM567CM, LM567CN	0°C to +70°C

Soldering Information

Dual-In-Line Package	
Soldering (10 sec.)	260°C
Small Outline Package	
Vapor Phase (60 sec.)	215°C
Infrared (15 sec.)	220°C

See AN-450 "Surface Mounting Methods and Their Effect on Product Reliability" for other methods of soldering surface mount devices.

Electrical Characteristics

AC Test Circuit, $T_A = 25^\circ\text{C}$, $V^+ = 5V$

Parameters	Conditions	LM567			LM567C/LM567CM			Units
		Min	Typ	Max	Min	Typ	Max	
Power Supply Voltage Range		4.75	5.0	9.0	4.75	5.0	9.0	V
Power Supply Current Quiescent	$R_L = 20k$		6	8		7	10	mA
Power Supply Current Activated	$R_L = 20k$		11	13		12	15	mA
Input Resistance		18	20		15	20		k Ω
Smallest Detectable Input Voltage	$I_L = 100 \text{ mA}$, $f_i = f_o$		20	25		20	25	mVrms
Largest No Output Input Voltage	$I_C = 100 \text{ mA}$, $f_i = f_o$	10	15		10	15		mVrms
Largest Simultaneous Outband Signal to Inband Signal Ratio			6			8		dB
Minimum Input Signal to Wideband Noise Ratio	$B_n = 140 \text{ kHz}$		-6			-6		dB
Largest Detection Bandwidth		12	14	16	10	14	18	% of f_o
Largest Detection Bandwidth Skew			1	2		2	3	% of f_o
Largest Detection Bandwidth Variation with Temperature			± 0.1			± 0.1		%/C
Largest Detection Bandwidth Variation with Supply Voltage	4.75-6.75V		± 1	± 2		± 1	± 5	%V
Highest Center Frequency		100	500		100	500		kHz
Center Frequency Stability (4.75-5.75V)	$0 < T_A < 70$ $-55 < T_A < +125$		35 ± 60 35 ± 140			35 ± 60 35 ± 140		ppm/C ppm/C
Center Frequency Shift with Supply Voltage	4.75V-6.75V 4.75V-9V		0.5 2.0	1.0 2.0		0.4 2.0	2.0 2.0	%V %V
Fastest ON-OFF Cycling Rate			$f_o/20$			$f_o/20$		
Output Leakage Current	$V_B = 15V$		0.01	25		0.01	25	μA
Output Saturation Voltage	$e_i = 25 \text{ mV}$, $I_B = 30 \text{ mA}$ $e_i = 25 \text{ mV}$, $I_B = 100 \text{ mA}$		0.2 0.6	0.4 1.0		0.2 0.6	0.4 1.0	V
Output Fall Time			30			30		ns
Output Rise Time			150			150		ns

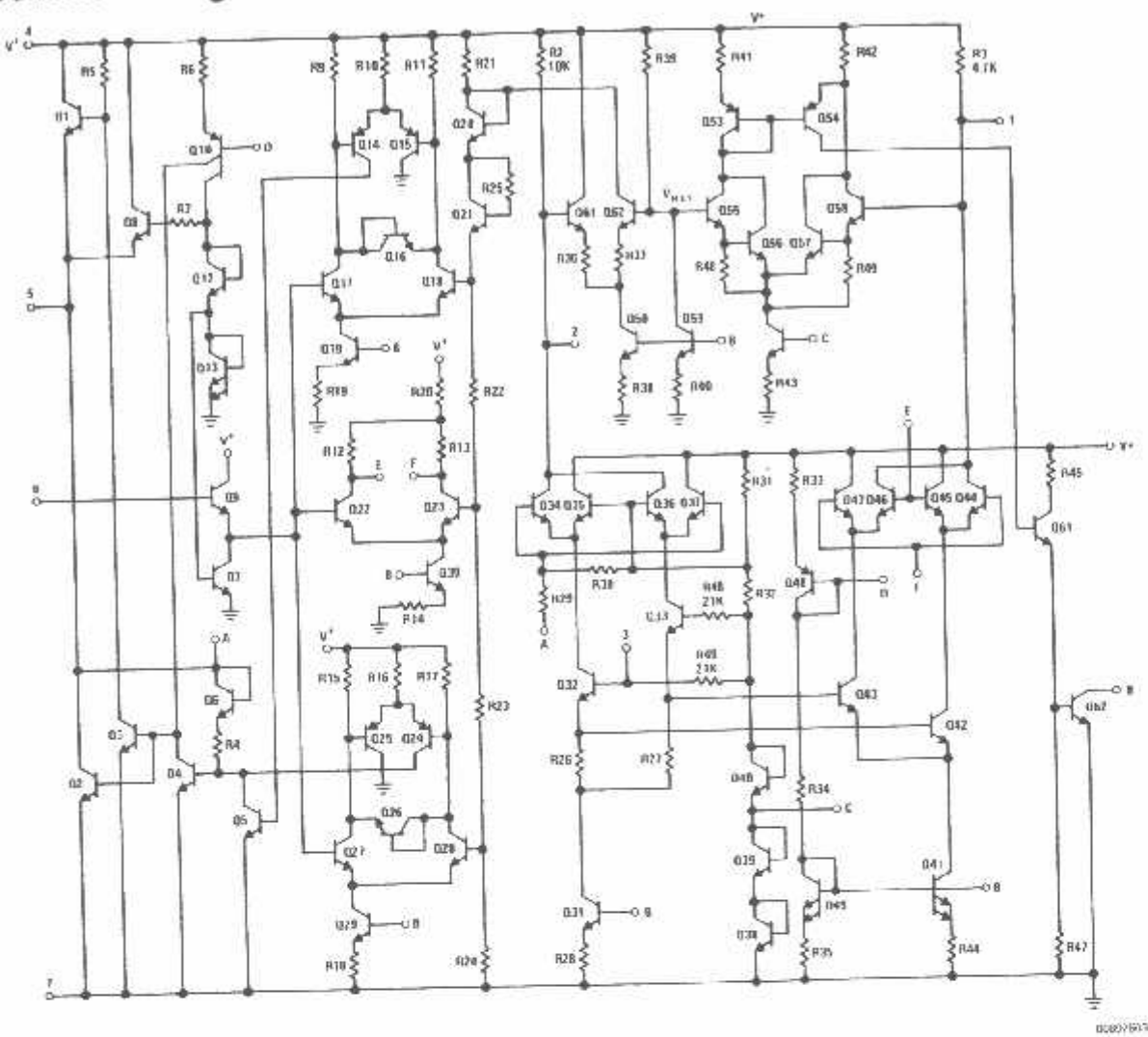
Note 1: Absolute Maximum Ratings indicate limits beyond which damage to the device may occur. Operating Ratings indicate conditions for which the device is functional, but do not guarantee specific performance limits. Electrical Characteristics state DC and AC electrical specifications under particular test conditions which guarantee specific performance limits. This assumes that the device is within the Operating Ratings. Specifications are not guaranteed for parameters where no limit is given; however, the typical value is a good indication of device performance.

Note 2: The maximum junction temperature of the LM567 and LM567C is 150°C. For operating at elevated temperatures, devices in the TO-9 package must be derated based on a thermal resistance of 150°C/W, junction to ambient or 45°C/W, junction to case. For the DIP the device must be derated based on a thermal resistance of 110°C/W, junction to ambient. For the Small Outline package, the device must be derated based on a thermal resistance of 160°C/W, junction to ambient.

Note 3: Refer to RET567X drawing for specifications of military LM567H version.

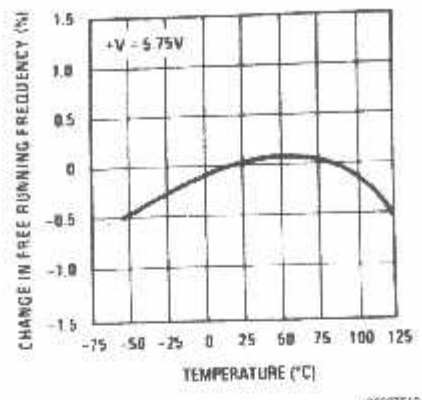
Schematic Diagram

LM567/LM567C

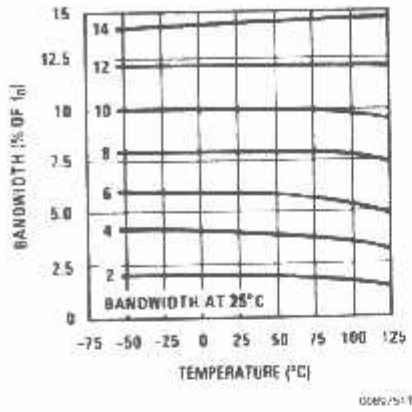


Typical Performance Characteristics

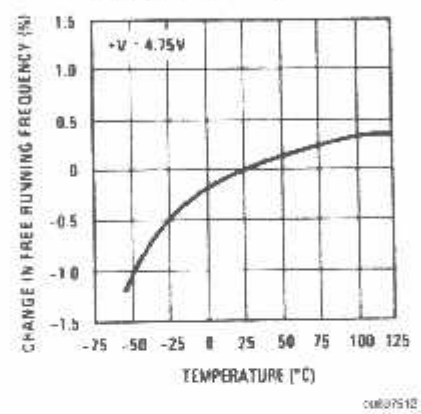
Typical Frequency Drift



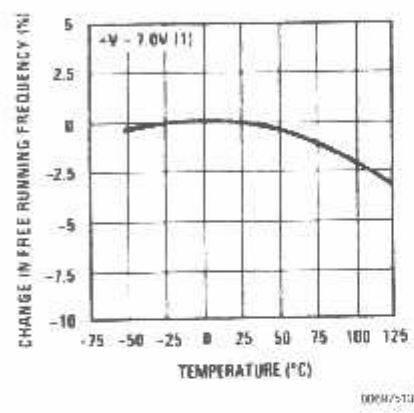
Typical Bandwidth Variation



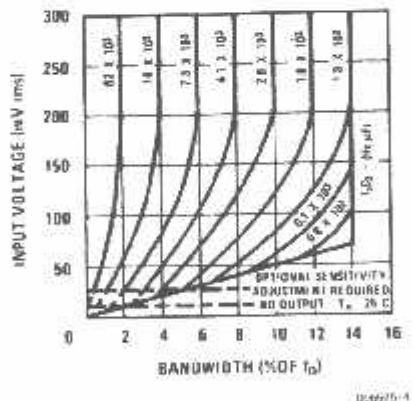
Typical Frequency Drift



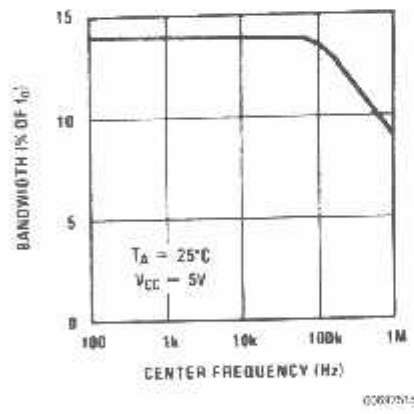
Typical Frequency Drift



Bandwidth vs Input Signal Amplitude



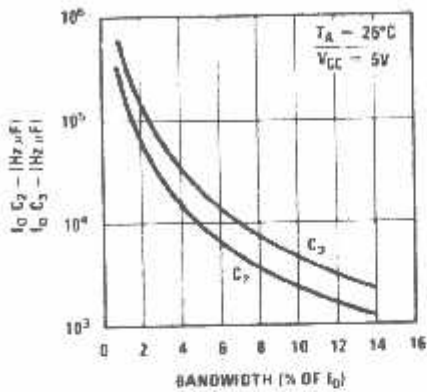
Largest Detection Bandwidth



Typical Performance Characteristics (Continued)

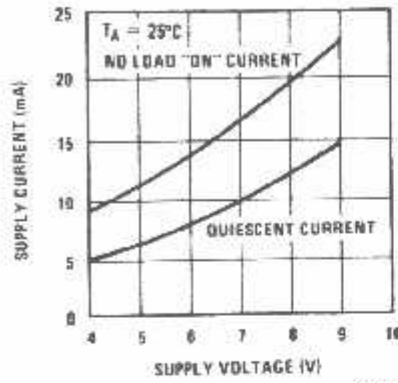
LM567/LM567C

Detection Bandwidth as a Function of C_2 and C_3



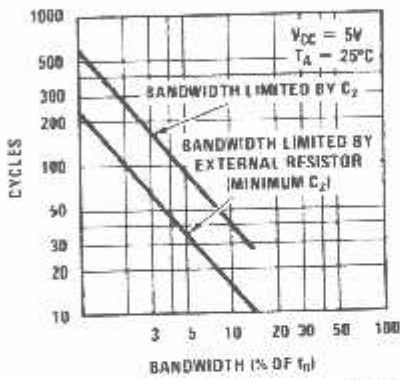
00697510

Typical Supply Current vs Supply Voltage



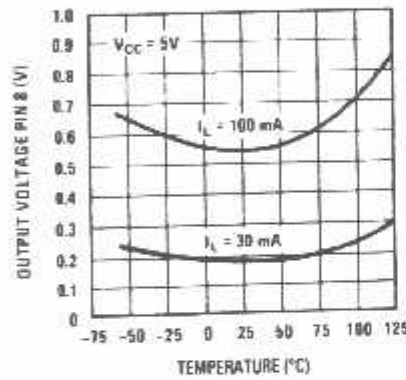
00697217

Greatest Number of Cycles Before Output



00697510

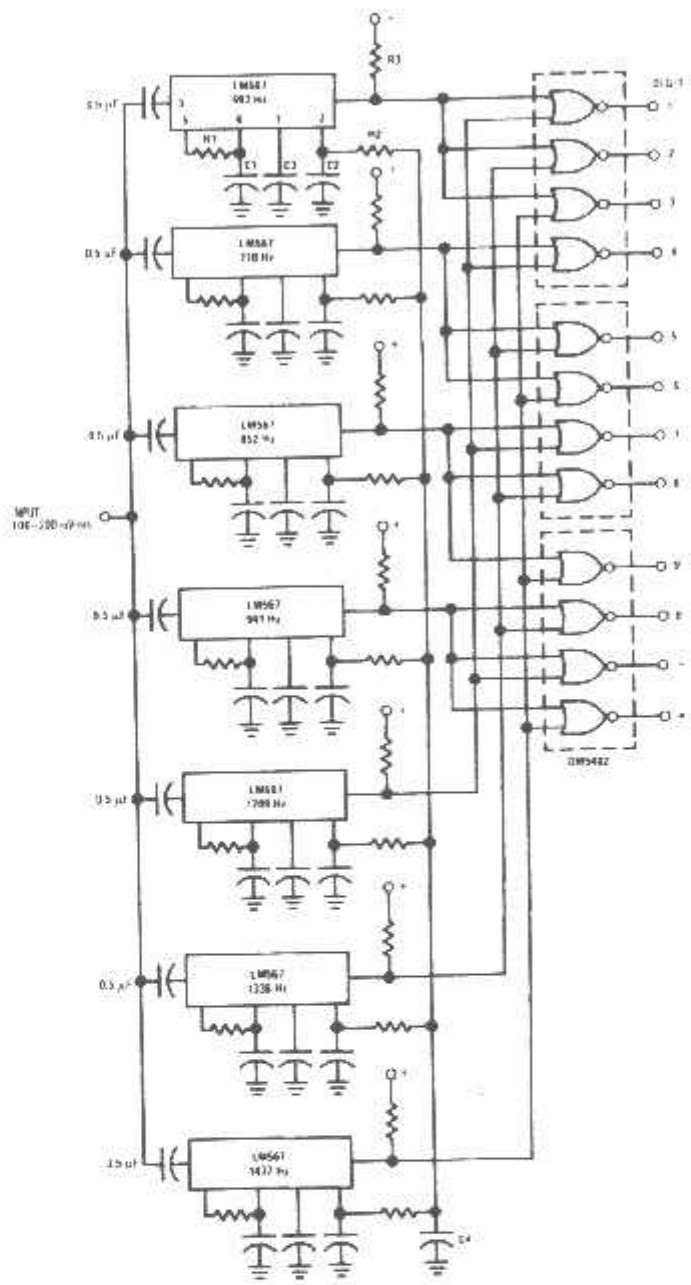
Typical Output Voltage vs Temperature



00697510

Typical Applications

Touch-Tone Decoder



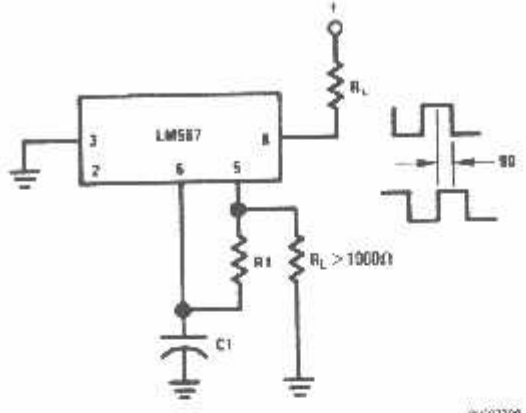
00057020

Component values (typ)

- R1 6.8 to 15k
- R2 4.7k
- R3 20k
- C1 0.10 mfd
- C2 1.0 mfd 6V
- C3 2.2 mfd 6V
- C4 250 mfd 6V

Typical Applications (Continued)

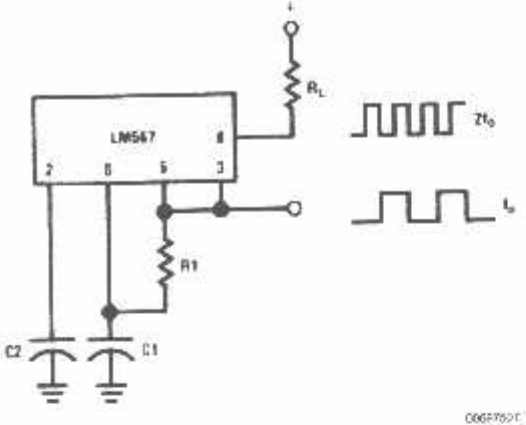
Oscillator with Quadrature Output



connect Pin 3 to 2.8V to Invert Output

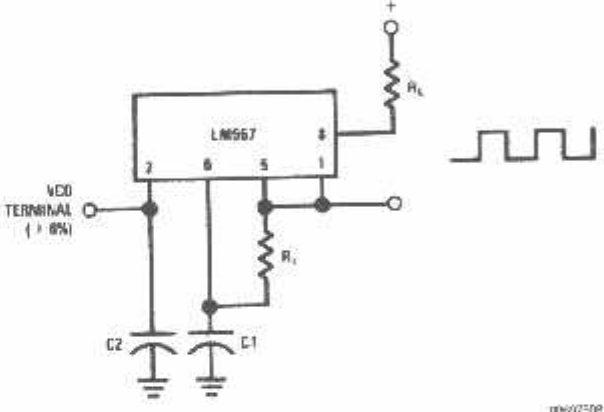
ms607506

Oscillator with Double Frequency Output



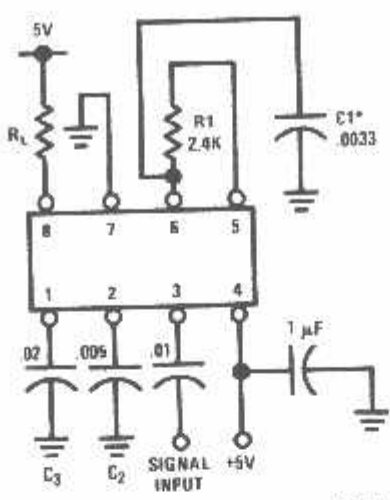
ms607507

Precision Oscillator Drive 100 mA Loads



ms607509

AC Test Circuit



$f_c = 100 \text{ kHz} \pm 5\%$
 *Note: Adjust for $f_c = 100 \text{ kHz}$.

Applications Information

The center frequency of the tone decoder is equal to the free running frequency of the VCO. This is given by

$$f_o \approx \frac{1}{1.1 R_1 C_1}$$

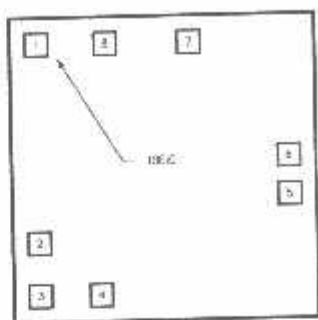
The bandwidth of the filter may be found from the approximation

$$BW = 1070 \sqrt{\frac{V_i}{f_o C_2}} \text{ in } \% \text{ of } f_o$$

Where:
 V_i = Input voltage (volts rms), $V_i \leq 200\text{mV}$
 C_2 = Capacitance at Pin 2 (μF)

LM567C MDC MWC
ONE DECODER

LM567/LM567C



Die Layout (C - Step)

DIE/WAFER CHARACTERISTICS

Fabrication Attributes		General Die Information	
Physical Die Identification	LM567C	Bond Pad Opening Size (min)	91µm x 91µm
Die Step	C	Bond Pad Metalization	0.5% COPPER_BAL ALUMINUM
Physical Attributes		Passivation	VOM NITRIDE
Wafer Diameter	150mm	Back Side Metal	BARE BACK
Die Size (Drawn)	1600µm x 1626µm 63.0mils x 64.0mils	Back Side Connection	Floating
Thickness	406µm Nominal		
Pin Pitch	198µm Nominal		

Special Assembly Requirements:

Note: Actual die size is rounded to the nearest micron.

Die Bond Pad Coordinate Locations (C - Step)

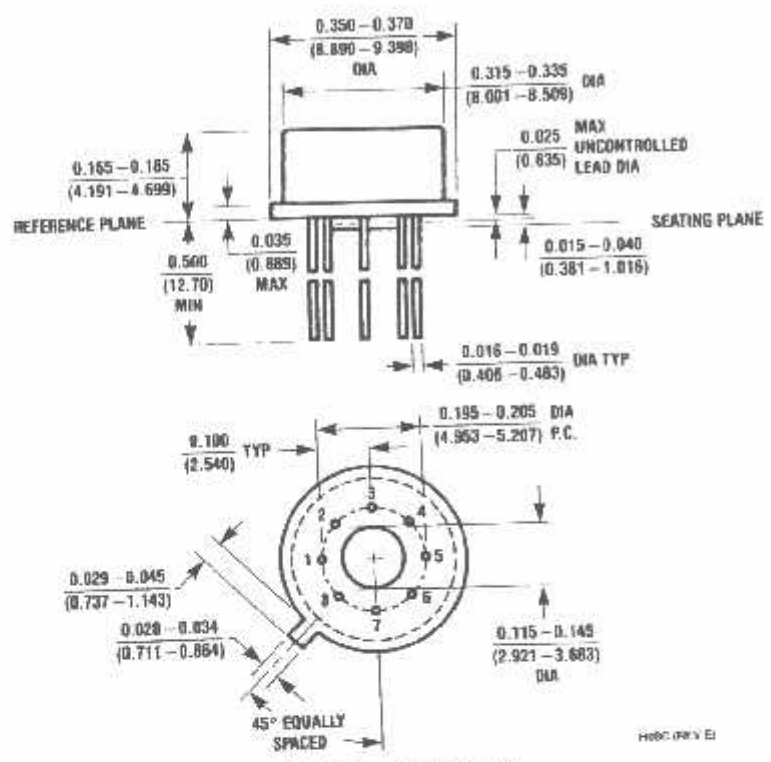
(Referenced to die center, coordinates in µm) NC = No Connection, N.U. = Not Used

SIGNAL NAME	PAD# NUMBER	X/Y COORDINATES		PAD SIZE		
		X	Y	X	Y	Y
OUTPUT FILTER	1	-673	686	91	x	91
OUTPUT FILTER	2	-673	-419	91	x	91
OUTPUT	3	-673	-686	91	x	91
+	4	-358	-686	91	x	91
TIMING RES	5	673	-122	91	x	91
TIMING CAP	6	673	76	91	x	91
IND	7	178	686	117	x	91
OUTPUT	8	-318	679	117	x	104

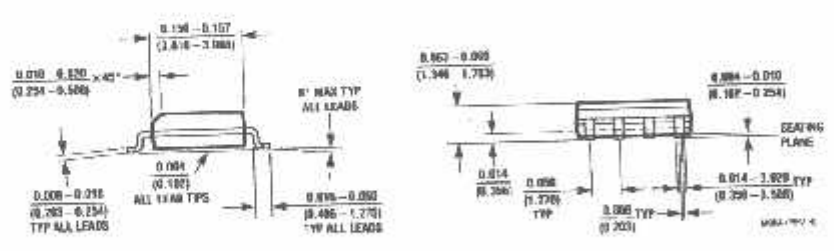
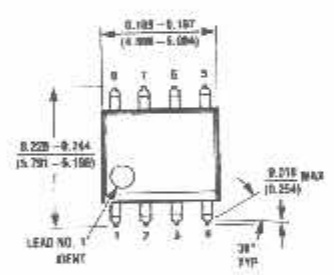
LM567C MDC MWC
TONE DECODER (Continued)

IN U.S.A	
Tel #:	1 877 Dial Die 1 877 342 5343
Fax:	1 207 541 6140
IN EUROPE	
Tel:	49 (0) 8141 351492 / 1495
Fax:	49 (0) 8141 351470
IN ASIA PACIFIC	
Tel:	(852) 27371701
IN JAPAN	
Tel:	81 043 299 2308

Physical Dimensions inches (millimeters)
 unless otherwise noted

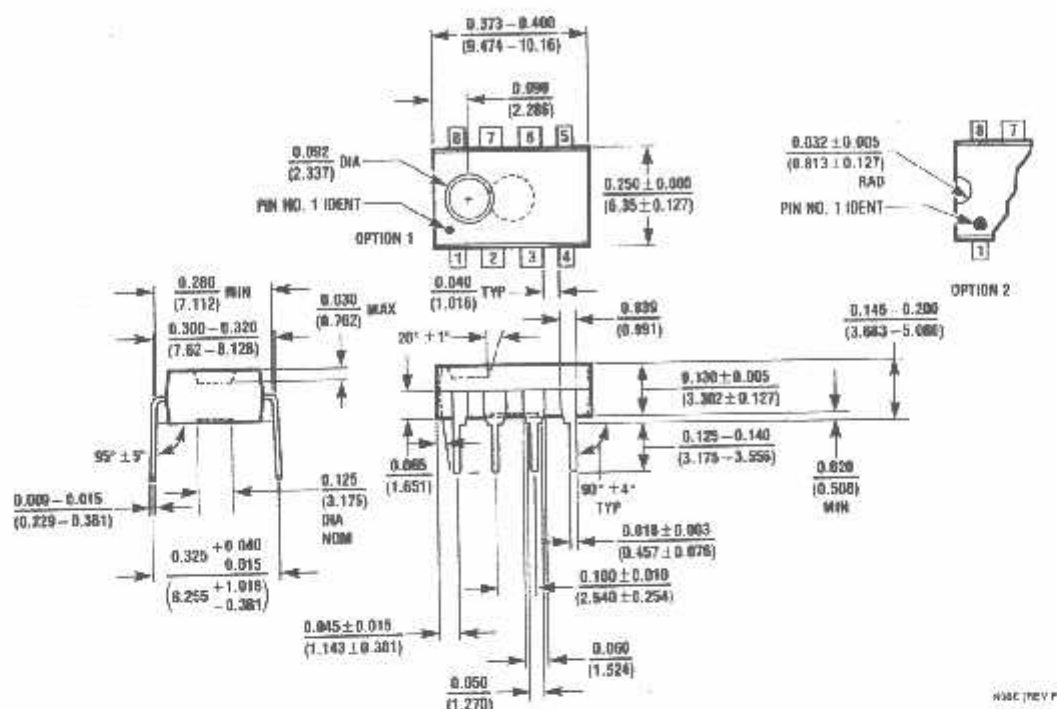


Metal Can Package (H)
 Order Number LM567H or LM567CH
 NS Package Number H08C



Small Outline Package (M)
 Order Number LM567CM
 NS Package Number M08A

Physical Dimensions inches (millimeters) unless otherwise noted (Continued)



Molded Dual-In-Line Package (N)
 Order Number LM567CN
 NS Package Number N08E

National does not assume any responsibility for use of any circuitry described; no circuit patent licenses are implied and National reserves the right at any time without notice to change said circuitry and specifications.
 For the most current product information visit us at www.national.com.

LIFE SUPPORT POLICY

NATIONAL'S PRODUCTS ARE NOT AUTHORIZED FOR USE AS CRITICAL COMPONENTS IN LIFE SUPPORT DEVICES OR SYSTEMS WITHOUT THE EXPRESS WRITTEN APPROVAL OF THE PRESIDENT AND GENERAL COUNSEL OF NATIONAL SEMICONDUCTOR CORPORATION. As used herein:

1. Life support devices or systems are devices or systems which, (a) are intended for surgical implant into the body, or (b) support or sustain life, and whose failure to perform when properly used in accordance with instructions for use provided in the labeling, can be reasonably expected to result in a significant injury to the user.
2. A critical component is any component of a life support device or system whose failure to perform can be reasonably expected to cause the failure of the life support device or system, or to affect its safety or effectiveness.

BANNED SUBSTANCE COMPLIANCE

National Semiconductor certifies that the products and packing materials meet the provisions of the Customer Products Stewardship Specification (CSP-9-111C2) and the Banned Substances and Materials of Interest Specification (CSP-9-111S2) and contain no "Banned Substances" as defined in CSP-9-111S2.

National Semiconductor
 Americas Customer Support Center
 Email: new.feedback@nsc.com
 Tel: 1-800-272-8159

National Semiconductor
 Europe Customer Support Center
 Fax: +49 (0) 180 830 85 85
 Email: europesupport@nsc.com
 Deutsch Tel: +49 (0) 69 9508 6206
 English Tel: +44 (0) 870 24 1 21 71
 Français Tel: +33 (0) 1 41 81 8790

National Semiconductor
 Asia Pacific Customer Support Center
 Email: apj.support@nsc.com

National Semiconductor
 Japan Customer Support Center
 Fax: 81-3-5639-7507
 Email: jp.feedback@nsc.com
 Tel: 81-3-5639-7560

MM74HC164 8-Bit Serial-in/Parallel-out Shift Register

General Description

The MM74HC164 utilizes advanced silicon-gate CMOS technology. It has the high noise immunity and low consumption of standard CMOS integrated circuits. It also offers speeds comparable to low power Schottky devices.

This 8-bit shift register has gated serial inputs and CLEAR. Each register bit is a D-type master/slave flip-flop. Inputs A & B permit complete control over the incoming data. A LOW at either or both inputs inhibits entry of new data and resets the first flip-flop to the low level at the next clock pulse. A high level on one input enables the other input which will then determine the state of the first flip-flop. Data at the serial inputs may be changed while the clock is HIGH or LOW, but only information meeting the setup and hold time requirements will be entered. Data is serially shifted in and out of the 8-bit register during the positive going transition of the clock pulse. Clear is independent of the clock and accomplished by a low level at the CLEAR input.

The 74HC logic family is functionally as well as pin-out compatible with the standard 74LS logic family. All inputs are protected from damage due to static discharge by internal diode clamps to V_{CC} and ground.

Features

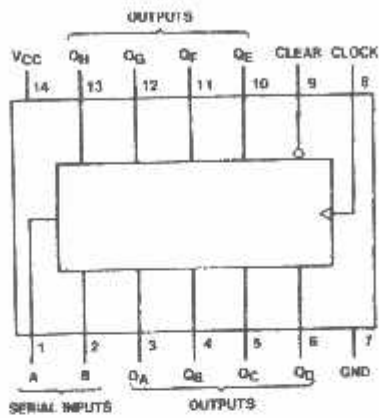
- Typical operating frequency: 50 MHz
- Typical propagation delay: 19 ns (clock to Q)
- Wide operating supply voltage range: 2V to 5V
- Low input current: 1 μ A maximum
- Low quiescent supply current: 80 μ A maximum (74HC Series)
- Fanout of 10 LS-TTL loads

Ordering Code:

Order Number	Package Number	Package Description
MM74HC164M	M14A	14-Lead Small Outline Integrated Circuit (SOIC), JEDEC MS-012, 0.150" Narrow
MM74HC164MX_NL	M14A	Pb-Free 14-Lead Small Outline Integrated Circuit (SOIC), JEDEC MS-012, 0.150" Narrow
MM74HC164MTC	MTC14	14-Lead Thin Shrink Small Outline Package (TSSOP), JEDEC MO-153, 4.4mm Wide
MM74HC164MTCX_NL	MTC14	Pb-Free 14-Lead Thin Shrink Small Outline Package (TSSOP), JEDEC MO-153, 4.4mm Wide
MM74HC164N	N14A	14-Lead Plastic Dual-In-Line Package (PDIP), JEDEC MS-001, 0.300" Wide

Devices also available in Tape and Reel. Specify by appending the suffix letter "X" to the ordering code.
Pb-Free package per JEDEC J-STD-0208

Connection Diagram



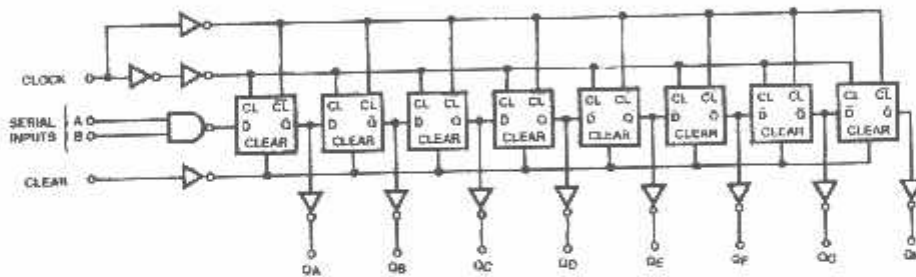
Top View

Truth Table

Inputs				Outputs			
Clear	Clock	A	B	QA	QB	...	QH
L	X	X	X	L	L	...	L
H	L	X	X	QA0	QB0	...	QH0
H	↑	H	H	QA1	QB1	...	QH1
H	↑	L	X	QA1	QB1	...	QH1
H	↑	X	L	QA1	QB1	...	QH1

H - HIGH Level (steady state), L - LOW Level (steady state)
 X - Irrelevant (any input, including transition)
 ↑ - Transition from LOW-to-HIGH level
 QA0, QB0, QH0 - The level of QA, QB, or QH, respectively, before the indicated steady state input conditions were determined.
 QA1, QB1 - The level of QA or QB before the most recent ↑ transition of the clock, indicated a one-bit shift.

Logic Diagram



Absolute Maximum Ratings (Note 1)

(Note 2)

Supply Voltage (V_{CC})	-0.5 to +7.0V
DC Input Voltage (V_{IN})	1.5 to $V_{CC} + 1.5V$
DC Output Voltage (V_{OUT})	-0.5 to $V_{CC} + 0.5V$
Clamp Diode Current (I_{IK}, I_{OK})	± 20 mA
DC Output Current, per pin (I_{OUT})	± 25 mA
DC V_{CC} or GND Current, per pin (I_{CC})	± 50 mA
Storage Temperature Range (T_{STG})	-65°C to +150°C
Power Dissipation (P_D)	
(Note 3)	600 mW
S.O. Package only	500 mW
Lead Temperature (T_L)	
(Soldering 10 seconds)	260 °C

Recommended Operating Conditions

	Min	Max	Units
Supply Voltage (V_{CC})	2	6	V
DC Input or Output Voltage (V_{IN}, V_{OUT})	0	V_{CC}	V
Operating Temperature Range (T_A)	-40	+85	°C
Input Rise or Fall Times (t_r, t_f)			ns
$V_{CC} = 2.0V$		400	ns
$V_{CC} = 4.5V$		500	ns
$V_{CC} = 6.0V$		400	ns

Note 1: Absolute Maximum Ratings are those values beyond which damage to the device may occur.

Note 2: Unless otherwise specified all voltages are referenced to ground.

Note 3: Power Dissipation temperature derating — plastic "N" package: 12 mW/°C from 85°C to 150°C.

DC Electrical Characteristics (Note 4)

Symbol	Parameter	Conditions	V_{CC}	$T_A = 25^\circ\text{C}$			Units		
				Typ	Guaranteed Limits				
V_{IH}	Minimum HIGH Level Input Voltage		2.0V		1.5	1.5	V		
			4.5V		3.15	3.15			
			6.0V		4.2	4.2			
V_{IL}	Maximum LOW Level Input Voltage		2.0V		0.5	0.5	V		
			4.5V		1.35	1.35			
			6.0V		1.8	1.8			
V_{OH}	Minimum HIGH Level Output Voltage	$V_{IN} = V_{OH}$ or V_{IL} $ I_{OUT} \leq 20 \mu\text{A}$	2.0V	2.0	1.9	1.9	V		
			4.5V	4.5	4.4	4.4			
			6.0V	6.0	5.9	5.9			
		$V_{IN} = V_{OH}$ or V_{IL} $ I_{OUT} \leq 4.0 \text{ mA}$ $ I_{OCC} \leq 5.2 \text{ mA}$	4.5V	4.2	3.96	3.84		3.7	
			6.0V	5.7	5.48	5.34			5.2
			6.0V	5.7	5.48	5.34			
V_{OL}	Maximum LOW Level Output Voltage	$V_{IN} = V_{OH}$ or V_{IL} $ I_{OUT} \leq 20 \mu\text{A}$	2.0V	0	0.1	0.1	V		
			4.5V	0	0.1	0.1			
			6.0V	0	0.1	0.1			
		$V_{IN} = V_{OH}$ or V_{IL} $ I_{OUT} \leq 4.0 \text{ mA}$ $ I_{OCC} \leq 5.2 \text{ mA}$	4.5V	0.2	0.26	0.33		0.4	
			6.0V	0.2	0.26	0.33			0.4
			6.0V	0.2	0.26	0.33			
I_{IN}	Maximum Input Current	$V_{IN} = V_{CC}$ or GND	6.0V		-0.1	+1.0	μA		
I_{OZ}	Maximum Quiescent Supply Current	$V_{IN} = V_{CC}$ or GND $I_{OUT} = 0 \mu\text{A}$	6.0V		0.0	60	160	μA	

Note 4: For a power supply of 5V $\pm 10\%$, the worst case output voltages (V_{OH} and V_{OL}) occur for I_{OZ} at 4.5V. Thus the 4.5V values should be used when designing with this supply. Worst case V_{IH} and V_{IL} occur at $V_{CC} = 5.5V$ and 4.5V respectively. (The V_{OH} value at 5.5V is 3.85V.) The worst case leakage current (I_{IN} , I_{OZ} , and I_{CC}) occur for CMOS at the higher voltage and on the 6.0V values should be used.

AC Electrical Characteristics

 $V_{CC} = 5V$, $T_A = 25^\circ C$, $C_L = 15 pF$, $t_r = t_f = 6 ns$

Symbol	Parameter	Conditions	Typ	Guaranteed Limit	Units
f_{MAX}	Maximum Operating Frequency			30	MHz
t_{PHL} , t_{PLH}	Maximum Propagation Delay Clock to Output		19	30	ns
t_{PC}	Maximum Propagation Delay Clear to Output		23	35	ns
t_{REM}	Minimum Removal Time, Clear to Clock		-2	0	ns
t_S	Minimum Setup Time Data to Clock		12	20	ns
t_H	Minimum Hold Time Clock to Data		1	5	ns
t_W	Minimum Pulse Width Clear or Clock		10	15	ns

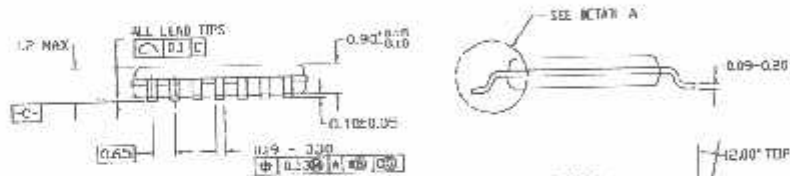
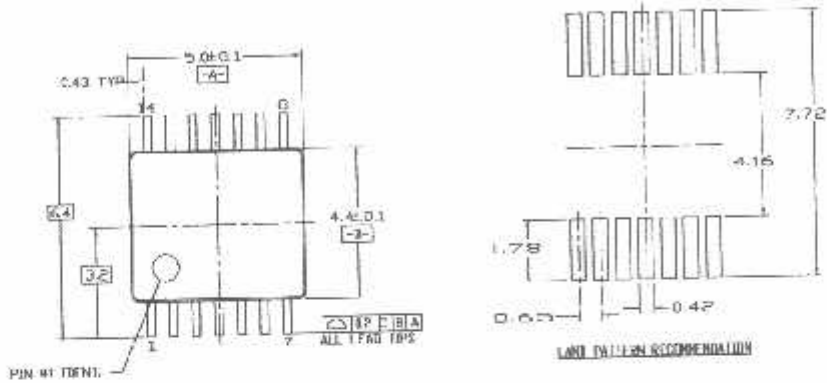
AC Electrical Characteristics

 $C_L = 50 pF$, $t_r = t_f = 6 ns$ (unless otherwise specified)

Symbol	Parameter	Conditions	V_{CC}	$T_A = 25^\circ C$			Units	
				Typ	Guaranteed Limits			
f_{MAX}	Maximum Operating Frequency		2.0V	5	4	3	MHz	
			4.5V	27	21	18		
			6.0V	31	24	20		
t_{PHL} , t_{PLH}	Maximum Propagation Delay Clock to Output		2.0V	115	175	218	254	ns
			4.5V	13	35	44	51	
			6.0V	20	30	38	44	
t_{PC}	Maximum Propagation Delay Clear to Output		2.0V	140	205	266	297	ns
			4.5V	26	41	51	59	
			6.0V	24	35	44	51	
t_{REM}	Minimum Removal Time Clear to Clock		2.0V	-7	0	0	0	ns
			4.5V	-3	0	0	0	
			6.0V	-2	0	0	0	
t_S	Minimum Setup Time Data to Clock		2.0V	25	100	125	150	ns
			4.5V	14	20	25	30	
			6.0V	12	17	21	25	
t_H	Minimum Hold Time Clock to Data		2.0V	-2	5	5	5	ns
			4.5V	0	5	5	5	
			6.0V	1	5	5	5	
t_W	Minimum Pulse Width Clear or Clock		2.0V	22	80	100	120	ns
			4.5V	11	16	20	24	
			6.0V	10	14	18	20	
t_{RHS} , t_{FLH}	Maximum Output Rise and Fall Time		2.0V	75	95	110	ns	
			4.5V	15	19	22		
			6.0V	13	16	19		
t_r , t_f	Maximum Input Rise and Fall Time		2.0V	1000	1000	1000	ns	
			4.5V	500	500	500		
			6.0V	400	400	400		
C_{PD}	Power Dissipation Capacitance (Note 5)	(per package)	5.0V	150				pF
C_{IN}	Maximum Input Capacitance			5	10	10	10	pF

Note 5: C_{PD} determines the no load dynamic power consumption, $P_D = C_{PD} V_{CC}^2 f \cdot f_{clk} V_{CC}$, and the no load dynamic current consumption, $I_D = C_{PD} V_{CC} f \cdot f_{clk}$.

Physical Dimensions inches (millimeters) unless otherwise noted (Continued)



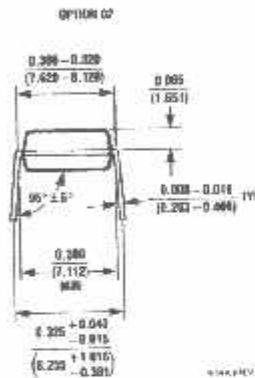
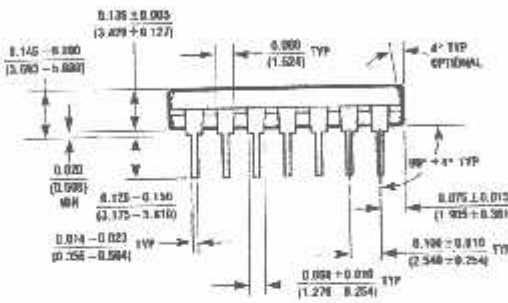
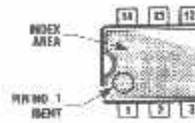
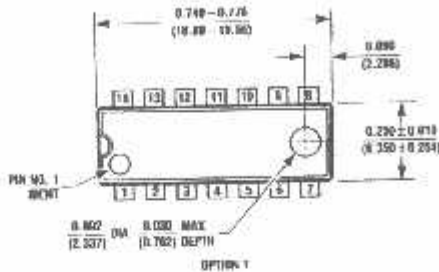
NOTES:

- A. CONFORMS TO JEDEC REGISTRATION MO-153 VARIATION 63. SEE NOTE 6, DATE 7/93
- B. DIMENSIONS ARE IN MILLIMETERS
- C. DIMENSIONS ARE EXCLUSIVE OF BURRS, MILD FLASK AND THE BAR EXTENSIONS
- D. DIMENSIONS AND TOLERANCES PER ANSI Y14.5M, 1982

MTC14revD

14-Lead Thin Shrink Small Outline Package (TSSOP), JEDEC MO-153, 4.4mm Wide Package Number MTC14

Physical Dimensions inches (millimeters) unless otherwise noted (Continued)



14-Lead Plastic Dual-in-Line Package (PDIP), JEDEC MS-001, 0.300" Wide Package Number N14A

Fairchild does not assume any responsibility for use of any circuitry described, no circuit patent licenses are implied and Fairchild reserves the right at any time without notice to change said circuitry and specifications.

LIFE SUPPORT POLICY

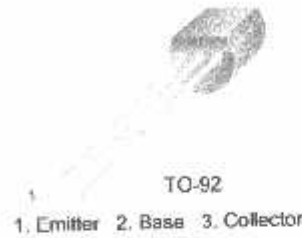
FAIRCHILD'S PRODUCTS ARE NOT AUTHORIZED FOR USE AS CRITICAL COMPONENTS IN LIFE SUPPORT DEVICES OR SYSTEMS WITHOUT THE EXPRESS WRITTEN APPROVAL OF THE PRESIDENT OF FAIRCHILD SEMICONDUCTOR CORPORATION. As used herein:

1. Life support devices or systems are devices or systems which, (a) are intended for surgical implant into the body, or (b) support or sustain life, and (c) whose failure to perform when properly used in accordance with instructions for use provided in the labeling, can be reasonably expected to result in a significant injury to the user.
2. A critical component in any component of a life support device or system whose failure to perform can be reasonably expected to cause the failure of the life support device or system, or to affect its safety or effectiveness.

www.fairchildsemi.com

1W Output Amplifier of Potable Radios in Class B Push-pull Operation.

- High total power dissipation. ($P_T=625mW$)
- High Collector Current. ($I_C=-500mA$)
- Complementary to SS9013
- Excellent h_{FE} linearity.



PNP Epitaxial Silicon Transistor

Absolute Maximum Ratings $T_a=25^\circ C$ unless otherwise noted

Symbol	Parameter	Ratings	Units
V_{CB0}	Collector-Base Voltage	-40	V
V_{CE0}	Collector-Emitter Voltage	-20	V
V_{EB0}	Emitter-Base Voltage	-5	V
I_C	Collector Current	-500	A
P_C	Collector Power Dissipation	625	W
T_J	Junction Temperature	150	$^\circ C$
T_{STG}	Storage Temperature	-55 ~ 150	$^\circ C$

Electrical Characteristics $T_a=25^\circ C$ unless otherwise noted

Symbol	Parameter	Test Condition	Min.	Typ.	Max.	Units
BV_{CB0}	Collector-Base Breakdown Voltage	$I_C = -100\mu A, I_E = 0$	-40			V
BV_{CE0}	Collector-Emitter Breakdown Voltage	$I_C = -1mA, I_B = 0$	-20			V
BV_{EB0}	Emitter-Base Breakdown Voltage	$I_E = -100\mu A, I_C = 0$	-5			V
I_{C0}	Collector Cut-off Current	$V_{CB} = -25V, I_E = 0$			-100	nA
I_{E0}	Emitter Cut-off Current	$V_{EB} = -3V, I_C = 0$			-100	nA
h_{FE1}	DC Current Gain	$V_{CE} = -1V, I_C = 50mA$	64	120	202	
h_{FE2}		$V_{CE} = -1V, I_C = -500mA$	40	90		
$V_{CE(sat)}$	Collector-Emitter Saturation Voltage	$I_C = -500mA, I_B = -50mA$		-0.18	-0.6	V
$V_{BE(sat)}$	Base-Emitter Saturation Voltage	$I_C = -500mA, I_B = -50mA$		-0.95	-1.2	V
$V_{BE(on)}$	Base-Emitter On Voltage	$V_{CE} = -1V, I_C = -10mA$	-0.6	-0.67	-0.7	V

h_{FE} Classification

Classification	D	E	F	G	H
h_{FE1}	64 ~ 91	78 ~ 112	96 ~ 135	112 ~ 165	144 ~ 202

Typical Characteristics

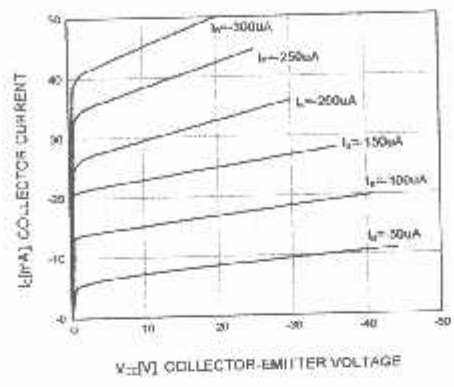


Figure 1. Static Characteristic

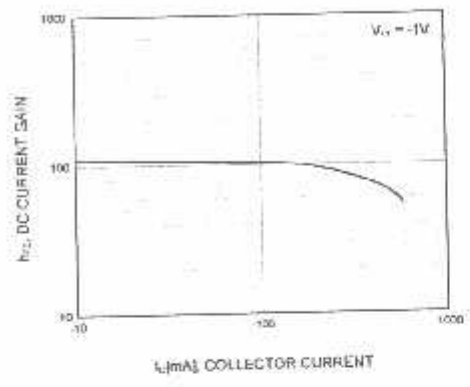


Figure 2. DC current Gain

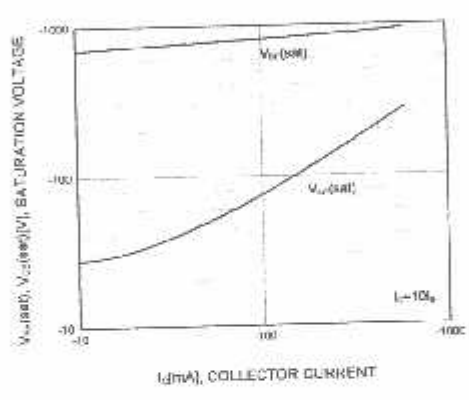


Figure 3. Base-Emitter Saturation Voltage
Collector-Emitter Saturation Voltage

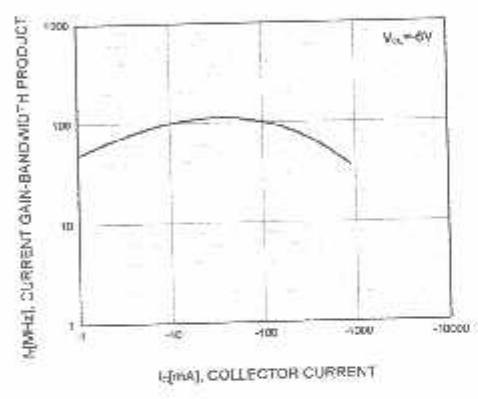
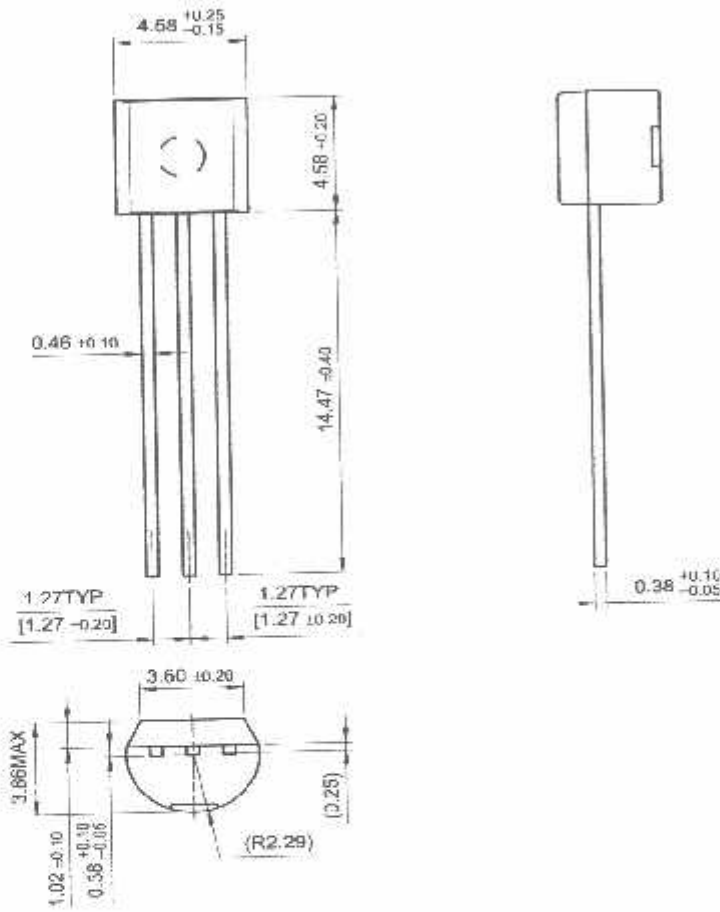


Figure 4. Current Gain Bandwidth Product

Package Dimensions

TO-92



Dimensions in Millimeters

TRADEMARKS

The following are registered and unregistered trademarks Fairchild Semiconductor owns or is authorized to use and is not intended to be an exhaustive list of all such trademarks.

ACEx™	FAST®	OPTOPLANAR™	STAR*POWER™
Bottomless™	FASTr™	PACMAN™	Stealth™
CoolFET™	FRFET™	POP™	SuperSOT™-3
CROSSVOLT™	GlobalOptoisolator™	Power247™	SuperSOT™-8
DenseTrench™	GTO™	PowerTrench®	SuperSOT™-8
DOME™	HiSeC™	QFET™	SyncFET™
EcoSPARK™	ISOPLANAR™	QS™	TruTranslation™
E ² CMOS™	LittleFET™	QT Optoelectronics™	TinyLogic™
EnSigna™	MicroFET™	Quiet Series™	UHC™
FACT™	MICROWIRE™	SLIENT SWITCHER®	UltraFET®
FACT Quiet Series™	OPTOLOGIC™	SMART START™	VCX™

STAR*POWER is used under license

DISCLAIMER

FAIRCHILD SEMICONDUCTOR RESERVES THE RIGHT TO MAKE CHANGES WITHOUT FURTHER NOTICE TO ANY PRODUCTS HEREIN TO IMPROVE RELIABILITY, FUNCTION OR DESIGN. FAIRCHILD DOES NOT ASSUME ANY LIABILITY ARISING OUT OF THE APPLICATION OR USE OF ANY PRODUCT OR CIRCUIT DESCRIBED HEREIN; NEITHER DOES IT CONVEY ANY LICENSE UNDER ITS PATENT RIGHTS, NOR THE RIGHTS OF OTHERS.

LIFE SUPPORT POLICY

FAIRCHILD'S PRODUCTS ARE NOT AUTHORIZED FOR USE AS CRITICAL COMPONENTS IN LIFE SUPPORT DEVICES OR SYSTEMS WITHOUT THE EXPRESS WRITTEN APPROVAL OF FAIRCHILD SEMICONDUCTOR CORPORATION.

As used herein:

1. Life support devices or systems are devices or systems which: (a) are intended for surgical implant into the body, or (b) support or sustain life, or (c) whose failure to perform when properly used in accordance with instructions for use provided in the labeling, can be reasonably expected to result in significant injury to the user.
2. A critical component is any component of a life support device or system whose failure to perform can be reasonably expected to cause the failure of the life support device or system, or to affect its safety or effectiveness.

PRODUCT STATUS DEFINITIONS

Definition of Terms

Datasheet Identification	Product Status	Definition
Advance Information	Formative or In Design	This datasheet contains the design specifications for product development. Specifications may change in any manner without notice.
Preliminary	First Production	This datasheet contains preliminary data, and supplementary data will be published at a later date. Fairchild Semiconductor reserves the right to make changes at any time without notice in order to improve design.
No Identification Needed	Full Production	This datasheet contains final specifications. Fairchild Semiconductor reserves the right to make changes at any time without notice in order to improve design.
Obsolete	Not In Production	This datasheet contains specifications on a product that has been discontinued by Fairchild semiconductor. The datasheet is printed for reference information only.

KT525-5
(9013)

NPN Epitaxial Silicon Transistor
revised October 1999



**1W OUTPUT AMPLIFIER
OF PORTABLE RADIOS IN CLASS
B PUSH-PULL OPERATION**

- High total power dissipation (PT=625mW)
- High Collector Current ($I_C=500\text{mA}$)
- Excellent h_{FE} linearity.



TO - 92

CLASSIFICATION h_{FE} (1)

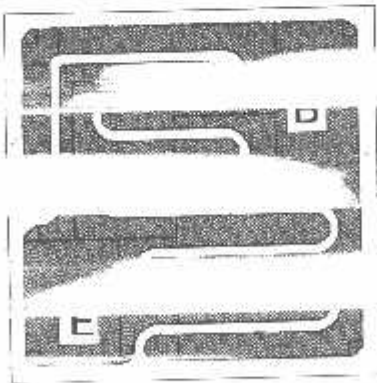
Classification	D	E	F	G	H
$h_{FE}(1)$	64-91	78-112	96-135	112-166	144-202

Maximum ratings ($T_a=25^\circ\text{C}$)

Symbol	Parameter	Rating	Units
V_{CB0}	Collector-Base Voltage	40	V
V_{CE0}	Collector-Emitter Voltage	5	V
V_{EB0}	Emitter-Base Voltage	500	mA
I_C	Collector Current	625	mW
P_C	Collector Dissipation	625	$^\circ\text{C}$
T_{stg}	Storage temperature	-55 + 150	$^\circ\text{C}$

Symbol	Parameter	Conditions	Min	Typ	Max	Units
BV_{CB0}	Collector-Base Breakdown Voltage	$I_C = 100\mu\text{A}, I_E = 0$	40			V
		$I_C = 0, I_E = 0$	20			V
BV_{EB0}	Emitter-Base Breakdown Voltage	$I_E = 100\mu\text{A}, I_C = 0$	5			V
I_{CB0}	Collector Cutoff Current	$V_{EB} = 3\text{V}, I_C = 0$			100	nA
I_{EB0}	Emitter Cutoff Current	$V_{CB} = 1\text{V}, I_C = 50\text{mA}$	64	120	202	
h_{FE1}	DC Current Gain			120		V
$V_{BE(sat)}$	Base-Emitter Saturation Voltage	$I_C = 500\text{mA}, I_B = 50\text{mA}$		0.91	1.2	V

Die Location



- DIE SIZE 495 X 495 μm
- DIE THICKNESS Typ 470 μm
- DIE AREA $245000 \mu\text{m}^2$
- Emitter 85 x 114 μm
- Base 85 x 154 μm

2W Output Amplifier of Portable Radios in Class B Push-pull Operation.

- Complimentary to SS8550
- Collector Current: $I_C=1.5A$
- Collector Power Dissipation: $P_C=2W$ ($T_C=25^\circ C$)



1 TO-92
1. Emitter 2. Base 3. Collector

NPN Epitaxial Silicon Transistor

Absolute Maximum Ratings $T_a=25^\circ C$ unless otherwise noted

Symbol	Parameter	Ratings	Units
V_{CBO}	Collector-Base Voltage	40	V
V_{CEO}	Collector-Emitter Voltage	25	V
V_{EBO}	Emitter-Base Voltage	6	V
I_C	Collector Current	1.5	A
P_C	Collector Power Dissipation	1	W
T_J	Junction Temperature	150	$^\circ C$
T_{STG}	Storage Temperature	-65 ~ 150	$^\circ C$

Electrical Characteristics $T_a=25^\circ C$ unless otherwise noted

Symbol	Parameter	Test Condition	Min.	Typ.	Max.	Units
V_{CBO}	Collector-Base Breakdown Voltage	$I_C=100\mu A, I_E=0$	40			V
V_{CEO}	Collector-Emitter Breakdown Voltage	$I_C=2mA, I_B=0$	25			V
V_{EBO}	Emitter-Base Breakdown Voltage	$I_E=100\mu A, I_C=0$	6			V
I_{CBO}	Collector Cut-off Current	$V_{CB}=35V, I_E=0$			100	nA
I_{EBO}	Emitter Cut-off Current	$V_{EB}=6V, I_C=0$			100	nA
h_{FE1}	DC Current Gain	$V_{CE}=1V, I_C=5mA$	45	135		
h_{FE2}		$V_{CE}=1V, I_C=100mA$	85	160	300	
h_{FE3}		$V_{CE}=1V, I_C=800mA$	40	110		
$V_{CE(sat)}$	Collector-Emitter Saturation Voltage	$I_C=800mA, I_B=80mA$		0.28	0.5	V
$V_{BE(sat)}$	Base-Emitter Saturation Voltage	$I_C=800mA, I_B=80mA$		0.98	1.2	V
$V_{BE(on)}$	Base-Emitter On Voltage	$V_{CE}=1V, I_C=10mA$		0.66	1	V
C_{ob}	Output Capacitance	$V_{CB}=10V, I_E=0$ $f=1MHz$		9.0		pF
f_T	Current Gain Bandwidth Product	$V_{CE}=10V, I_C=50mA$	100	190		MHz

h_{FE} Classification

Classification	B	C	D
h_{FE2}	85 ~ 160	120 ~ 200	160 ~ 300

Typical Characteristics

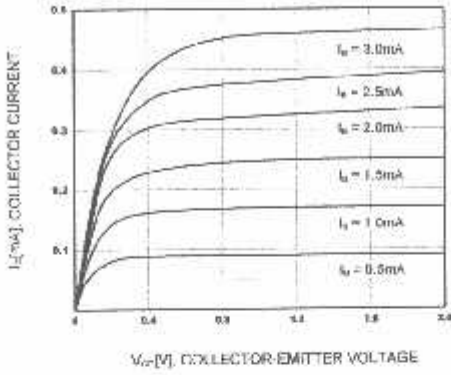


Figure 1. Static Characteristic

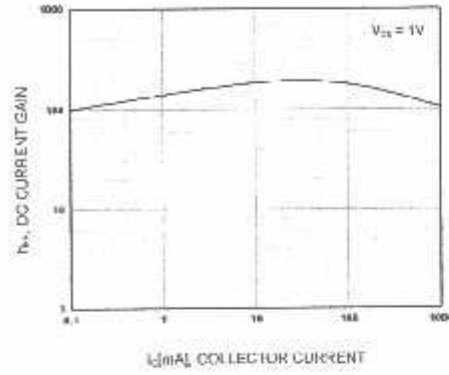


Figure 2. DC current Gain

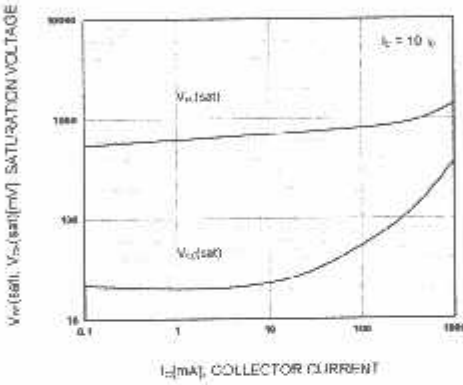


Figure 3. Base-Emitter Saturation Voltage
Collector-Emitter Saturation Voltage

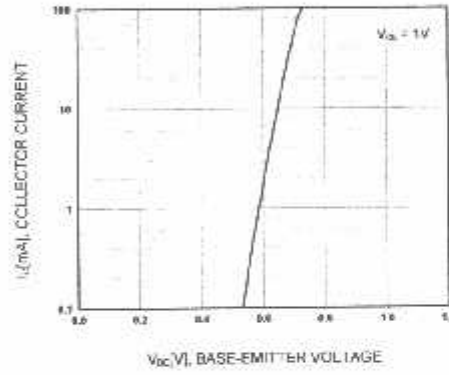


Figure 4. Base-Emitter On Voltage

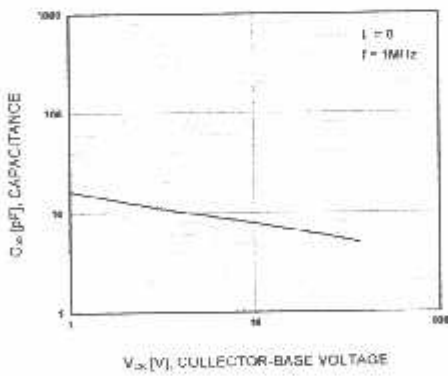


Figure 5. Collector Output Capacitance

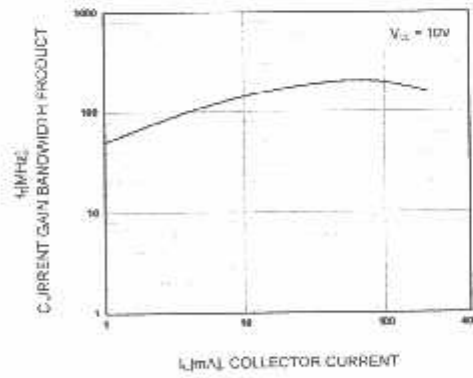
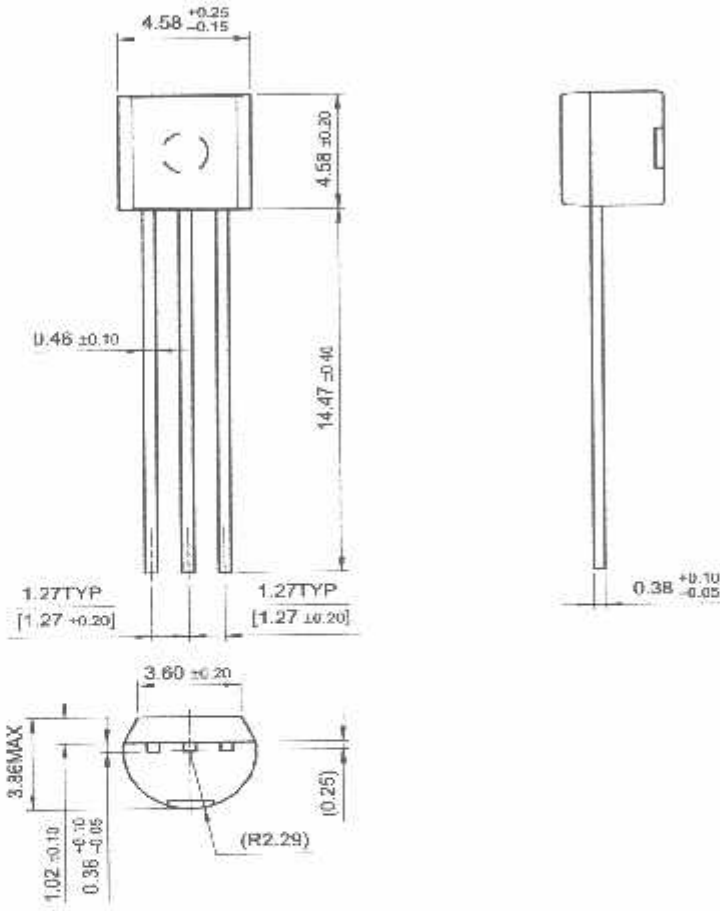


Figure 6. Current Gain Bandwidth Product

Package Dimensions

SS8050

TO-92



Dimensions in Millimeters

TRADEMARKS

The following are registered and unregistered trademarks Fairchild Semiconductor owns or is authorized to use and is not intended to be an exhaustive list of all such trademarks.

ACEx™	FAST®	OPTOPLANAR™	STAR*POWER™
Bottomless™	FASTr™	PACMAN™	Steath™
CoolFET™	FRFET™	POP™	SuperSOT™-3
CROSSVOLT™	GlobalOptoisolator™	Power247™	SuperSOT™-6
DenseTrench™	GTO™	PowerTrench®	SuperSOT™-8
DOME™	HiSeC™	QFET™	SyncFET™
EcoSPARK™	ISOPLANAR™	QS™	TruTranslation™
E ² C MOS™	LittleFET™	QT Optoelectronics™	TinyLogic™
EnSigna™	MicroFET™	Quiet Series™	UHC™
FACT™	MICROWIRE™	SLIENT SWITCHER®	UltraFET®
FACT Quiet Series™	OPTOLOGIC™	SMART START™	VCX™

STAR*POWER is used under license

DISCLAIMER

FAIRCHILD SEMICONDUCTOR RESERVES THE RIGHT TO MAKE CHANGES WITHOUT FURTHER NOTICE TO ANY PRODUCTS HEREIN TO IMPROVE RELIABILITY, FUNCTION OR DESIGN. FAIRCHILD DOES NOT ASSUME ANY LIABILITY ARISING OUT OF THE APPLICATION OR USE OF ANY PRODUCT OR CIRCUIT DESCRIBED HEREIN; NEITHER DOES IT CONVEY ANY LICENSE UNDER ITS PATENT RIGHTS, NOR THE RIGHTS OF OTHERS.

LIFE SUPPORT POLICY

FAIRCHILD'S PRODUCTS ARE NOT AUTHORIZED FOR USE AS CRITICAL COMPONENTS IN LIFE SUPPORT DEVICES OR SYSTEMS WITHOUT THE EXPRESS WRITTEN APPROVAL OF FAIRCHILD SEMICONDUCTOR CORPORATION.

As used herein:

1. Life support devices or systems are devices or systems which: (a) are intended for surgical implant into the body, or (b) support or sustain life, or (c) whose failure to perform when properly used in accordance with instructions for use provided in the labeling, can be reasonably expected to result in significant injury to the user.
2. A critical component is any component of a life support device or system whose failure to perform can be reasonably expected to cause the failure of the life support device or system, or to affect its safety or effectiveness.

PRODUCT STATUS DEFINITIONS

Definition of Terms

Datasheet Identification	Product Status	Definition
Advance Information	Formative or In Design	This datasheet contains the design specifications for product development. Specifications may change in any manner without notice.
Preliminary	First Production	This datasheet contains preliminary data, and supplementary data will be published at a later date. Fairchild Semiconductor reserves the right to make changes at any time without notice in order to improve design.
No Identification Needed	Full Production	This datasheet contains final specifications. Fairchild Semiconductor reserves the right to make changes at any time without notice in order to improve design.
Obsolete	Not In Production	This datasheet contains specifications on a product that has been discontinued by Fairchild semiconductor. The datasheet is printed for reference information only.

SS8550

2W Output Amplifier of Portable Radios in Class B Push-pull Operation.

- Complimentary to SS8050
- Collector Current: $I_C = 1.5A$
- Collector Power Dissipation: $P_C = 2W$ ($T_C = 25^\circ C$)



TO-92
1. Emitter 2. Base 3. Collector

PNP Epitaxial Silicon Transistor

Absolute Maximum Ratings $T_a = 25^\circ C$ unless otherwise noted

Symbol	Parameter	Ratings	Units
V_{CB0}	Collector-Base Voltage	-40	V
V_{CE0}	Collector-Emitter Voltage	-25	V
V_{EB0}	Emitter-Base Voltage	-6	V
I_C	Collector Current	-1.5	A
P_C	Collector Power Dissipation	1	W
T_J	Junction Temperature	150	$^\circ C$
T_{STG}	Storage Temperature	-65 ~ 150	$^\circ C$

Electrical Characteristics $T_a = 25^\circ C$ unless otherwise noted

Symbol	Parameter	Test Condition	Min.	Typ.	Max.	Units
BV_{CB0}	Collector-Base Breakdown Voltage	$I_C = -100\mu A, I_E = 0$	-40			V
BV_{CE0}	Collector-Emitter Breakdown Voltage	$I_C = -2mA, I_B = 0$	-25			V
BV_{EB0}	Emitter-Base Breakdown Voltage	$I_E = -100\mu A, I_C = 0$	-6			V
I_{CBO}	Collector Cut-off Current	$V_{CB} = -35V, I_E = 0$			-100	nA
I_{EBO}	Emitter Cut-off Current	$V_{EB} = -6V, I_C = 0$			-100	nA
h_{FE1}	DC Current Gain	$V_{CE} = -1V, I_C = 5mA$	45	170		
h_{FE2}		$V_{CE} = -1V, I_C = -100mA$	85	160	300	
h_{FE3}		$V_{CE} = -1V, I_C = -800mA$	40	80		
$V_{CE(sat)}$	Collector-Emitter Saturation Voltage	$I_C = -800mA, I_B = -80mA$		-0.28	-0.5	V
$V_{BE(sat)}$	Base-Emitter Saturation Voltage	$I_C = 800mA, I_B = -80mA$		-0.98	-1.2	V
$V_{BE(on)}$	Base-Emitter on Voltage	$V_{CE} = -1V, I_C = -10mA$		-0.66	-1.0	V
C_{ob}	Output Capacitance	$V_{CB} = -10V, I_E = 0$ $f = 1MHz$		15		pF
f_T	Current Gain Bandwidth Product	$V_{CE} = -10V, I_C = -50mA$	100	200		MHz

h_{FE} Classification

Classification	B	C	D
h_{FE2}	85 ~ 160	120 ~ 200	160 ~ 300

Typical Characteristics

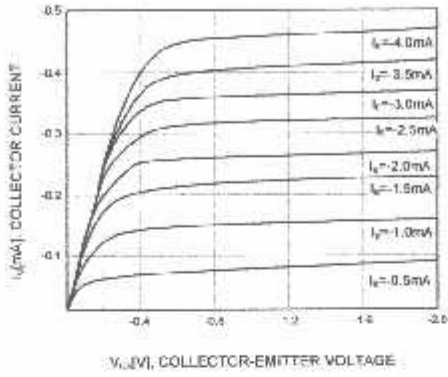


Figure 1. Static Characteristic

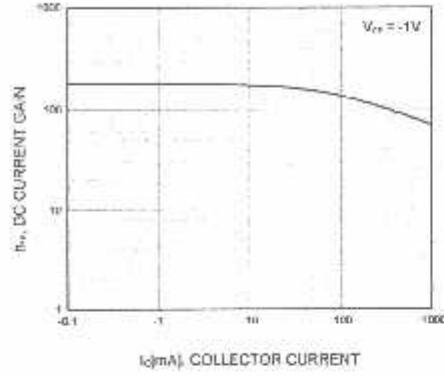


Figure 2. DC current Gain

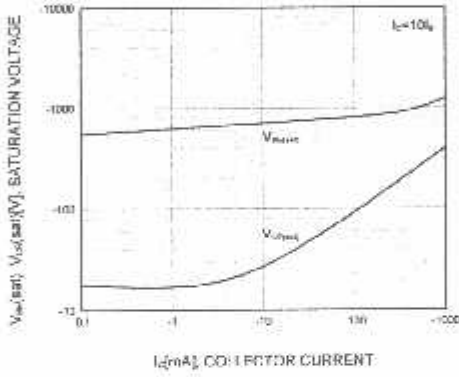


Figure 3. Base-Emitter Saturation Voltage
Collector-Emmitter Saturation Voltage

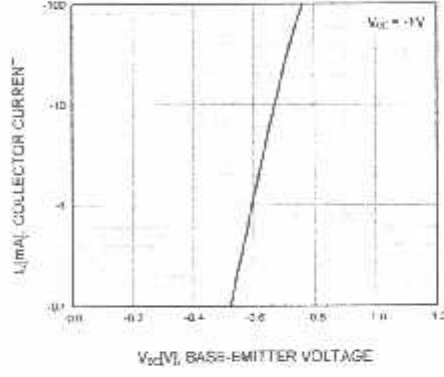


Figure 4. Base-Emitter On Voltage

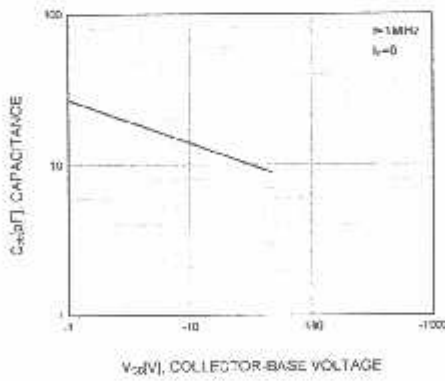


Figure 5. Collector Output Capacitance

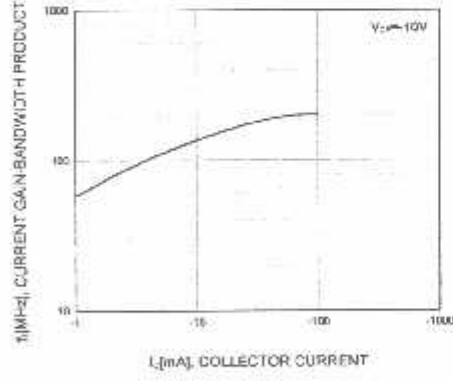
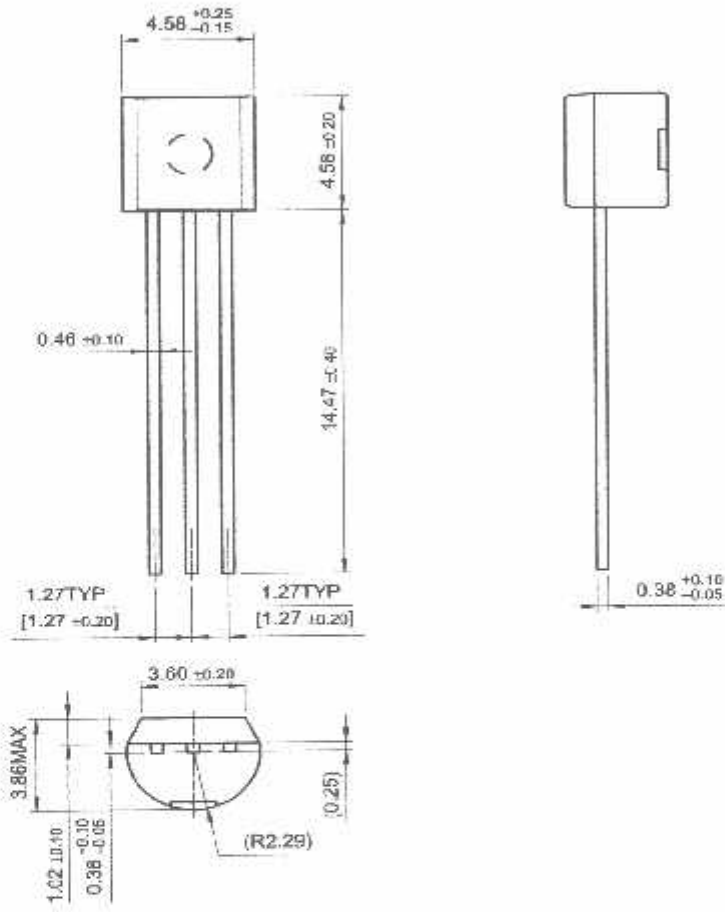


Figure 6. Current Gain Bandwidth Product

Package Dimensions

SS8550

TO-92



Dimensions in Millimeters

TRADEMARKS

The following are registered and unregistered trademarks Fairchild Semiconductor owns or is authorized to use and is not intended to be an exhaustive list of all such trademarks.

ACE _x ™	FAST®	OPTOPLANAR™	STAR*POWER™
Bottomless™	FAST _r ™	PACMAN™	Stealth™
CoolFET™	FRFET™	POP™	SuperSOT™-3
CROSSVOLT™	GlobalOptoisolator™	Power247™	SuperSOT™-6
DenseTrench™	GTO™	PowerTrench®	SuperSOT™-8
DOME™	HiSeC™	QFET™	SyncFET™
EcoSPARK™	ISOPLANAR™	QS™	TruTranslation™
E ² CMOS™	LittleFET™	QT Optoelectronics™	TinyLogic™
EnSigna™	MicroFET™	Quiet Series™	UHC™
FACT™	MICROWIRE™	SLIENT SWITCHER®	UltraFET®
FACT Quiet Series™	OPTOLOGIC™	SMART START™	VCX™

STAR*POWER is used under license

DISCLAIMER

FAIRCHILD SEMICONDUCTOR RESERVES THE RIGHT TO MAKE CHANGES WITHOUT FURTHER NOTICE TO ANY PRODUCTS HEREIN TO IMPROVE RELIABILITY, FUNCTION OR DESIGN. FAIRCHILD DOES NOT ASSUME ANY LIABILITY ARISING OUT OF THE APPLICATION OR USE OF ANY PRODUCT OR CIRCUIT DESCRIBED HEREIN; NEITHER DOES IT CONVEY ANY LICENSE UNDER ITS PATENT RIGHTS, NOR THE RIGHTS OF OTHERS.

LIFE SUPPORT POLICY

FAIRCHILD'S PRODUCTS ARE NOT AUTHORIZED FOR USE AS CRITICAL COMPONENTS IN LIFE SUPPORT DEVICES OR SYSTEMS WITHOUT THE EXPRESS WRITTEN APPROVAL OF FAIRCHILD SEMICONDUCTOR CORPORATION.

As used herein:

1. Life support devices or systems are devices or systems which, (a) are intended for surgical implant into the body, or (b) support or sustain life, or (c) whose failure to perform when properly used in accordance with instructions for use provided in the labeling, can be reasonably expected to result in significant injury to the user.
2. A critical component is any component of a life support device or system whose failure to perform can be reasonably expected to cause the failure of the life support device or system, or to affect its safety or effectiveness.

PRODUCT STATUS DEFINITIONS

Definition of Terms

Datasheet Identification	Product Status	Definition
Advance Information	Formative or In Design	This datasheet contains the design specifications for product development. Specifications may change in any manner without notice.
Preliminary	First Production	This datasheet contains preliminary data, and supplementary data will be published at a later date. Fairchild Semiconductor reserves the right to make changes at any time without notice in order to improve design.
No Identification Needed	Full Production	This datasheet contains final specifications. Fairchild Semiconductor reserves the right to make changes at any time without notice in order to improve design.
Obsolete	Not In Production	This datasheet contains specifications on a product that has been discontinued by Fairchild semiconductor. The datasheet is printed for reference information only.